

Дальневосточный научный центр АН СССР
Тихоокеанский океанологический институт

"Утверждаю"



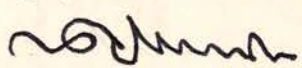
Директор ТОИ ДВНЦ
член-корр. АН СССР
В.И.Ильин
11 сентября 1977 г.

ОТЧЕТ О ГЕОЛОГИЧЕСКИХ И ГИДРОГРАФИЧЕСКИХ
ИССЛЕДОВАНИЯХ В 28 РЕЙСЕ НИС "ПЕРВЕНЕЦ"

(Японское и Восточно-Китайское моря)

Проблема 05.001, темы 01.02.Н1; 01.04.Н1

Зав. лаборатории стратиграфии, палеонтологии
и палеогеографии

доктор г.-м.н.  И.И.Берсенев

Владивосток
1977

СПИСОК ИСПОЛНИТЕЛЕЙ

1. Берсенев И.И. зав. лабораторией стратиграфии, палеонтологии и палеогеографии, доктор г.-м.н. (разделы: I; 2.2; 3; 4.2.3; 4.2.5; 4.2.7; 7; приложения: I-т; 4-т; 2; 3; 7; 8, 10; 13; 14; 15; 17).
2. Берсенев Ю.И. мл.н.с. (разделы 5.1.4; 5.2.7).
3. Ващенкова Н.Г. мл.н.с. (раздел 5.2.5, приложение 3-т).
4. Леликов Е.П. ст.н.с., кандидат г.-м.н. (разделы: 5.1.1; 5.2.1; 5.2.2; 5.2.6; 5.2.6.1-5.2.6.3; 5.2.6.5).
5. Липкин Ю.С. зав.лабораторией геологии шельфа, кандидат г.-м.н. (разделы: 4.1; 4.2.1; 4.2.2; 4.2.4; 4.2.6; приложения 2; 3; 7; 8; 9; II; 13; 14; 15; 16).
6. Плетнев С.П. мл.н.с. (раздел 6).
7. Пущин И.К. ст.инженер, кандидат г.-м.н. (разделы: 5.1.2; 5.1.3; 5.2.4; 5.2.5).
8. Сигова К.И. ст.инженер (разделы 2.2; 4.1~~2~~^{5.2.3}; 5.2.6.4; приложение 18).
9. Съедин В.Т. мл.н.с. (разделы: 2.1; 5.2.6.1 - 5.2.6.3; 5.2.6.5; приложения: I; 4; 5; 6; 12).
10. Терехов Е.П. мл.н.с. (разделы 5.2.3; 5.2.4.).

РЕФЕРАТ

Отчет II2 стр., 3 табл., 4 текстовых, 19 графических приложений (карты, схемы)

ЭХОЛОТИРОВАНИЕ, ОТБОР ПРОБ ГОРНЫХ ПОРОД ДРАГАМИ, ПРЯМОТОЧНЫМИ ТРУБКАМИ И ДНОЧЕРПАТЕЛЯМИ, МОРФОСТРУКТУРЫ, МЕТАМОРФИЧЕСКИЕ, ИЗВЕРЖЕННЫЕ И ОСАДОЧНЫЕ ПОРОДЫ.

Изложены результаты 28 рейса нис "Первенец" (31.03-4.06. 1977 г.), выполненного лабораториями стратиграфии и геологии шельфа ТОИ ДВНЦ.

В Восточно-Китайском море обследован материковый склон и 2 банки в троге Окинава, в Японском море подводная возвышенность Ямато, вулканические постройки в котловинах Хонсю и Центральной, материковый склон и шельф в районе зал. Ольги.

Описаны рельеф, морфоструктуры и геологическое строение обследованных районов. Впервые обнаружены докембрийские метаморфические породы в троге Окинава, приведен разрез неоген-четвертичных отложений материковых склонов Восточно-Китайского и Японского морей. На возвышенности Ямато распространены палеозойские гранитоиды, нижнемеловые, палеоген-неогеновые и четвертичные отложения и кайнозойские базальтоиды. Вулканические постройки в глубоко водных котловинах сложены преимущественно базальтоидами. К отчету приложен каталог станций, батиметрических карт и др. материалы.

Оглавление

1. Введение	6
2. Аналитический обзор	16
3. Методика, организация и объем выполненных работ	23
3.1. Методика составления батиметрических карт	24
3.2. Методика геологических исследований	26
3.3. Организация работ	27
3.4. Объем выполненных работ	28
4. Результаты геоморфологических исследований	
4.1. Восточно-Китайское море	32
4.2. Японское море	42
5. Результаты геологических исследований	64
5.1. Восточно-Китайское море	64
5.1.1. Докембрийские метаморфические породы	64
5.1.2. Палеогеновые (?) отложения	67
5.1.3. Неоген-плейстоценовые отложения	68
5.1.3.1. Верхний миоцен-плиоцен (?)	69
5.1.3.2. Плиоцен-четвертичные отложения нерасчлененные . .	70
5.1.3.3. Предположительно плиоцен-четвертичные отложения . .	73
5.1.4. Четвертичные отложения	73
5.2. Японское море	75
5.2.1. Позднепротерозойские (?) гранитоиды	75
5.2.2. Позднепалеозойские гранитоиды	77
5.2.3. Нижнемеловые отложения	79
5.2.4. Меловые-палеогеновые (?) отложения	80
5.2.5. Неогеновые отложения	83
5.2.5.1. Миоценовые отложения	83
5.2.5.2. Плиоценовые отложения	85
5.2.6. Кайнозойские базальтоиды	93

5.2.6.1. Северный хребет Ямато	94
5.2.6.2. Южный хребет Ямато	94
5.2.6.3. Вулкан Медведева (полигон 26)	99
5.2.6.4. Безымянская вулканическая гряда (полигон 27)	99
5.2.6.5. Вулкан Тарасова (полигон 23)	101
5.2.7. Четвертичные отложения Японского моря	102
6. Биологические исследования	III
7. Заключение	III
8. Список литературы	

Приложения

А- Текстовые

1-Т. Научная программа 28 рейса нис "Первенец".

1-Ta. Дополнение к научной программе.

2-Т. Отчет капитана нис "Первенец".

3-Т. Каталог станций.

4-Т. Каталог буев

Б- Графические.

1. Карта - схема 28 рейса нис "Первенец".

2. Схематическая батиметрическая карта материкового склона на участке от $26^{\circ}50'$ до $27^{\circ}18'$, с.ш. Восточно-Китайское море.

3. Полигон II. Карта фактического материала Восточно-Китайское море.

4. Схема маршрутных промеров. Восточно-Китайское море.

5. Маршрутный промер. Галсы 22, 61, 62, 63. Восточно-Китайское море.

6. Схема маршрутных промеров. Галсы 23, 63, 64. Восточно-Китайское море.

7. Полигон I4-A. Карта фактического материала.

8. Полигон 28. Карта фактического материала.
9. Полигон 28-А. Карта фактического материала.
10. Полигон 28-Б, Карта фактического материала.
11. Полигон 28-В. Карта фактического материала.
12. Схема маршрутных промеров. Галсы I,2. Японское море.
13. Полигон I6-Б. Карта фактического материала.
14. Полигон I0-А. Карта фактического материала.
15. Полигон II-А. Карта фактического материала.
16. Район I2 (полигон I0-Б). Карта фактического материала.
17. Профиль от бухты Евстафия до бровки шельфа по курсу 140° .
18. Батиметрические профили. Восточно-Китайское море (полигон II)
19. Условные обозначения карт фактического материала.

I. Введение

28 рейс нис "Первенец" выполнен с 31 марта по 4 июня 1977 г продолжался 65 суток. Основной задачей рейса являлся сбор фактического материала для выполнения плана научно-исследовательских работ, предусмотренных на текущую пятилетку лаборатории стратиграфии, палеонтологии и палеогеографии по проблеме 05001, тема 01.02, подтема Н1, тема 01.04, подтемы Н1, Н4. Научная программа рейса была утверждена и.о. председателя Секции наук о Земле АН СССР 9 февраля 1977 г. (приложение № I-т). Кроме указанной программы, в рейсе предлежало выполнить дополнительные задания: 1) Главного управления морской навигации и океанографии МО СССР по проверке банок в западной части Японского моря с отметками 22 ПС и 59 СС; 2) директора ТОИ по проведению геоморфологических и геологических исследований на шельфе материковом склоне у побережья Сихотэ-Алиня. В целом в данном рейсе продолжались исследования, начатые ранее на судах "Первенец", "Наллисто" и "Витязь". Рейс по продолжительности, районам работ и методике был близок к 25 рейсу "Первенца", выполненному в 1976 г.

Состав экспедиции был следующим:

1. Начальник экспедиции д.г.-м.н. И.И.Берсенев
2. ст.научный сотрудник к.г.-м.н. Е.П.Леликов
3. - " - - " - к.г.-м.н. Ю.С.Липкин
4. - " - - " - к.г.-м.н. И.К.Пущин
5. Начальник геологического отряда Е.П.Терехов
6. - " - геоморфологического отряда К.И.Сигова
7. мл.научный сотрудник Ю.И.Берсенев
8. - " - - " - Н.Г.Вашенкова
9. - " - - " - С.П.Плетнев
10. - " - - " - Н.А.Соловьян
11. - " - - " - В.Т.Съедин

2. мл. научный сотрудник И.Б.Цой

3. инженер - И.И.Теницкий

4. стажер-исследователь В.Л.Вербицкий

Таким образом, экспедиция была полностью укомплектована. Из 24 человек - 8 являлись сотрудниками лаборатории стратиграфии, палеонтологии и палеогеографии, 5 -лаборатории геологии шельфа и 1 (С.П.Плетнев) - Института географии ДВНЦ.

Капитаном судна был Н.И.Парфенов, совершивший третий рейс на "Первенце", старшим помощником -опытный штурман В.И.Крячко, вторым помощником - В.С.Ганский, не имевший достаточного опыта работы на научно-исследовательских судах и допускавший ошибки в определении места судна,третим помощником - Л.Г.Моргун, имевший необходимые навыки в работе. Остальные члены экипажа состояли преимущественно из опытных моряков. Весь экипаж (18 человек), за исключением В.С.Ганского, работал хорошо.

Календарный график рейса и расход времени по видам работ приведен в таблицах I,I; I,2. (стр.12,14). Как видно из этих таблиц рейс проходил преимущественно при благоприятной погоде. Непроизводительные затраты времени за рейс из-за штормовой погоды составили 12.0% и по другим причинам - 5,1% всего 17,1%.

При переходе из Владивостока через Японское море было выполнено 10 биологических станций, отобраны пробы планктона от зал. Цетра Великого до Корейского пролива. 6 апреля "Первенец" пришел на полигон II-А, расположенный на материковом склоне Восточно-Китайского моря в районе о.Онинава. Материковый склон севернее этого полигона на всем протяжении был обследован в 1976 г., и крутых склонов, пригодных для драгирования, обнаружено не было. На полигоне II-А были найдены крутые склоны, но их высота и протяженность оказалась незначительной.

По этой причине было решено продолжить промеры далее на юг.

На смежном к югу участке были обнаружены крутые, местами обрывистые склоны и здесь был разбит полигон II. На данном полигоне была полностью выполнена программа первого этапа рейса - драгированием и прямоточными трубками отобраны образцы неоген-четвертичных отложений в интервале глубин 160-1200 м. Кроме того, получены важные данные по геоморфологии и морфотектонике.

При переходе в Хыннам (КНДР) производился эхолотный промер материкового склона и ложа глубоководной впадины - трога Окинава. В северной части трога было проведено драгирование склонов двух банок. Одна из них

На одной из них были обнаружены осадочные породы, на другой - кембрийские метаморфические породы. Открытие столь древних пород в пределах трога Окинава явилось крупным научным достижением, так как подобные породы ранее не были известны не только в Восточно-Китайском море, но и на островах Рюкю. Драгирование банок было проведено сверх программы.

Переход в Хыннам проходил в условиях шторма силой до 8-9 баллов. Поэтому он занял больше времени, чем планировалось и не было возможности сделать попутный промер в районе указанных выше банок с отметками 22 и 59. В Хыннам судно пришло в срок, своевременно указанный портовым властям. Во время стоянки в Хыннаме, судно пополнило запасы воды и продовольствия. Однако, отдохнуть в этом порту люди не могут из-за исключительно загрязненного воздуха, отравляемого ядовитыми газами и пр., выбрасываемыми в атмосферу многочисленными заводскими трубами.

Второй этап рейса был посвящен изучению подводной возвышенности Ямато. Точно по программе были проведены работы на полигоне I4-A, расположенном в юго-западной части Северного хребта. На хребте планировалось разбить два полигона: 28 на его западном склоне и 29 - на восточном. При проведении эхолотной

съемки было установлено наличие скал (кекуров) на поверхности плато. Поэтому изучение проведено на одном полигоне 28, охватившем как поверхность плато, так и оба склона хребта. В конце этапа было проведено драгирование склонов подводного вулкана (полигон 26), изучение которого было начато в 25 рейсе "Первенца". На пути в Вонсан был проведен контрольный промер на полигоне 28 и небольшой объем работ на полигоне I4-A.

При переходе из Хыннама судно зашло в район указанных выше отметок глубин (22 и 59), но штормовая погода не позволила произвести промер. Третья попытка выполнить здесь работу была предпринята при переходе в Вонсан. И снова шторм помешал промерам.

В данном рейсе впервые "Первенец" получил от корейских властей разрешение на заход в порт Вонсан. Состоялся первый заход в этот порт советского научно-исследовательского судна. Торговые суда СССР сюда заходят уже второй год, если не больше. Вонсан — небольшой (6 тыс. жителей) курортный город. Здесь много домов отдыха, пионерских лагерей, есть санатории. Имеются прекрасный парк, зоопарк, отличные пляжи, для иностранных туристов построены современные отели и пр. Вонсан является очень хорошим городом для отдыха моряков.

Поскольку основная научная программа рейса была выполнена за два этапа, третий этап, в основном, был посвящен дополнительным заданиям. После отхода из Вонсана "Первенец" в четвертый раз пошел в район с отметками 22 ПС и 59 СС. Погода благоприятствовала работе. У точки с отметкой 59 СС на глубине 850 м был поставлен буй № 72 и разбит полигон I6-Б, с привязкой к бую по РЛС "Дон" проведена серия промерных галсов на площади 90 км^2 и составлена батиметрическая карта. Доказано отсутствие ~~указанный~~ ^{на картах} банки. В районе отметки 22 ПС глубина до дна оказалась более 2000 м, что не позволило поставить буй. Здесь промер произведен

с частичной привязкой галсов по РНС "Лоран". Следует отметить, что банки с отметками 22, 54 и 59 безуспешно разыскивались экспедициями на "Первенце" в 20 (1973 г.), 21 (1974 г.) и 25 (1976 г.) рейсах. Однако, выполненные при этом промеры не были оформлены в соответствии с инструкцией ИМП-74, хотя результаты промеров были отражены в соответствующих отчетах и на картах.

При переходе от полигона 16-Б к району зал. Ольга, было проведено драгирование склонов подводной возвышенности в районе $40^{\circ}40' \text{с.ш.}$, $132^{\circ}0' \text{в.д.}$ (полигон 27). На эту работу было затрачено очень немного времени (10ч.30м.), а геологические результаты получены весьма интересные.

22 мая в 10ч.0м. "Первенец" подошел к материиковому склону на праверзе мыса Южный. От соответствующих властей было получено разрешение на проведение работ, которые проводились на полигоне 10-А. Затем были выполнены работы на полигоне II-А, и в районе I2 (полигон 10-Б), расположенных севернее. Таким образом, все дополнительные задания экспедиция выполнила. Район I2 охватывал небольшой участок шельфа, что не давало возможности установить какие либо закономерности в составе донных отложений. Для получения недостающих данных был пройден профиль от бух. Евстафия до бровки шельфа с отбором проб прямоточными трубками.

Оставшееся время решено было использовать для драгирования склонов подводной возвышенности, расположенной в районе $42^{\circ}10' \text{с.ш.}$, $133^{\circ}40' \text{в.д.}$. Эти работы не были закончены, вследствие начавшегося сильного шторма (через район прошел циклон с давлением 984 мб). Однако, "Первенец" успел укрыться от шторма в зал. Восток. Во время стоянки на якоре в бух. Средняя была закончена покраска судна и демонтированы приборы и механизмы. 4 июня "Первенец" стал на якорь в бух. Золотой Рог.

В целом за рейс был получен очень большой фактический мате-

рнал, имеющий важное научное значение. Успех рейса был обеспечен самоотверженной работой всех членов экспедиции. За единичными исключениями хорошо работали все члены экипажа. Вместе с тем следует отметить, что судно к рейсу было подготовлено недостаточно хорошо: не работала вентиляция, поскольку раструбы пришли в негодность и вентиляционные трубы были затянуты; во втором этапе плаванья нехватало крупа и других продуктов, которые не были получены во Владивостоке. Лишь во время стоянки в Вонсане недостающие продукты мы получили с советского судна "Шушенское". Очень плохие условия для отдыха в тесных каютах при отсутствии вентиляции, недостаточное питание во втором этапе рейса, изнурительная качка в штормовую погоду, круглосуточная работа - всё это вызывало утомление, иногда переутомление и кратковременные заболевания участников рейса.

Таблица I.1

Календарный график и расход времени по 28 рейсу
нис "Первенец"

Виды работ и операций	начало			затрачено времени		
	число	часы	минут	суток	часов	минут
I	2	3	4	5	6	7
Переход Владивосток-материоко- вый склон В-Китайского моря на полигон II-A	март 31	14	20	5	16	25
Работа на полигоне II-A	апрель 6	06	45	-	18	45
Переход на полигон II	7	01	30	-	2	-
Работа на полигоне II	-" -	03	30	7	17	30
Переход на симаунт в троге Окинава	14	21	-	1	15	30
Работа на симаунте	16	12	30	-	4	-
Переход на другой симаунт	-" -	16	30	-	4	-
Работа на симаунте	17	00	20	-	2	30
Переход на полигон I6	-" -	02	50	3	1	10
Работа на полигоне I6	20	04	-	-	3	-
Переход в Хиннам	-" -	07	-	-	22	20
Стоянка в порту Хиннам	21	05	20	2	8	30
Итого:	-	-	-	23	5	40
II этап						
Переход Хиннам-полигон I6	23	20	-	-	16	05
Переход полигон I6-пол. I4-A	24	12	05	1	8	10
Работа на полигоне I4-A	25	20	15	5	1	45
Работа на полигоне 28	30	22	-	II	1	-
	Май					
Переход на полигон 26	II	23	-	-	8	50
Работа на полигоне 26	I2	07	50	-	I3	10

I	2	3	4	5	6	7
на полигон 28	12	21	-	-	9	20
на полигоне 28	13	06	20	-	6	50
на полигоне I4-A	13	13	10	-	10	50
в Вонсан	14	-	-	1	14	-
в порту Вонсан	16	14	-	2	8	20
Итого	-	-	-	25	2	20
II этап						
Вонсан-полигон I6	18	22	20	-	16	-
на полигоне I6	19	14	20	-	10	45
на полигон 27	20	01	05	-	19	55
на полигоне 27	"-	21	-	-	10	30
на полигон I0-A	21	07	30	-	10	30
на полигоне I0-A	22	10	-	3	14	40
на полигон II-A	26	-	40	-	4	40
на полигоне II-A	"-	05	20	3	7	20
на полигон I0-A	29	12	40	-	5	05
на полигоне I0-A	"-	17	45	1	15	35
в район I2	31	09	20	-	1	20
в районе I2	"-	10	40	-	8	-
на профиль от бух. Кастафия	"-	18	40	-	2	10
на профиле	"-	20	50	-	2	20
на полигон 23	"-	23	10	-	10	50
на полигоне 23	IЮНЬ	10	-	1	4	30
на полигон 23-Владивосток	2	14	30	1	II	-
во Владивосток	4	01	30	-	-	-
Итого	-	-	-	16	3	10
Всего				64	II	10

Всего за рейс пройдено 7240 миль, в том числе с эхолотным
импером 3110 миль.

Таблица I.2

Расход времени по видам работ и операций в 28 рейсе
нис "Первенец"

Наименование видов работ и операций	Израсходовано		% к итогу
	часов	минут	
I	2	3	4
<u>I этап</u>			
Переходы между портами и районами работ	254	15	45,7
Биологические станции (отбор планктона)	6	25	1,2
Эхолотные промеры на полигонах	73	20	13,1
Драгирование	71	20	12,8
Отбор проб трубками	7	10	1,3
Установка и поиски буя 68	3	05	0,6
Стоянка в порту Хыннам	56	30	10,1
Простой всего	85	20	15,3
В том числе:			
Из-за штормовой погоды	63	40	II,4
Профилактика эхолота	4	35	0,8
Из-за непрохождения радиоволн и РНС "Лоран"	15	10	2,7
Окраска носовой части корпуса судна	2	05	0,4
всего	557	35	100,0
<u>II этап</u>			
Переходы между портами и районами работ	107	40	18,0
Эхолотные промеры на полигонах	170	40	28,7
Драгирование	134	50	22,5
Отбор проб трубками	6	30	0,9
Установка и снятие буев	8	25	1,4
Перемотка троса, замена блока	10	45	1,8

I	2	3	4
Остановка в порту Вонсан	56	20	9,3
Простояи всего	107	10	17,8
В том числе:			
Из-за штормовой погоды	81	40	13,6
Из-за непрохождения радиоволны РНС "Лоран"	25	30	4,2
Всего	602	20	100,0
<u>III этап</u>			
Переходы между портами и районами работ	92	50	25,2
Эшелотные промеры на полигонах	74	45	19,3
Драгирование	103	50	27,0
Отбор проб трубками	8	30	1,2
Отбор проб черпаками	12	50	3,2
Установка и снятие буев	19	05	5,0
Простояи всего	73	50	19,1
В том числе из-за штормовой погоды	41	30	10,8
Ремонт эхолота	15	10	3,8
Ремонт РЛС "Дон" и гирокомпаса	7	40	2,0
Из-за непрохождения радиоволны РНС "Лоран"	9	30	2,5
Всего	387	10	100,0
Всего за рейс			
Переходы между портами и районами работ	454	45	29,7
Эшелотные промеры на полигонах	318	45	20,6
Драгирование	320	-	20,7
Отбор проб трубками	22	10	1,4
Отбор проб черпаками	12	50	0,8
Отбор планктона	6	25	0,4
Установка и снятие буев	20	35	1,3

I	2	3	4
Перемотка троса, замена блока	10	45	0,7
Задержки в портах Хыннам и Вонсан	112	50	7,2
Простой всего	266	20	17,2
в том числе:			
На-за штормовой погоды	186	50	12,0
Ремонт и профилактика эхолота	19	45	1,3
Ремонт РЛС "Дон" и гирокомпаса	7	40	0,5
На-за непрохождения радиоволны РНС "Лоран"	50	10	3,2
Шпакка носовой части корпуса судна	2	05	0,1
	1547	10	100,0

2. АНАЛИТИЧЕСКИЙ ОБЗОР (ГЕОЛОГО-ГЕОФИЗИЧЕСКАЯ ИЗУЧЕННОСТЬ)

2.1. Навигационными картами экспедиция обеспечена не была.

Полученные ранее лабораторией карты в настоящее время, как правило изъяты из употребления на судах. Поэтому

экспедиция, помимо собственных, использовала навигационные карты, находившиеся на борту "Первенца".

Перечень карт, используемых экспедицией, приведен в таблице 2.1.

Список навигационных карт

Таблица 2.1.

№	Название	масштаб	Год изд.
1	61III От арх. Окинава до берегов Китая	1:500.000	1972
2	61I09 Ост-ва Нансей. Арх. Токара и Амами	- " -	1974
3	61I02 Южная часть о.Кюсю с арх. Осуми и Токара	- " -	1971
4	134 Японское море	1:2.000.000	1948, 1970

1	2	3	4	5
	5. 60300	Японское море. От Владивостока до Корейского пролива	I:1.000.000	1972
	6. 60301	Японское море. От Владивостока до пролива Лаперузза	- " -	1968
	7. 2964	Японское море. Побережье Кореи	I:500.000	1963
	8. 61001	Японское море. От м.Мусудан до м. Поворотный	- " -	
	9. 62072	Японское море. От зал.Америка до зал. Ольга	I:250.000	1972
	10. 62073	Японское море. От зал. Ольга до зал. Рында	- " -	1970

2.2. Геолого-геофизическая изученность Восточно-Китайского и Японского морей описана в предыдущих отчетах по 20, 21, 23, 24 рейсам линии "Первенец". По Восточно-Китайскому морю новые геолого-геофизические материалы не известны.

По Японскому морю в указанных отчетах не освещено геологическое строение подводной возвышенности Ямато и прилегающих к ней глубоководных впадин. По сейсмическим данным (Ковылин и др., 1977) в области возвышенности Ямато выделено 3 зоны, различающихся структурой земной коры. Зона I, прилегающая к возвышенности, имеет следующее строение: 1) верхний осадочный слой мощностью 1,5 км; 2) промежуточный слой мощностью 2-3 км, скорость его 5,5-5,6 км/сек; 3) "базальтовый" слой, приблизительная его мощность 9 км, скорость 6,6-6,8 км/сек. Граница Мохо характеризуется скоростью 7,7-8,0 км/сек. Общая мощность земной коры около 13 км.

Зона II охватывает хребты Ямато, имеет следующее строение: 1) осадочный слой мощностью от 0 до 0,5 км, имеет скорость 1,9-2 км/сек; 2) слой уплотненных осадков мощностью около 1 км, со скоростью 3,0-3,5 км/сек; 3) слой со скоростью 4,7-5,5 км/сек, мощность 1,2-2,0 км/сек; 4) слой со скоростью 5,6-6,5 км/сек,

мощностью 4,2-5,0 км, 5) "базальтовый" слой, скорость его 6,8 км/сек. Структура земной коры хребтов примерно одинакова.

Зона III характеризует впадину Ямато. Она имеет двухслойное строение, а по данным ГСЗ - с учетом "промежуточного" слоя - трехслойное. Мощность промежуточного слоя изменяется от 1 км в центре впадины до 4,5 км в ее юго-западной окраине. Скорость его 5,4-5,6 км/сек. "Базальтовый" слой находится в 5,0-5,5 км от поверхности воды, скорость его 6,7-7,0 км/сек.

Результаты геолого-геофизического изучения возвышенности Ямато в период до 1972 г. включительно обобщены в монографии (Васильев, Берсенев и др., 1975 г.). Указанная книга содержит многочисленные мелкошаговые схемы, отражающие все необходимые данные. Однако, фактический материал, положенный в основу геологического описания, был собран преимущественно в рейсах "Первенца" до 1971 г. В то время на судне не было РНС "Лоран", при работах буи не ставились и координаты станций определены весьма приблизительно. Соответственно взаимоотношение комплексов пород устанавливалось по косвенным признакам.

На Северной хребте Ямато в 24 рейсе НИС "Первенец" были выполнены геологические исследования на полигоне I4, расположенному в нижней половине его западного склона (Берсенев и др., 1975). В пределах полигона установлено два разновозрастных комплекса пород, имеющих консолидированный фундамент. Нижний комплекс сложен метаморфизованной вулканогенно-осадочной толщей и гранитоидами предположительно палеозойского возраста. Верхний представлен неизвестными терригенными осадками с обрывами углистого шистита. Возраст их по спорово-пыльцевому комплексу отнесен к раннемеловому (готерив-раннеальбскому).

Уникальный по геологическому содержанию материал был получен в 31 рейсе бурового судна "Гломар Челенджер", пробурившего по периферии возвышенность Ямато в 1973 г. четыре скважины №№ 299-302

1975.

<u>Скважина 299</u>	($39^{\circ}29,69'$; $137^{\circ}39,72'$) расположена в троге
	в 12 милях юго-восточнее подводной долины (ущелья) Тояма.
	Глубина до дна у устья скважины 2599 м. Скважиной пробурена толща
	подводных пород мощностью 532 м. Разрез ее следующий (сверху):
1.	Палеоцен (?). Алевритовый песок, фораминиферовый ил, включение вулканического стекла 1,5 м
2.	Плейстоцен. Преимущественно глинистые алевриты и алевролитовые
	глины 136,0 м
3.	Заплайстоцен (по подлиннику-ранний плейстоцен). Глинистые
	авериты и алевролиты, алевритовые глины и аргиллиты, песчанистые алевролиты, алевритистые пески 215,5 м
4.	Верхний миоцен (?з.). Алевритовые аргиллиты 9,5 м
5.	Возраст не определен. Преимущественно алевритовые аргиллиты 114,0 м
6.	Верхний миоцен. Алевритовые аргиллиты 9,5 м
7.	Возраст не установлен. Преимущественно алевритовые аргиллиты 47,5 м

По всему разрезу присутствуют пески и песчаники, глины и аргиллиты, алевролиты, вулканический пепел, доломиты, органогенные (диатомиты, радиоляриты и др.), единично встречаются доломиты и известняки.

Скважина 300 ($41^{\circ}02,96'$; $136^{\circ}06,30'$) расположена в Центральной провинии приблизительно в 30 милях севернее северо-восточного ущелья Северного хребта Ямато. Устье скважины лежит на глубине 3427 м, глубина ее 117 м. Керн был поднят лишь в интервалах глубин 10-10 м и 105.5-117 м. В первом случае подняты алевритовые глины, во втором плейстоценовые диатомовые алевритовые глины, пески и диатомовые алевритовые глины.

Скважина 301. ($41^{\circ}03,75'$; $134^{\circ}02,86'$) пробурена в Центральной провинии, примерно, в 40 милях к северу от Северного хребта Ямато.

до дна 3520 м, глубина скважины 497 м.

Разрез скважины следующий (сверху):

В глубине 117 м керн не был поднят	117 м
Плейстоцен. Преимущественно алевритовые глины	9,5 м
В интервале 126,5-136,0 м керн поднят не был	9,5 м
Плейстоцен (в подлинике-ранний плейстоцен). Алевриты. Алевритовые глины, глины, алевритовые пески	46,5 м
Верхний плиоцен. Глины (алевритовые, диатомово-алевритовые, диатомовые), алевритовые диатомиты, песчано-глинистый шлак	
В интервале 136-155 м керн не поднят	
Верхний плиоцен. Алевритовые диатомиты, песчано-алевритовые глины (по поднятому керну)	2,0 м
В интервале 366-374 м керн не поднят	12,0 м
Верхний не установлен. Алевритовые диатомиты и диатомовые аргиллиты (по поднятому керну)	1,5 м
В интервале 375,5-382,5 м керн не поднят	
Верхний миоцен. Аргиллиты (алевритовые, диатомовые, песчано-алевритовые и др.), алевролиты (глинистые и диатомовые и др.), диатомиты (глинистые и др.)	
в породах разрезу присутствует вулканический пепел и встречаются вулканические остатки (наннофоссилии, фораминиферы, радиолярии, фрагменты и диатомеи).	

Скважина 302 ($40^{\circ}20,13'$; $136^{\circ}54,01'$) пробурена на уступе склона Северного хребта Ямато. Устье скважины лежит на 2399 м, перебурена толща пород мощностью 531,5 м.

Скважина вскрыла следующий разрез (сверху):

Плейстоцен. Диатомово-алевритовая глина	1,0 м
В интервале 1,0-20,0 м керн не поднят	19,0 м
Плейстоцен. Диатомово-алевритовые глины	37,5 м
В интервале 47,5-57,0 м керн не поднят	9,5 м

глины	9,5 м
6. В интервале 66,5-76,5 м керн не поднят	10,0 м
7. Нижний плиоцен. Диатомиты (диатомовые оозы)	19,5 м
8. В интервале 96,0-114,0 м керн не поднят	18,0 м
9. Верхний миоцен. Диатомиты (диатомовые оозы)	154,0 м
10. В интервале 268,0 -352,0 м керн не поднят	84,0 м
11. Верхний миоцен. Диатомиты (диатомовые оозы), глины . .	1,5 м
12. В интервале 353,5-456,0 м керн не поднят	102,5 м
13. Верхний миоцен. Алевритовые глины	3,5 м
14. В интервале 468,5-529,0 м керн не поднят	60,5 м
15. Верхний миоцен. Алевритовые аргиллиты, в основании - вулканические туфы (зеленые туфы).	1,5 м

Как и в выше приведенных скважинах, перебуренные породы, кроме
такой же содержат остатки наннофоссилий, фораминифер, радиолярий
и спирофлагеллят.

В отчете приведено много сведений о геологическом строении
скважин бурения, физических свойствах, литологии, минералогии, гео-
разбуренных пород, дана их краткая палеонтологическая
характеристика и рассмотрены другие вопросы. Изложение указанных
материалов выходит за рамки настоящего отчета.

В 25 рейсе на "Первенец" были проведены геологические и
литологические исследования вулкана Медведева (полигон 26), в
26 рейсе они были продолжены. Вулканическая постройка имеет оваль-
ную форму, ось ее вытянута в северо-восточном направлении, подо-
ходит на глубине 3000 м. Вершина имеет коническую форму, на-
ходится на глубине около 1100 м. Слоны вулкана рассечены ради-
ально расходящимися от вершины ложбинами-баранками. Драгирова-
ние его склонов с глубины 1250-1600 м подняты базальты, андезиты,
илюститы среднего и основного состава, обломки диоритов и
волокнистых гранитов, железо-марганцевые конкреции (Берсенев

, 1976). Появление магматических пород среди типично вулканических, выполняющих постройку на коре субокеанического типа, явилось неожиданностью.

На изолированной возвышенности расположенной южнее бухты Киев в краевой части Центральной котловины (полигон 23), названной Тарасова, в 21 рейсе нис "Первенец" (Пущин и др., 1974) сделано 19 галсов. Составлена батиметрическая карта. Возвышенность имеет вытянутую в субмеридиональном направлении форму, минимальная высота у ее вершины 1500 м, максимальная у ее подошвы 3300 м. Она состоит из двух куполовидных вершин с относительными превышениями 300–400 м, склоны ее крутые (до 40–50°).

С западного склона вулкана драгированием подняты: черные плотные базальты, диатомиты плиоценового возраста, пористые базальты с корочками железо-марганцевых минералов. С восточного склона подняты диатомиты и окремнелые алевролиты предположительно плиоценовые, базальты и породы жерловой фации, состоящие из красно-бурых и бурых обломков базальтов сцементированных минеральным крематом. В составе последнего преобладают глауконит, вулканическое стекло и железо-марганцевые минералы. Предполагается, что геологическое строение возвышенности аналогично возвышенности Первенца. Исследования вулкана продолжены в 28 рейсе нис "Первенец".

Сведения о геологическом строении материкового склона Приморья в пределах Ю и II полигонов обобщены в отчете (Берсенев и др., 1975), в котором систематизированы материалы Ю, I5, 20 рейсов "Первенец" (Берсенев и др., 1971, 1972, 1973, 1974 гг.), 47 рейсов нис "Витязь" (Андреева, Удинцев, 1968), Тихookeанской экспедиции "ЮжМОРГео" (Безверхний и др., 1974).

Помимо указанных работ за последние годы составлен ряд отчетов. Геологическое строение дна Японского моря по геофизическим данным описано в отчете В.М.Ковылина и др. (1977), четвертичные

изменения отражены в отчете Н.П.Васильковского и др. (1976), морфоструктуры и разломная текtonика - в отчете И.И.Берсенева и др. (1975), шельф и материковый склон Японского моря в районе зал.Петра Великого - в отчете Н.П.Васильковского и др. (1974), а севернее зал. Рында - в отчете И.И.Берсенева и др. (1975).

Из сведений, приведенных в настоящем отчете и в отчете по 25 рейсу "Первенца" (1976), вытекают следующие выводы.

I. Для дальнейшего изучения стратиграфии кайнозойских отложений необходимо иметь образцы горных пород, образовавшихся в море, открытому к Тихому океану. Комплексное изучение различных групп микроорганизмов и микрофауны может помочь в привязке стратиграфической шкалы Японского моря, основанной на диатомеях, к единой шкале, базирующейся на планктонных фораминиферах.

Для дальнейшего изучения геологии дна Японского моря необходимо более детально исследовать возвышенность Ямато. Эта наиболее плоская из положительных морфоструктур покрыта лишь обзорными работами (Б.И.Васильев и др., 1975), кроме того каменный материал не сохранился.

По указанным причинам в 28 рейсе основной объем работ планировалось выполнить на материковом склоне Восточно-Китайского моря и на возвышенности Ямато.

3. МЕТОДИКА, ОРГАНИЗАЦИЯ И ОБЪЕМ ВЫПОЛНЕННЫХ РАБОТ

Методика изучения геологического строения морского дна была разработана в 10 рейсе лис "Первенец" в 1971 г. (Берсенев, 1973). Она заключается, в основном, в отборе проб горных пород дочетвертичного возраста драгированием подводных скал, крутых склонов и обрывов. Приемы драгирования при этом отличаются от широко применяющихся в экспедициях, выполненных Институтом океанологии АН СССР на судах "Витязь", "Дмитрий Менделеев" и др., а также в экспедициях, проведенных на "Первенце" под руководством Б.И.Васильева и др. следующим:

I). До начала драгирования для исследуемого района составляется батиметрическая карта, позволяющая выбрать участок драгирования, наиболее благоприятный по характеру рельефа дна и его ориентировки относительно дрейфа судна.

2). Драгирование производится с таким расчетом, чтобы отобрать пробы горных пород с определенных интервалов глубин. Для этого необходимо уложить драгу на заданную глубину и протащить ее по дну на минимальное расстояние, обеспечив вместе с тем зацеп драги за скальный выступ. Поинтеральное драгирование крутых склонов со значительным перепадом высот (многие сотни метров) позволяет составлять стратиграфические разрезы кайнозойских отложений. Более точные разрезы можно получить лишь путем бурения скважин. Это применяется США с помощью судна "Гломар Челенджер", а также в некоторых других странах при нефтепоисковых работах на шельфах. Однако, разбуривание скважинами морского дна стоит в десятки раз дороже, чем работы, выполненные на "Первенце".

Драгирование без предварительного составления батиметрических карт в данном районе, как и в предыдущих (24, 25 и др.), проходилось лишь отдельных банок и подводных гор на стадии предварительных исследований.

3.1. Методика составления батиметрических карт

Батиметрические карты составляются по данным эхолотовых проходов, выполняемых с помощью эхолота Кельвин-Хьюз с записью через усилитель на самописец ФАК-П. Техническая исправность эхолота была проведена перед выходом в рейс, для чего нис "Первенец" находил в Уссурийский залив.

3.1.1. Место судна или буя определялось тремя способами:

астрономическим, с помощью РНС "Лоран" и с помощью РЛС "Дон". Астрономические определения по утренним и вечерним звездам выполнял ст.помощник капитана В.И.Крячко, несший вахту с 04 до 08 ча-

с 16 до 20 часов. Под его же руководством эпизодически производились определения по солнцу второй и третий помощники - В.С. Кудинов и Л.Г. Моргун.

Определения по РНС "Лоран-А" выполняли все три штурмана. При этом в данном рейсе наблюдалось плохое прохождения радиоволн в ночное время приблизительно от 0 часов до 03-04, иногда до 05 часов. При отсутствии буя и других видов работ, судно дожилось в дрейф. Время, при необходимости, использовалось для профилактики приемника ФАК-П. Всего за рейс простоя из-за плохого прохождения радиоволн при работах на полигонах составили 50 часов 10 минут.

Определения по РЛС "Дон" также производили все штурманы. Дальность видимости гористых берегов в локатор достигала 50 миль. Буй в волнении менее 2 баллов наблюдался на расстоянии до 6 миль, в волнении 3-4 балла - до 3 миль, при большем волнении буй был плохо из-за сильных помех, вызываемых волнами. Кроме того локатор в этих условиях надежно работал лишь на первой фазе, т.е. в глубине до дна менее 750 м. По этим причинам промеры обычно проводились при волнении 5 баллов и более.

3.1.2. Прокладка пути судна производилась одновременно вахтальным штурманом на мостице и вахтенным руководителем работ по экспедиции в эхолотной лаборатории - И.И. Берсеневым или Ю.С. Липкиным. Необходимые для этого данные, штурманы сообщали в эхолотную по радио. Штурманы использовали мелко масштабную карту-сетку; в экспедиции применялась карта-сетка, составленные на миллиметровой бумаге. При промерах с привязкой к бую карты составлялись в масштабе 1:25.000, при определении места по РНС "Лоран" - в масштабе 1:50.000.

Промерные галсы прокладывались с таким расчетом, чтобы охватывкой наиболее перспективные для драгирования участки дна-

— крутые склоны и плато, если на них имеются подводные скалы (закрытые кекуры). В любом случае сеть галсов строились, так, чтобы они пересекались возможно чаще. Главным критерием для определения крутизны прокладки пути судна служили данные о глубинах. При привязке галсов к бую, как правило, достигалась высокая точность привязки и в точках пересечения галсов глубины отличались незначительно (на склонах, крутизной более 10° , на 5-20 м). При привязке по "Лоран" точность привязки значительно ниже. В данном случае использовалось следующее условие. Если в точке пересечения галсов глубины отличаются на 50 м и более (при крутизне склонов $\geq 10^{\circ}$), либо несколько смешался, либо браковался.

3.1.3. Батиметрические карты составлялись одновременно с промежуточными. Для этого вахтенный у эхолота непрерывно вычерчивал временные профили и выносил все необходимые отметки глубин и др. Формы рельефа (кекуры, обрывы, тальвеги, вершины и пр.) на нижний край листа. При масштабе карты 1:25.000 горизонтальный масштаб составлял 1 минута 1 см, при масштабе 1:50.000, 1 минута - 0,5 мм. Отражение на временном графике данные проектировались на соответствующий отрезок галса методом пропорциональных треугольников. Этую работу выполняли И.И.Берсенев или Ю.С.Липкин. Таким образом через несколько часов после окончания промеров составлялся предварительный вариант заснятого участка карты. В дальнейшем карта уточнялась по ходу геологических работ (драгирования и др.) и выполнения дополнительных и контрольных галсов.

При камеральной обработке материалов во Владивостоке карты масштаба 1:50.000 пантографировались до масштаба 1:100.000. Карты масштабов вычерчивались на ватмане, а затем размножались фотографически с уменьшением масштаба.

3.2. Методика геологических исследований

Методика работ не отличалась от применявшимся в 25 рейсе и

рейсах "Первенца" (Берсенев, 1973).

3.3. Организация работ

Для выполнения программы рейса личный состав экспедиции был разбит на три группы:

1) Группа геоморфологическая. Руководители И.И.Берсенев (вахта 08 ч.-20 ч.), Ю.С.Липкин - вахта по мере надобности в дневное время; операторы: К.И.Сигова (Н.Г.Вашенкова), Н.А.Соловьян, И.Б. Терехов. Группа обеспечивала круглосуточную вахту на эхолоте и выполняла все работы по эхолотным промерам и составлению батиметрических карт. Техническое обслуживание и ремонт прибора ФАК-П и эхолота осуществлял Е.П.Терехов.

2) Первая палубная группа: руководитель И.К.Пущин, бригадир Ю.И. Берсенев, члены бригады И.И.Теницкий, В.Л.Вербицкий.

3) Вторая палубная группа: руководитель Е.П.Леликов, бригадир В.Л.Сведенин, члены бригады Е.П.Терехов, С.П.Плетнев.

Палубные группы обеспечивали установку и снятие буев и работы на геологических станциях (драгирование, дночерпатели, прямооточные трубы). Руководители групп руководили маневрами судна, вели документацию станций и координировали работу бригад.

Геологическую документацию выполняли: четвертичных отложений (шнеками) Ю.И.Берсенев, неогеновых - Н.Г.Вашенкова, мезозойских - К.И.Сигова. При этом их консультировали И.К.Пущин и Е.П.Леликов.

В связи с повышенной опасностью палубных работ в ночное время (прибор плохо виден в воде), эхолотные промеры выполнялись преимущественно ночью. Палубные группы несли вахту по 8 часов (с 08 до 20 ч с 16 до 24 часов). В отдельных случаях драгирование проводилось ночью, а эхолотные промеры - днем.

Заверительную камеральную обработку материалов вели ночью все участники экспедиции. Эту работу они в значительной мере выпол-

сверх времени, затраченного на несение вахт.

3.4. Объем выполненных работ

Объем работ, выполненных в 28 рейсе, отражен в таблице 3.1.

Общее количество станций в данном рейсе значительно превосходит количество, выполненное в 25 рейсе (208 и 125); существенно больше произведено драгировок (149 и 120), отбора проб трубками (42 и 5), а также всех других видов работ. Указанная разница в выполненных объемах объясняется тем, что в 25 рейсе экспедиция вышла в рейс в составе 10 человек, тогда как в 28 рейсе участвовало 12 человек. Поэтому в 25 рейсе работа велась только двумя вахтами (на 12 часов), а в 28 рейсе — тремя по 8 часов. Таким образом геологические исследования в 25 рейсе затрачивалось не более 12 часов в сутки, а в 28 рейсе — 16 часов и более.

Вместе с тем следует отметить, что в 28 рейсе был более высокий процент неудачного драгирования по сравнению с 25 рейсом (соответственно 17,4% и 14,2%). Частично это объясняется большим количеством станций, взятых в 28 рейсе в Восточно-Китайском море (соответственно 32 и 22). В указанном море работу существенно осложняло течение Куро-Сио. Именно здесь был наиболее высокий процент неуспешных драгировок (25%). В Японском море большинство неуспешных драгировок связано с порывом сетки об острые камни на дне. В ряде случаев драга ложилась на ил, который был смыт при ее замене. За рейс было потеряно две драги и один оуй, утонувший под действием течения Куро-Сио, усиленного штормом.

Распределение времени, затраченного на исследования по отдельным объектам приведено в табл. 3.2

Оценка производственных работ

Таблица 3.1.

ГРУППА ЗАРАБОТКА ПОДРОБНОСТЬ	ГЛУБИНА M	ДРАГИРОВАНИЕ В ТОМ ЧИСЛЕ	отбор проб трубками	отбор проб чашами	общее количество станций		СРЕДНЯЯ МАССА на тонн-	СРЕДНЯЯ ХОДОВАЯ СКОРОСТЬ на тонн-	ЭХОЛОГИЧЕСКИЕ МЕРЫ (МИЛЛ.)											
					БОЛЕЕ 1000 M	БОЛЕЕ 1000 M														
I	2	3	4	5	6	7	8	9	10	II	12	13	14	15	16	17	18	19	20	21
II	III-A	-	-	-	-	-	-	-	-	-	-	-	-	-	-	-	-	-	-	-
II	III-B	15	12	27	13	7	7	25,9	8	-	8	-	-	23	12	35	1	2520	1:100.000	5
III	14-A	5	15	20	13	1	6	30	2	4	6	-	7	19	26	-	260	1:100.000	5	
III	14-B	6	22	18	40	27	4	9	22,5	-	-	-	-	-	-	-	-	1365	1:25.000	1
III	26	-	5	5	5	-	-	0	0-	-	-	-	-	5	5	-	-	-	-	-
III	28-A	2	5	7	5	1	1	14,3	-	-	-	-	2	5	7	1	220	1:25.000	1	
III	28-B	6	2	8	4	1	3	37,5	-	-	-	-	6	2	8	1	250	"	1	
III	28-B	4	-	4	2	-	2	50,0	-	-	-	-	4	-	4	1	240	"	1	
III	28	22	18	40	27	4	9	22,5	-	-	-	-	22	18	40	-	3190	1:100.000	-	

	16-Б	17	18	19	20	21	22
III	-	-	-	-	-	-	-
27	-	2	2	-	-	-	-
10-А	14	17	31	5	2	0	0
II-А	15	-	15	13	2	-	-
P-H	12	-	-	-	-	-	-
ПРО-	-	-	-	-	-	-	-
ФИЛЬ	-	-	-	-	-	-	-
О.ЕВ-	-	-	-	-	-	-	-
СТА-	-	-	-	-	-	-	-
ФИЯ	23	-	4	4	-	-	-
Итого	76	73	149	104	127	26	17,4
%	-	51,0	49,0	100,0	69,7	12,7	17,4

	10	11	12	13	14	15	16	17	18	19	20	21	22
III	-	-	-	-	-	-	-	-	-	90	1:25.000	1:000.000	1:000.000
27	-	2	2	-	0	-	-	-	-	30	1:25.000	1:000.000	1:000.000
10-А	14	17	31	5	2	-	-	-	2	-	1:100.000	1:25.000	1:25.000
II-А	15	-	15	13	2	-	-	-	14	17	31	3	340
P-H	12	-	-	-	-	-	-	-	35	17	35	1	80
ПРО-	-	-	-	-	-	-	-	-	15	-	15	1	1:25.000
ФИЛЬ	-	-	-	-	-	-	-	-	15	-	15	1	60
О.ЕВ-	-	-	-	-	-	-	-	-	10	-	10	-	-
СТА-	-	-	-	-	-	-	-	-	10	-	10	-	-
ФИЯ	23	-	4	4	-	-	-	-	0	-	-	-	-
Итого	76	73	149	104	127	26	17,4	38	4	42	17	131	77
%	-	51,0	49,0	100,0	69,7	12,7	17,4	17,4	17,4	17,4	17,4	17,4	17,4

При переходе через Японское море отобрано 10 станций планктона.

Всего пройдено 7240 миль, из них с эхолотным промером 43 % пути.

10520

3110

30

625

595

565

1280

8340

900

1:25.000

1:100.000

1:500.000

Расход времени на работу по объектам исследований
(без учета переходов и стоянок в портах)

Таблица 3.2.

объект исследования	суток	часов, минут	Всего часов, минут	% к итогу
<u>Восточно-Китайское море</u>				
Полигон II-A	-	18,45	18,45	2,1
-"- II	7	17,30	185,30	20,6
Симаунт (ст. I397, I398)	-	4,00	4,00	0,4
(ст. I399-I401)	-	2,30	2,30	0,3
<i>Всего</i>	8	18,45	210,45	23,4
<u>Японское море</u>				
Полигон I4-A	5	12,35	132,35	I4,75
- " - 28	II	7,50	271,50	30,25
- " - 26	-	13,10	13,10	1,5
- " - I6-B	-	10,45	10,45	1,2
- " - 27	-	10.30	10.30	1,2
- " - I0-A	5	6.15	126.15	I4,05
- " - II-A	3	7.20	79.20	8,85
- " - I0-B	-	11,30	11,30	1,3
- " - 23	I	4,30	28,30	3,2
<i>Въезд от бух. Евстафия</i>	-	2,20	2,30	0,3
<i>Всего</i>	28	17,45	689,45	76,6
<i>Итого</i>	37	12,30	900.30	100,00

Распределение времени на работу по основным направлениям исследований приведено в таблице 3.3.

Таблица 3.3.

Основная цель исследований	%
Изучение стратиграфии кайнозойских отложений (полигоны II-1, II в Восточно-Китайском море; IO-A, II-A в Японском море)	45,6
Комплексное изучение возвышенности Ямато (пол. I4-A, 28)	45,0
Изучение изверженных пород (пол. 23, 26, 27 и др.)	6,6
Другие участки (пол. I6, IO-B и др.)	2,8
Итого	100,0

Как видно из таблицы, расход времени по видам исследований полностью соответствовал программе рейса. Полученный фактический материал существенно дополняет сведения о геологическом строении дна Японского и Восточно-Китайского морей. Достигнутые успехи объясняют хорошей работой всех членов экспедиции и, за редким исключением, состоянием судна.

4. РЕЗУЛЬТАТЫ ГЕОМОРФОЛОГИЧЕСКИХ ИССЛЕДОВАНИЙ

4.1. Восточно-Китайское море

4.1.1. Общая характеристика рельефа морского дна.

В южной части Восточно-Китайского моря, северо-западнее островов Акао, в рельефе морского дна можно выделить следующие геоморфологические элементы: широкий шельф, материко-склон, имеющий ступенчатый поперечный профиль, дно глубоководной впадины (трога) Окинава и сложно расчлененный подводный склон южной дуги Рюкю. В районе полигонов II, II-A край шельфа сближен с глубоководной частью трога Окинава. В связи с этим материко-склону здесь свойственна контрастность рельефа. Общее пространство морфологических элементов северо-восточное.

В пределах шельфа, внешняя граница которого расположена чуть
далее изученного полигона II, выделяется несколько перегибов
поверхности дна. Один из четких перегибов отмечается местами в
интервале глубин 100-130 м. Этот перегиб ограничивает с юга воз-
можность, оконтуренную изобатой 100 м. Второй перегиб поверхно-
сти шельфа отмечен на глубинах 125-170 м. Третий перегиб выявляет-
ся глубинах 170-200 м. Второй и третий перегибы поверхности
шельфа к северу от полигона II сливаются, образуя бровку шельфа.
Где оба эти перегиба шельфа сливаются, граница шельфа проходит
изобатам 124-130 м. В местах, где присутствуют оба перегиба,
слабая ступенчатость шельфа, бровка его проходит по изобате
124 м. Это особенно четко видно западнее полигона II, в окрест-
ствах о-вов Акао.

В краевой зоне шельфа отмечаются многочисленные изометричные
зандровидные возвышенности и холмы, относительной высотой до
нескольких десятков метров. На навигационных картах они показаны
как "отличительная глубина". По-видимому, эти возвышенности
маркируют местоположение Тайвань-Синдзинской складчатой зоны.

Для материкового склона также характерен ступенчатый профиль.
В районе полигона II ступенчатость выражена наиболее выразительно.
Местами ступенчатость проявлена слабо, и материковый склон имеет
менее пологую верхнюю часть и крутое основание. Верхняя ступень
материкового склона, называемая далее краевым плато, ограничена
изобатами от 200-250 м до 500-600 м. Поверхность краевых плато
находится на глубине 270-350 м, местами на уровне 500-600 м
отмечаются узкие террасовидные площадки.

Дно трога Окинава ограничено изобатами 1000-1500 м. Краевая
часть трога, примыкающая к материковому склону, имеет в исследован-
ном районе сложное строение. Материковый склон расчленен на серию

кообразных выступов (краевых плато) и краевых впадин, ориентированных поперек простирания склона. Изобата 1000 м подчеркивает сложный "зубчатый" рисунок рельефа, а изобата 1500 м более расчлененная. В южной части трога Окинава с различной детальностью отработаны два полигона II и II-А. Первый из них ограничен параллелями $26^{\circ}10'$ - $26^{\circ}35'$ с.ш., и меридианами $124^{\circ}50'$, и $125^{\circ}34'$ в.д., второй, соответственно, $26^{\circ}50'$ - $27^{\circ}15'$ с.ш., $125^{\circ}46'$ - $126^{\circ}17'$ в.д.

4.1.2. Полигон II.

Рассматриваемый полигон отработан более детально, чем полигон II-А. В его пределах пройдено 57 галсов с густотой, обеспечивающей составление батиметрической карты масштаба I:100 000-1:200 000. Система галсов, поперечных и продольных по отношению к простиранию склона, обеспечивает надежность проведения изобат. Прокладка галсов осуществлялась РНС "Лоран". На Северо-восточном участке пройдено несколько галсов по редкой сети, позволившей составить лишь схематическую батиметрическую карту. Однако общий характер рельефа на этой карте отражен, по-видимому, правильно. В пределах полигона выделяются следующие главные элементы: краевое плато, материковый склон, дно трога Окинава. Кроме них, имеются формы рельефа второго порядка - уступы, террасовидные площадки и т.п., и формы третьего порядка - скалы, росселины, уступы и т.п.

4.1.2.1. Краевое плато занимает северную часть полигона II. Более или менее галсов пересечена лишь бровка плато (галсы 6, 7, 9, 13, 15, 34, 35). Несколько галсов пересекли плато на расстоянии 10-20 км. Граница краевого плато с шельфом не изучалась.

Поверхность плато ровная, слабо наклоненная с севера на юг (угол уклона $\approx 1^{\circ}$). В северной части полигона поверхность края плато расчлененная с многочисленными холмами и впадинами, относительные превышения холмов над впадинами 10-30 м, ширина холмов

до 200 м до 1-1,5 км. Поверхность плато здесь находится на глубине 200 м. В центральной части полигона глубины плато - 250-300 м. Далее к югу поверхность плато опускается до глубины 300-350 м. На южной окраине плато иногда отмечаются незначительные небольшие овраги, край плато осложнен глубокими расселинами (галс 30). Бровки плато с востока на запад плавно изгибаются, меняя простирание с северного через широтное на северо-западное.

Перегиб от плато к материиковому склону отчетливый. Он осуществляется на глубине в среднем 300-350 м. Поперечные профили бровки плато сложные. Лишь в северо-восточной части полигона на краю плато отмечается резкий перегиб с вогнутым профилем верхней части материикового склона (галсы 7, 13). Уклоны дна в зоне бровки достигают 3-5°.

В северной части полигона краевое плато пересекается грабено-восточным прогибом, протягивающимся с юго-запада на северо-восток. Северное окончание этого грабена находится за пределами изученного участка. Юго-западное его окончание расположено в западной части изученного участка, где дно грабена (глубина 500-600 м) сливается с узкой излучиной площадкой (ее описание приведено ниже). Рассматриваемый грабен в изученной части имеет длину около 30 км, ширину днища (ширина на восток) 5, 2 и 8 км, ширину по бровкам грабена соответственно 10, 7 и 13 км. Северные склоны грабена ограничены изобатами 250-500 м. Глубина дна грабена 500-700 м. Южный склон грабена ограничен изобатами 200-700 м. Поперечные профили грабена асимметричны. Северные склоны пологие (3-6°), южные более крутые (до 30-40°).

Дно грабена относительно выровненное. От наиболее узкой средней части грабена дно полого ($\approx 1^{\circ}$) наклонено вдоль оси грабена. В юго-западной части грабена на дне обнаружены многочисленные холмы, образующие сложный холмисто-увалистый рельеф. Величина хол-

ширина до 1-2 км, высота - первые десятки метров. Их очертания неясные, на эхолентах они изображаются в виде беспорядочной системы архипелагов. Подобного рода рельеф дна обычно трактуется, как оползни. Положение этих холмов у подножия крутых склонов грабена подтверждает это предположение.

Каждый крутой, местами обрывистый, склон имеет относительную высоту от 200 м на юго-западе до 300 м в северо-восточной части грабена. Общее простирание склона северо-восточное. Северный пологий склон грабена также осложнен небольшим (высота до 30 м) обрывом, расположенным на расстоянии около 10 км. в его юго-западной части. Появление этих склонов, приближающихся по морфологии к обрывам имеющих в общем довольно выраженную линейность, можно связывать с развитием более или менее крупных разломов, ограничивающих описанный грабен.

Северный склон грабена, кроме того, осложнен двумя мелкими глубокими расселинами, имеющими V-образный попеченный профиль. Глубина их-несколько десятков метров, ширина - первые сотни метров. Эта линейность их расселин достаточна для суждения о их происхождении. Форма. Можно предположить, что они принадлежат к небольшим трещинам типа раздвигов. Их формирование происходило одновременно с осадконакоплением. Дно этих трещин занесено современными возможно, более древними осадками.

4.1.2.2. Материковый склон в восточной части полигона II имеет субширотное, север-северо-восточное простирание, затем его профиль резко меняется на северо-западное. На западе полигона профиль материального склона еще раз меняется, становится субширотным, север-северо-западным. В общем верхняя граница материального склона (брюка краевого плато) довольно плавно изгибается с востока на запад, образуя фигуру не вполне правильного овала. Подошва ма-

склона имеет резкие очертания, приближаясь к форме не-
трапеции. Ограничениями в основании склона являются
обрывы, почти прямолинейные, вероятно, связанные
засухами.

В пределах полигона можно выделить два типа материкиового склона. В его восточной части материкиовый склон имеет простую морфологию. Он представлен здесь наклонной поверхностью, пологой в верхней части и крутой, иногда обрывистой, в основании. В западной части материкиовый склон имеет ступенчатый профиль, осложненный грабеноподобными впадинами и горстоподобными поднятиями. Характерна линейность основных структурных элементов, получившая отражение в отмеченной ранее структуре склона в целом. Первому типу материкиового склона (простой) свойственны север-северо-восточные, субширотные, восточного изгиба, и северо-западные простирания морфоструктурных элементов. Второму типу материкиового склона (сложный ступенчатый) свойственны северо-западные, широтные, северо-восточные простирания. Их сочетания придают склону сложный рисунок рельефа.

Материкиовый склон первого типа имеет более пологую верхнюю и крутые основания. С востока на запад можно отметить следующие углы склона морского дна. На крайнем востоке полигона углы склона изменяются от $5-6^{\circ}$ до $10-12^{\circ}$. Основание склона имеет уклоны от $10-15^{\circ}$ до 25° . Западнее (галсы II, 30, 40) простиранье склона становится горизонтальным. Уступ в основании склона исчезает. Здесь уклоны сверху и внизу следующие: между изобатами 350-800 м - от 7 до 10° ; между изобатами 800-1200 м - около 4° ; глубже изобаты 1200 м - $5-6^{\circ}$. Западнее (галсы 35, 26, 19, 28, 32) склон в основании вновь ограничен уступом. Здесь углы верхней части материкиового склона $4-6^{\circ}$. Углы основания склона значительно круче - в среднем 25° .

Характерным элементом материевого склона первого типа является крутое основание склона, изображенное на батиметрических картах обрыв. Во время эхолотных промеров отраженные звуковые сигналы дна моря не поступали и запись на эхоленте прерывается.

Наиболее крупные обрывы в основании склона зафиксированы на востоке и в центре полигона. Восточный уступ прослежен на расстояние более 30 км. С севера на юг вертикальная амплитуда уступа изменяется неравномерно от 700-1000 м до 300-400 м. Этот обрыв зафиксирован галсами 7, 9, 13, 15, 10, II. В месте горизонтального изгиба склона (галс 30) обрыв исчезает. Обрыв слегка изгибается, в общем сохраняя линейную ориентировку. Его простижение северо-восточное ($20-30^{\circ}$).

Второй крупный обрыв в основании склона прослежен поперечными галсами с востока на запад на расстояние около 40 км (галсы 40, 38, 35, 27, 28, 33, 21, 23, 25). Его верхняя граница с востока на запад поднимается от глубины 1500 до 600 м. Его высота изменяется от 80 м (на востоке) до 700 м (в средней части) и до 200 м (на западе). Обрыв на востоке и западе сливается со склоном.

Материевый склон второго типа отличается наличием узких террасовидных площадок на глубинах 500-600 м (галсы 25, 43, 47, 48) и 1000-1100 м. Второй уровень не очень четкий. Кроме того, этого типа материевого склона характерны впадины и гористые поднятия. Ширина террасовидной площадки на глубине 500 м изменяется от 1-2 км (галс 23) до 3-5 км (галсы 25, 43, 47, 48). Площадка почти горизонтальная, она протягивается в западной части полигона на расстояние около 25 км, повторяя общую ориентацию материевого склона. Поверхность площадки местами ровная, колмистая. Холмы имеют поперечник в сотни метров высоту до 50 м. Углубленный рельеф напоминает рельеф оползневых склонов. По некоторым галсам отмечены остроконечные выступы скальных пород,

занесенные кекурами. На уровне описываемой "террасы" галсом 47 изображена впадина неясных очертаний, вытянутая в северо-западном направлении. Максимальные глубины (820 м) отмечены в юго-восточной части впадины. Впадина замкнута, она оконтуривается изобатой 800 м. Дно впадины неровное, слабо всхолмленное. Слоны впадины имеют крутизну 5-6°.

Террасовидная площадка на уровне глубин 500-600 м имеет довольно резкую бровку и не очень четкий тыльный шов. От описанного краевого плато террасовидная площадка на уровне - 500-600 м. выделяется верхней частью склона, заключенной между изобатами 250-300 и 500-600 м. Углы верхней части склона 5°-8°. Бровка террасовидной площадки довольно четкая. Ниже бровки материковый склон пологий, нередко осложненный мелкими и крупными обрывами. Для этой части материкового склона обычны уклоны в 10-15°, возрастая местами до 25°, а в некоторых случаях (галс 48) мелкие имеются обрывы — вручную (уклоны более 45°).

В основании склона галсами 48, 49, 50, 42, 43 выявлены небольшие грабенообразная впадина, имеющая в плане трапециевидную форму. Впадина ассиметрична. Ее максимальные глубины смешены к юго-восточному борту. Ширина впадины увеличивается с юга на север от 5-6 до 7-8 км. Длина ее около 10 км, максимальная глубина 1450 м, относительная — 200-450 м.

От впадины в юго-восточном направлении протягивается горсто-известное поднятие, возвышающееся над дном трога Окинава на 150-200 м. Ширина поднятия 6-7 км, длина — 15 км. Поверхность поднятия наклонена на юго-восток под углом 2-3°. На глубине 1500 м поверхность поднятия сливается с дном трога Окинава.

Между материковым склоном и описанным поднятием располагается трогообразная впадина шириной до 10 км, дно которой слабо

ненено на юго-восток ($1-3^{\circ}$), где оно сливается с дном трога Окинава.

4.1.2.3. Дно трога Окинава изучено лишь в зоне подножия материкового склона. Поверхность дна трога Окинава ровная или либо всхолмленная, перегиб материкового склона к дну трога (стычный шов трога) происходит на глубине от 1300 до 1600-1700 м. Поверхность дна трога Окинава слегка ($2-3^{\circ}$) наклонена к осевой части трога.

4.1.3. Полигон II-A (Приложение 2).

На полигоне II-A пройдено всего 8 галсов (I-6, 58, 59), имея целью определить участок драгирования. Эти галсы не образуют никакой сети, обеспечивающей составление достаточно объективной батиметрической карты. В связи с этим для этого полигона можно сказать лишь общую характеристику рельефа.

На полигоне II-A выделяются следующие геоморфологические элементы: краевое плато, материковый склон и дно трога Окинава.

4.1.3.1. Краевое плато выявлено редкими пересечениями (галсы I-5, 6, 59). В сущности, галсы прошли в зоне бровки и по краю плато. Плато выделяется в пределах глубин 200-400 м. Его ровная поверхность имеет наклон $1-2^{\circ}$. Бровка выражена довольно отчетливо, ее поперечный профиль выпуклый, в местах вреза в краевое плато подводных долин перегиб резкий, профиль вогнутый.

4.1.3.2. Материковый склон (северный склон трога Окинава) имеет сложное строение. По всем галсам в этом районе отмечено множество крупных и мелких подводных долин, между которыми отмечается два хребта. Склоны подводных долин иногда осложнены крутыми уступами небольшой протяженности.

Наиболее крупная из долин, пересеченная галсами 4, 59 имеет протяженность более 35 км. Длина второй долины (галсы 5, 6, 58) около

км. Ширина долин достигает 5-10 км. Поперечный профиль долин ~~V~~ -образный. Продольный профиль долин, по-видимому, близок к ~~весенному~~. В верховьях долины имеют крутой ($4-5^{\circ}$) продольный профиль, в низовьях - не более 1° . Слоны долин осложнены уступами высотой до 150 м (галс 4). В пространственной ориентировке долин можно выделить два главных направления: 1) субширотное, восток-восточное и 2) юго-восточное, субмеридиональное. Возможно, на ориентировку долин оказывают влияние крупные и мелкие разломы. На некоторым пересечениям на склонах крупных долин отмечаются ~~линии~~ второго порядка. Углы склонов на участках распространения ~~водных~~ долин различны. В среднем углы склонов долин от $3-5^{\circ}$, $5-10^{\circ}$. Изредка крутизна склонов достигает $15-20^{\circ}$. Это отмечается в долинах небольших по ширине, но со значительным врезом.

Хребты, выявленные галсами I, 4, 5, 58 имеют ступенчатый продольный профиль. Если следовать от краевого плато вниз по гравитационному склону (галс I), можно выделить следующие геоморфологические зоны: I) верхнюю часть материкового склона на глубинах 350-600 м, склона до $8-10^{\circ}$, поверхность склона более или менее ровная; II) террасовая площадка шириной до 10-20 км, на глубине 600-800 м, неровная, с многочисленными холмами и уступами высотой в сотни метров, шириной до 1-1,5 км, углы наклона площадки $1-2^{\circ}$; III) нижняя часть материкового склона от глубины 900 до 1400 м, склона $5-8^{\circ}$, склон осложнен обрывами высотой до 150 м, по склону из пересечений (галс 3) обнаружен обрыв высотой 300 м, его ориентировка не установлена, в основании склона галс I пройден параллельно материковому подножию в интервале глубин 1300-1500 м; угол склона здесь 2° .

4.1.3.3. Дно трога Окинава, глубже изооаты 1500 м, по галсам 2, 3. Дно почти ровное, с углами наклона менее 1° .

4.2. Японское море

В Японском море исследованы подводная возвышенность Ямато (полигон I4-A, 28), материковый склон и шельф у побережья Приморья (полигон I0-A, II-A, I0-B), участок Восточно-Корейской возвышенности (полигон I6-B) и сделаны единичные пересечения отдельных подводных гор вулканического происхождения (полигоны 26, 27, 23 и др.).

4.2.1. Полигон I4-A. Северный хребет Ямато (Приложение 7).

Полигон разбит на юго-западном окончании Северного хребта Ямато и примыкает с юга к полигону I4, изучавшемуся в 24 рейсе нис "Первый" (1975 г.). Полигон ограничен координатами $39^{\circ}00'-39^{\circ}25'$, с.ш., $142^{\circ}59'-133^{\circ}55'$, в.д. В его пределах пройден 41 промерный галс, позволили составить батиметрическую карту масштаба 1:100.000. На полигоне выделяются: северо-западный склон, поверхность возвышенности, юго-восточный склон.

4.2.1.1. Северо-западный склон имеет ширину от 4 до 8 км, средний уклон $8-10^{\circ}$, максимальный до $25-30^{\circ}$. На севере полигона бровка склона оконтуривается изобатой 1500 м, на юге - изобатой 1700 м, вершина склона находится на глубине 2300-2500 м. На широте $39^{\circ}12'-39^{\circ}14'$ простирание склона изменяется на субширотное, а уклон возрастает до $20-25^{\circ}$. По-видимому, коленообразный изгиб склона отражает субширотный разлом.

4.2.1.2. Поверхность подводной возвышенности в пределах полигона имеет ширину на севере - 45 км, в центре - 35 км, на юге - 25 км. Максимальные глубины здесь составляют 650-700 м, преобладающие - 1000-1600 м. На полигоне выделяются: Западный и Центральный горсты, последний, расположенная в его северо-восточной части, изолированные горы и холмы вулканического происхождения и впадины.

Западный горст имеет длину 17 км, ширину 5-6 км и ограничен

стыми и обрывистыми склонами меридионального простираия высотой до 200 м. Слоны, вероятно, являются сбросами, выраженными в рельефе. Поверхность горста выровненная, с несколькими пологими террасами, обрамленными изобатами 950-1000 м, подножие горста лежит на глубине 1300-1400 м. На юге горст ограничен упомянутым субширотным разломом. К востоку от указанного горста расположены более мелкие горсты, разделенные грабенами..

Центральный горст представляет собой платообразную удлиненную возвышенность, ограниченную двумя субпараллельными разломами, видимому, типа сбросов (аз. простираия 310-330°). Предполагается падение плоскостей сместителей на северо-восток и юго-запад. Ширина Центрального горста в пределах изученной части 35 км, ширина 1-4 км. На северо-западе он уходит за пределы полигона и, возможно, имеет там свое продолжение. На юго-востоке он срезается краем восточного склона возвышенности. Горст четко выражен в рельефе своей узко-линейной формой в виде валообразных возвышенностей и крутыми уступами с относительными превышениями от 40-50 до 350 м. Максимально поднятая его часть находится на глубине 550 м, что соответствует вершине наиболее характерно выраженной валообразной возвышенности. В южной части горст обрамлен изобатой 1300 м. Юго-западный борт горста выражен в рельефе более резко в сравнении с северо-восточным. Здесь он на большей части своего протяжения подчеркивается уступами и крутыми склонами. Уклон их достигает 45-60°. Уклон северо-восточного борта до 30°. От широты 39°16' и далее к северу горст не имеет высоких борцов (за исключением одного), что можно объяснить его погружением под неоген-четвертичные осадки.

На ст. 1420, взятой с северо-восточного уступа высотою 150 м, залежи известково-мергелистые, алевролитовые и аргиллитовые

стяжения предположительно плиоценового возраста. Они, по-видимому, заполняют прогибы между горстами и кустой. Горст пересечен несколькими мелкими разломами, выраженными в рельефе в виде резких перегибов изобат и уступами субширотного и северо-восточного направления.

Куэстоподобное поднятие - морфоструктура, расположенная в восточной части полигона. Она имеет ярко выраженный уступ, ограниченный увалообразной возвышенностью с запада. Уступ прослежен = 22 км и имеет свое продолжение на север за пределами полигона (полигон I4, 24 рейс нис "Первенец"). Общее простижение уступа части северо-западное субмеридиональное (азимут 345-350°). Максимальная высота уступа 600 м (на севере), по направлению к югу она постепенно понижается до 480-520 м, на широте 39°18' она выравнивается на два ступенчатых уступа высотою 120 и 130 м. На широте 39°14' куэста ограничена субширотными уступом. Верхняя часть субширотного уступа (брюка) находится на глубине 700-800 м, подножие (перегиб) оконтуривается изобатами 1300-1400 м. Крутизна изобат изменяется от 15-20° до 50-60°. В подножии уступа куэсты параллельно ему протягивается грабеноподобная котловина, узкая (ширина до 1 км) и удлиненная. Наиболее глубокая ее часть обрамлена изобатой 1400 м, в направлении к югу она постепенно выполняется до глубины 1300-1250 м. Поверхность куэсты имеет увало-холмистый рельеф. Наиболее возвышенные ее части находятся в глубинах 700-750 м. Она пересечена несколькими субширотными изобатами (с относительной высотой 25-30 м), которые образуют ступенчатый рельеф. Уклон поверхности куэсты (1-2°) направлен на восток. В южной части куэста (близ субширотного разлома) имеется валообразное возвышение. Вершинная его часть обрамлена изобатой 700 м. В уступе куэсты обнажены (станции драгирования)

I410-I412) переслаивающиеся кварц-полевошпатовые и полимиктовые песчаники и алевролиты. В последних содержатся обрывки обуглившихся древесных остатков. Возраст аналогичных пород, поднятых на полигоне I4, по определениям спорово-пыльцевых комплексов - нижне-меловой. Нижняя часть разреза представлена грубозернистыми аркозовыми песчаниками (до гравелитов). Породы совершенно не метаморфизованы. По-видимому, они залегают на размытой поверхности гравелитов и состоят из переотложенной дресвы тех же гранитов.

Предполагается, что уступ куэсты представляет собой разлом типа сброса. Исходя из геологического строения структур полигона, можно предположить, что этот сброс является долгоживущим.

Вулканические горы представлены в рельефе в виде изолированных возвышенностей несколько удлиненной-овальной формы. Длинная ось изменяется от субмеридионального до субширотного и северо-западного направлений. Очевидно, постройки приурочены к зонам разломов, Вершины их имеют относительные превышения (относительно подножий) от 150 м до 450-500 м, в среднем 350 м.

Вулканы сложены андезитами, андезито-базальтами (лавами, изобрециями, их туфами). Самый западный из них у своего подноса на глубине 1500-1600 м имеет уступообразный обрыв высотою 200 м с падением на восток. На восточном фланге эта постройка обрамлена впадиной типа желоба (грабена) с осью северо-западного направления. Абсолютная глубина ее 1700 м, относительная (относительно подножия) 100-200 м.

Восточнее расположены еще три вулканических постройки. Самая крупная из них (диаметр 6-7 км) на глубине 1000-1200 м имеет уступы высотою до 50 м. Падение плоскостей обрывов - на запад - юго-запад. Маличие уступов придает склону ступенчатое строение. Общая крутизна склонов палеовулкана 8-9°, в местах обрывов до

5-30°. Отмечена закономерность в понижении абсолютной высоты берегов с севера на юг: 850 м, 1000 м и 1160 м. Самый маленький из вулканчиков имеет ~~два~~ уступа на глубине 1200 и 1300 м высотою 180 м, падение их на запад.

Центральная впадина расположена между западным и Центральным горстами. Она имеет в плане сложные очертания. На севере пологая впадина значительно сужается (до 5-6 км) и продолжается на север за пределы изученного района. Южнее (на широте 39°12' с.ш.) впадина расширяется до 15-17 км, а далее к югу вновь сужается, прослеживаясь между вулканическими постройками на юг. Южное окончание Центральной впадины не изучено, оно находится за пределами полигона. По-видимому, она сливается с Центральной впадиной Ямато. Минимальные глубины (1300 м) находятся в самом узком северном участке впадины. Отсюда поверхность впадины полого погружается на север и на юг. Угол наклона 1-2°. Максимальные глубины в пределах впадины отмечены на юге полигона (1700 м). Поверхность дна впадины в общем выравненная, иногда слабо волнистая, особенно у подножий окружающих ее поднятий. Ограничения нередко выражены в виде уступов, ограничивающих горсты и вулканические постройки.

Восточный грабен находится между Центральным горстом и востоком. Ограничения грабена напоминают букву К. Это связано с тем, что куэста ограничена двумя уступами, имеющими север-северо-восточное и восток-северо-восточное направление. Оба эти уступа находятся в самом узком месте восточного грабена, на широте 39°12'. Здесь ширина грабена - 3-4 км. К северу грабен расширяется до 12-15 км, уходя за пределы полигона. На юг грабен открывается в сторону Центральной впадины Ямато, будучи выраженным на склоне этой впадины в виде расширяющейся наклонной впадины. Минимальная

ширина грабена отмечена в самом узком месте (1000 м). К северу ширина увеличивается до 1400 м, к югу грабен прослеживается по изгибам изобат до глубины 1500 м. Поперечный профиль грабена асимметричен, особенно в северной части. Вдоль обрыва куэсты здесь протягивается узкий неглубокий желоб длиной более 10 км, шириной 1-2 км. К этому желобу наклонена поверхность грабена. Дно грабена выровненное, иногда слабо волнистое.

Анализ общей картины рельефа на полигоне I4-А позволяет заметить основные направления в ориентировке главных морфоструктурных элементов. Эта картина подчеркивается присутствием таких резких и выразительных форм, какими являются крупные и мелкие уступы, ограничивающие главные морфоструктуры рельефа. Вряд ли может вызывать сомнение тектоническое происхождение этих уступов. В их пространственной ориентировке можно выделить следующие преобладающие направления, характерные различным морфоструктурам:

1) меридиональные, на западе района, 2) субширотные, 3) северо-западные.

Сочетание этих тектонических форм придает рельефу южной части Северного Ямато блоковый характер. Имеющиеся здесь вулканические постройки, по типу напоминающие щитовые вулканы, по-видимому, также имеют с разломами генетическую связь.

4.2.1.3. Восточный склон подводной возвышенности северного Ямато исследован на протяжении 30 км. В рельефе дна он выражен менее отчетливо в сравнении с западным. Это наклонная плоскость шириной 5-7 км с общим северо-восточным простиранием (аз. 30-40°), с падением на юго-восток. Средний уклон 5-6°, максимальный до 20°. Бровка склона в северной половине оконтурена изобатами 1200-1300 м, в южной - изобатами 1400-1500 м. Подножие обрамлено изобатой 1900 м. Бровка и часть склона, включительно по изобате

1600 м, имеют плавный изгиб на широте $39^{\circ}08'$ - $39^{\circ}12'$, (продолжение Восточного грабена). Как и на западном склоне, этому изгибу, по-видимому, соответствует положение субширотного разлома. В основании склона в интервале глубин 1600-1700 м по двум пересечениям (галсы 36, 37) выявлен уступ крутизной до $20-25^{\circ}$. Оба галса удалены друг от друга на расстояние 23 км. Увязка рельефа между ними явовна. Однако тектоническое происхождение восточного склона Северного Ямато вряд ли может вызывать серьезные возражения.

4.2.1.4. Южная часть впадины Ямато изучена галсами 36, 37 (полигон I4-A) и I02 (полигон 28). Оба борта впадины Ямато имеют резкие ограничения. Это особенно четко зафиксировано на полигоне №, где многими галсами в основании юго-восточного склона впадины Ямато постоянно отмечались либо резкие перегибы склона, либо обрывы. Описание их будет дано ниже при характеристике полигона 28. Подобная же картина отмечена и на северо-западном борту впадины Ямато. Ориентировка северо-западного борта впадины Ямато - 30° ; юго-восточного борта - субширотное (на изученном участке). Дно впадины Ямато в пределах между полигонами I4-A и 28 выравненное. Отмечается слабая асимметрия, ось впадины слегка смещена к северо-западному борту. Уклон поверхности дна $1-3^{\circ}$, уклон вдоль осевой линии впадины на северо-восток, куда впадина расширяется. Угол склона в этом направлении менее 1° .

4.2.2. Полигон 28. Южный хребет Ямато (Приложение 8).

Общие сведения. Подводная возвышенность Южного хребта Ямато имеет в плане форму овала, длинная ось которого вытянута в северо-восточном направлении. Азимут простирания ее ^{изменяется} удлиняется от 70° на юго-западе до 55° на северо-востоке. Длина возвышенности в конусе изобат I300-I500 м 245 км, максимальная ширина 78 км. По данным геофизических исследований (Васильев, Карп, Строев, Шевалдин,

1975) земная кора Южного Ямато имеет мощность 20-23 км. В целом возвышенность Ямато является блоком земной коры субконтинентального типа. Кора котловин и впадины субокеанская, мощность в котловинах составляет 9-10 км, во впадине Ямато-около 15 км. Разница в мощностях, составляет 5-6 км. Она объясняется увеличением мощности разуплотненного "базальтового" слоя под впадиной Ямато и не полным выклиниванием здесь "промежуточного" слоя.

Полигон 28 расположен в южной котловине Южного Ямато. Его координаты: $38^{\circ}38'$, - $39^{\circ}23'$, с.ш.; $133^{\circ}38'$, - $134^{\circ}50'$, в.д.

В пределах полигона Южный хребет Ямато представляет собой платообразную возвышенность с несколькими относительно невысокими вершинами, находящимися на глубине 300-350 м. По данным геологогеоморфологических и геофизических исследований на Южном Ямато, в отличие от Северного, шире и интенсивнее была проявлена вулканическая деятельность, которая, в основном, и определила здесь формы рельефа-плато. Драгированием установлено, что вершины плато и обрамляющие их уступы сложены оазальтами и андезито-базальтами (лавами, туфоловыми и брекчийевыми лавами). Вулканизм был, по-видимому, центрально-трещинный с высоким коэффициентом взрывности (до 40-50%). Последний фактор говорит в пользу того, что извержения были в условиях мелкого моря, близких к субаэральным. Судя по уступам, расположенным на разных гипсометрических уровнях подводных склонов возвышенности, по их четкой линейности и выраженности в геофизических полях, большое значение в формировании рельефа имели разрывные нарушения сбросового типа.

Северо-западный склон возвышенности характеризуется двумя четко выраженными в рельефе элементами: подножием с крутым перегибом склона и бровкой. Подножие оконтуривается изобатами 1700-1800 м, которые иногда сливаются в уступ. Подобный уступ прослежен

в интервале $133^{\circ}49'$, $-134^{\circ}05'$, в.д. на расстоянии 20 км, высота его от 70-80 до 100 м. Склон имеет ступенчатое строение. Одна из таких наиболее крупных ступеней отмечена в интервале $133^{\circ}57'$, $-134^{\circ}03'$, на глубине 1100-1200 м, длина ее 10 км, высота уступа 100-200 м. Серия более мелких уступов высотою от 50 до 150 м и длиною 1-3 км установлена на глубинах 1200-1300 и 1000-1100 м. Крутизна склона изменяется в широких пределах. Наибольшие уклоны отмечены в юго-западной части (до 45°), в средней части полигона (до $134^{\circ}08'$, в.д.) максимальный уклон $15-30^{\circ}$, средний от 7 до 10° , минимальный $4-5^{\circ}$. В северо-восточной части полигона максимальная крутизна склона до $20-25^{\circ}$, средняя $5-7^{\circ}$. На глубинах 900-1000 м склон постепенно выполаживается и переходит в широкую бровку, которая возвышается до изобат 700-800 м. Бровка на глубине 700 м через ступенчатый уступ высотою 20-40 м сменяется поверхностью плато. В самой крайней юго-западной части полигона подножие склона обрамлено двумя прямолинейными каньонами, образующими в плане угол, близкий к прямому. Каньоны имеют ассиметричные поперечные профили. Падение крутых склонов на юго-запад и северо-восток, угол до 50° . Далее в направлении на северо-восток перегиб в подножии склона становится менее отчетливым, на глубине 1700-1900 м он переходит в пологий шлейф с выпуклой стороной, обращенной к затворине Ямато. На широте $38^{\circ}54'$, в подножии склона отмечен крутой разворот (почти под прямым углом), который, по-видимому, отражает угол пересечения двух разломов с азимутами простирания 320° и 45° . Глубокий врез субмеридионального направления отмечен на долготе $134^{\circ}05'$. Для него характерно то, что он отражен крутymi изгибами изобат на плато и совершенно не выражен в склоне возвышенности. Еще два более пологих вреза с азимутами простирания 135° имеют место на долготе $134^{\circ}12'$, и $134^{\circ}24'$.

Юго-восточный склон возвышенности исследован на полигоне
менее детально. Азимут простирания его 60° . Подножие (перегиб)
обрамлено изобатами 2300–2500 м. Бровка склона находится на глубине
600–700 м. Средняя крутизна склона 7° , максимальная $20-25^{\circ}$.
Склон пересечен несколькими короткими крутыми врезами с азимутами
простирания 320° . Два таких вреза отмечены на долготе $134^{\circ}26'$ и
 $134^{\circ}41'$; на этом же интервале склон имеет хорошо выраженную ступенчатость. Уступы высотою от 10 до 100 м выделены на глубинах
2300, 1800, 1750, 1600 и 1100 м.

В интервале между $134^{\circ}15'$ – $134^{\circ}21'$, в.д. изобаты, обрамляющие
подножье склона, имеют волнистые (мезандровидные) изгибы. Для юго-
восточного склона, как и северо-западного, характерны пологие
перечные врезы, которые ярко выражены лишь в рельефе плато.
Один из таких врезов находится на долготе $133^{\circ}57'$, азимут про-
стирания его 335° .

Плато представляет собой сглаженную увалистую поверхность
с несколькими пологими вершинами. Уклон склонов вершинок в среднем не превышает $1-2^{\circ}$, максимальный $3-5^{\circ}$, уклон плато менее 1° .
Вершины имеют изометричную либо удлиненную в субширотном направлении форму. Они, по-видимому, являются вулканическими постройками, поскольку с их склонов драгированием подняты лавы, туфовые
и брекчевые лавы андезито-базальтового состава. Ось плато имеет северо-восточное простиранье (азимут 60°) с общим погружением на юго-запад. В направлении с запада на восток:

1. Вершина ограничена изобатой 800 м, имеет овальную форму
с длинной осью субшироты субширотного простирания. Координаты её центра: $38^{\circ}54,5$ с.ш.; $133^{\circ}51,0$ в.д.

2. Небольшая вершина изометричной формы с координатами центра:
 $38^{\circ}58,5$ с.ш., $133^{\circ}55;5'$ в.д. Она оконтурена изобатой 650 м.

Северо-западнее, западнее и юго-восточнее вершинки на поверхности плато отмечено несколько уступов высотою 40-50 м. Все они имеют северо-восточные простирации, субпараллельные основному направлению оси плато.

3. В районе буя 69 (полигон 28^a) две изолированные возвышенности с вершинами на глубине 400 м, оконтурены изобатами 450 м. В каждой и юго-восточной частях отмечены уступы высотою 20-25 м, которые пространственно приходятся на сочленение бровки склона плато.

4. Возвышенность неправильной формы с длиной осью северо-западного направления (азимут 330°), обрамлена изобатой 300 м, имеющей несколько уступов: на северо-западе высотою 40 м, на востоке и юго-востоке - 15 м и на юге высотою 120 м. Возвышенность в своей южной части имеет большое количество коренных останцов (кекуров) высотою 10-20 м.

5. Небольшая возвышенность овальной формы с координатами в центре: $39^{\circ}03'$, с.ш., $134^{\circ}16'$, в.д., обрамлена изобатой 350 м. Ось её имеет субширотное простижение. В южном склоне отмечен уступ высотою 20 м.

6. В районе буя 70 (полигон 28^b) возвышенность овальной формы с северо-восточным простиражием длинной оси (азимут 45°). Привершинная ее часть оконтурена изобатой 325 м. Вся эта часть и уплощенные склоны до изобаты 425 м характеризуются большим количеством коренных останцов (кекуров и "щеток") высотою менее 5 м и 5-20 м. Склоны возвышенности имеют врезы, типа баракосов, веерообразно расходящиеся от центра до изобаты 500 м на севере. В южной части врез наблюдается лишь на изобате 325 м. Северный склон возвышенности имеет ступенчатое строение, обусловленное уступами (высотою 20-40 м) субширотного плана.

7. В районе буя 7I (полигон 28^B) возвышенность овальной формы субширотного - северо-западного направления (азимут 305°), изогнута изобатой 400 м, имеет две небольших вершинки на глубине 300 м. Северный склон вершинок крутой, имеет уступы (высотой до 10 м) субширотного простирания. Еще один уступ высотой 10-20 мложен в центре возвышенности. Вся привершинная часть уплощена, имеет большое количество коренных останцов в виде "кекуров" и "шток" высотой 5-20 м.

4.2.3. Полигон I6-Б. Восточно-Корейская возвышенность (приложение I3). Полигон I6-Б был выполнен на основании письма Главного управления навигации и океанографии Министерства обороны СССР № 708/3/382 от 2 февраля 1977 г. В письме предлагалось проверить существование отличительных глубин: 22 "ПС" ($38^{\circ}18,0'$, с.ш.; $130^{\circ}14,8'$, в.д.) и 59 "СС" ($38^{\circ}24;0'$, с.ш.; $130^{\circ}07,5'$, в.д.). Между указанными глубинами на навигационных картах показана еще одна отметка с глубиной 54 "СС". Попытки обнаружить столь небольшие глубины на Восточно-Корейской возвышенности предпринимались в 20, 1973 г.), 24 (1975 г.), и 25 (1976 г.) рейсах судна "Первенец". Во всех случаях подводные горы в указанных на картах местах найдены не были. Поиски подводных гор выполнялись с целью драгирования крутых склонов. В 1973 г. поиски гор были прекращены из-за начавшегося шторма и приближавшегося срока окончания рейса. В 1975 г. горы не были найдены. Промерными галсами был обследован северо-восточный склон Восточно-Корейской возвышенности и у ее северо-западного окончания обнаружен протяженный обрыв северо-восточного простирания. Вдоль этого обрыва был разбит полигон I5, а обрыв изучался драгированием.

В 1976 г. район, указанный на картах отличительных глубин, снова подвергся обследованию, но подводные горы найдены не были.

другой склон, переходящий в обрыв, был обнаружен севернее на отрезке между параллелями $38^{\circ}28'$, $-38^{\circ}34'$. Здесь был разбит полигон 16-Б, а обрыв изучался драгированием.

В 1977 г. в районе отметки 59 "СС" был установлен буй 72 и пройдено 8 промерных галсов, привязанных к бую с помощью РЛС "Дон". Расстояние между галсами колебалось от 1 до 2,5 км в среднем около 2 км.

В районе полигона 16-Б Восточно-Корейская возвышенность представляет собой слабо волнистое плато, полого наклоненное на восток. Угол наклона плато $2-3^{\circ}$, минимальная глубина в западной части полигона 650 м, у меридиана $38^{\circ}18'$ - возрастает до 1000 м. В районе отметки 59 "СС" глубина около 825 м.

Бровка плато лежит на глубине 1000 м, Восточный склон возвышенности в интервале глубин 1000-2000 м имеет крутизну $10-12^{\circ}$. В интервале 1600-1700 м уклон возрастает до 25° . Ниже изобаты 2000 м склон переходит в днище глубоководной впадины. Здесь дно плоское, очень полого ($2-3^{\circ}$) наклоненное на восток. На участке, где показана отметка 22 "ПС", дно находится на глубине около 2050 м. Такую большую глубину буй поставить не было возможности. Поэтому здесь было пройдено 5 промерных галсов (9-13) с привязкой по РЛС "Форан". Однако прохождение радиоволны после 23 часов было неудовлетворительное, что обусловило низкую точность определения места установки. Поэтому увязку галсов выполнил И.И.Берсенев путем сопоставления отметок глубин в точках пересечения галсов. В результате установлено, что указанных на картах отличительных глубин не существует. В районе отметки 54 "СС" глубина до дна 1400 м, в районе отметки 22 "ПС" - около 2050 м.

4.2.4. Полигон 10-А. Шельф и материковый склон Приморья (приложение 14). Полигон 10-А находится южнее зал. Ольга. Изученный район наращивает к северу площадь полигона 10, изученного

занее в 15 рейсе мис "Первенец" (И.И.Берсенев и др., 1974). Географические координаты полигона 10-А: $43^{\circ}23'$, $-135^{\circ}13'$, с.ш., $43^{\circ}32'$, $-135^{\circ}28'$, в.д.

Полигон охватывает краевую часть шельфа, расчлененную глубже изобаты 100 м, и материковый склон. В свое время у берегов Приморья выделялось два типа материкового склона - не расчлененный и сильно расчлененный подводными долинами (И.И.Берсенев и др., 1974). В пределах полигона 10-А имеется край материкового склона, слабо расчлененного подводными долинами (к югу от буев 73, 76) и южная система подводных долин, глубоко^{брюза}енных в верхнюю часть материкового склона и край шельфа.

Таким образом, главными морфологическими элементами морского дна на полигоне являются: краевая зона шельфа и материковый склон двух подтипов (нерасчлененный и расчлененный подводными долинами).

4.2.4.1. Шельф изученного полигона типичен для Центрального Приморья. Если следовать от берега, в его строении намечается вполне определенная зональность, отвечающая зональности строения чехла и фундамента этой зоны. Вблизи побережья выделяется прибрежная абразионно-аккумулятивная зона, далее - денудационно-аккумулятивная на краю шельфа, глубже изобат 90-100 м, краевая аккумулятивная зона.

На полигоне 10-А исследованиями охвачена лишь краевая зона шельфа, имеющая следующие морфологические и морфометрические особенности.

Поверхность шельфа ровная, почти горизонтальная, слабо наклонная в сторону глубоководной котловины (уклоны 20-45°). Судя по простиранию изобаты 100 м, на этом участке отсутствуют реликтовые речные долины, свойственные прибрежной и средней зонам шельфа. Простирание изобаты северо-восточное $50-60^{\circ}$, совпадает с общим

стирием шельфа Центрального Приморья. Бровка шельфа находит-
ся на разных глубинах. На юго-западе полигона Ю-А, где шельф при-
легает к нерасчлененному материковому склону, бровка шельфа сов-
падает с изобатой 135 м. На этом участке фиксируется четкий пере-
гиб склона на границе шельфа, выраженный в виде сближения изобат
135-150 м. Ниже изобаты 150 м склон полого погружается под углом
 $2-2^{\circ}$. Отмеченный перегиб имеет уклон $2-3^{\circ}$. Простирание бровки
шельфа на этом участке СВ $40-50^{\circ}$. К северу от буя 73 бровка шельфа
менее отчетлива. Ее простирание становится почти меридиональным.
Более западнее буя 74, где отмечается сильный врез подводными доли-
нами, бровка шельфа становится волнистой в плане, глубина бровки
менее 125 м (но более 100 м). К востоку от буя 74 край шельфа
становится неровным, общее простирание бровки шельфа здесь СВ $60-70^{\circ}$.
В общем на участке между буями 73, 74 и далее на восток бровка
шельфа образует несимметричную дугу, своей выпуклой частью вдаю-
щаяся в край шельфа. Эта дуга отвечает общему врезу системы под-
водных долин на материковом склоне. На этом участке вблизи бровки
поверхность шельфа неровная, расчлененная на пологие увалы и лож-
ины. Материковый склон сразу после бровки шельфа крутой (до $10-$
 20°).

4.2.4.2. Материковый склон полигона Ю-А, как уже отмечалось
ранее, может быть отнесен к двум разновидностям. Во-первых, это
морфологически простой, слабо расчлененный материковый склон,
поверхность которого полого спускается в сторону Центральной кот-
ловины. Во-вторых, - материковый склон, сильно расчлененный гус-
кой сетью, глубоких подводных долин.

Нерасчлененный материковый склон занимает, примерно, четвер-
ть часть площади полигона, на его южной окраине (южнее буев 73,
76). На этом участке, глубже изобаты 150 м, поверхность морского

вначале плавно, а затем более круто погружается в сторону Центральной котловины. Анализ уклонов морского дна наметить некоторые общие закономерности в изменениях наклона поверхности дна. Прежде всего, общий поперечный профиль через этот участок имеет такую ступенчатость; выраженную в перегибах склона. Между изобатами 150-250 м уклон $1-2^{\circ}$, затем до глубины 300 м отмечается площадь с уклоном $30-45^{\circ}$. Еще далее с увеличением глубины, постепенно увеличиваются уклоны с $2-3^{\circ}$ до $6-8^{\circ}$ и даже до $10-11^{\circ}$. На глубине 700 м картина вновь меняется. На небольшом хребтике, протягивающемся на восток от буя 76 в интервале глубин 700-1000 м, уклоны вновь уменьшаются ($2-4^{\circ}$), а южнее эта тенденция выражена слабее (уклоны $5-8^{\circ}$). Глубже 1000 м уклоны вновь увеличиваются до $10-14^{\circ}$, местами возможны еще более крутые уступы (до $30-40^{\circ}$). Таким образом, на этом участке материкового склона, если следовать вглубь изобаты 150 м, можно выделить две слабо наклоненные поверхности, разделенные от шельфа и друг от друга слабыми перегибами склона. Ширина выполненных террасовидных поверхностей: верхней - до 15 км, нижней 15-20 км. В целом поперечный профиль через материковый склон этой разновидности выпуклый (точнее, выпукло-ступенчатый) с постепенным увеличением уклонов морского дна по мере возрастания глубин.

С изменением уклонов и глубин изменяется и характер поверхности дна. В интервале глубин 150-300 м (первый перегиб склона и первая террасовидная поверхность) дно выровненное. Глубже дно моря неровное. На эхограммах отмечается большое количество промоин и мелких подводных долинок глубиной в первые десятки метров, шириной I-2 км, с U и V-образным поперечным профилем. Они образуют систему субпараллельных долин (если увязка тальвегов долин при построении биметрической карты правильна). Борта некоторых мелких долинок имеют крутые уступы (более 45°). Увалы, разделяющие эти мелкие

ны, не имеют резких очертаний. В общем подобный тип рельефа ~~изменения~~ напоминает систему оврагов, балок, ложбин стадий ранней ~~изменности~~, развивающихся на участках с большой мощностью рыхлых и ~~бесцементированных~~ пород.

Можно предположить, что материковый склон описываемой разности в верхней своей части, до глубин 300-400 м, сохранил ~~черты~~ своего первичного строения. Нижняя его часть уже начала подвергаться процессу подводной эрозии, которая находится в начальной ~~стадии~~ стадии.

Участок полигона с сильно расчлененным материковым склоном имеет весьма сложный рисунок рельефа, большую контрастность в переходах глубин, и уклонов поверхности дна, резкие изменения в ориентировке тальвегов долин и т.д. На составленной батиметрической карте выделены лишь наиболее крупные, хорошо увязывающиеся между собой формы рельефа. Мелкие детали рельефа на этой карте выделены в значительной долей условности, т.к. уловить закономерности в распределении и ориентировке этих мелких форм весьма сложно, при этом уровне техники, которой мы располагаем. Тем не менее, наиболее ясные черты геоморфологии морского дна на этом участке выступают достаточно отчетливо.

Выявленные на полигоне Ю-А подводные долины образуют единую систему, имеющую в плане дендритовидный рисунок. По аналогии с подобными системами долин суши здесь также можно выделить основную долину, имеющую наибольшие глубины (от 1100 до 2100 м). С этой долиной на разных батиметрических уровнях сливаются многочисленные долины второго порядка.

В ориентировке главной и второстепенных долин отмечаются следующие характерные направления. Главная долина в низовьях (между изобатами 1500-2100 м) имеет восток-юго-восточное направление

тальвега (ВЮВ 110-120°). В верховьях, выше изобаты 1500 м, ее тальвег имеет субширотное направление, точнее восток-северо-восточное - 80°.

Второстепенные долины различны по ориентировке. Долины, впадающие в главную долину с юга, имеют преимущественно северо-восточное направление (40-60°).

Долины, сливающиеся с главной долиной в верховьях, расходятся звенообразно. Их направление меняется от северо-восточных до юго-восточных.

Ориентировка долин, впадающих в главную долину с севера, имеет в общем весьма устойчивое направление (юг-юго-восточное направление, 160-170°). Но кроме того, здесь отмечаются и восток-юго-восточные, и меридиональные простирации тальвегов долин.

Некоторые направления тальвегов являются общими для правого и левого борта главной долины. Это юг-юго-восточные, субширотные, северо-восточные направления долин.

Существенно изменяются другие параметры, характеризующие морфологические и морфометрические особенности долин (длина, ширина, характер поперечного и продольного профиля, уклоны тальвега и склонов и пр.).

Главная долина имеет довольно узкое днище в верховьях (выше изобаты 1500 м), ширина дна долины - до 1 км, поперечный профиль долины U-образный, местами приближающийся к трапециевидному. Ниже изобаты 1500 м дно главной долины резко расширяется ^{до} 3-4 км, затем трапециевидный сужается до 1-2 км. Поперечный профиль трещиновидный, U-образный. Продольный профиль главной долины (глубже изобаты 1100 м) слабо ступенчатый. Углы наклона тальвега долины по интервалам глубин следующие: 1200-1300 м - 4°; 1300-1400 м - 10°; 1400-1700 м - 2-8°; 1700-1800 м - 14°; 1900-2100 м - 3-6°. Поперечные профили главной долины асимметричны с увеличением уклонов по мере приближения к

ицу долины. В верховьях долины южные склоны имеют уклоны в среднем $12-15^{\circ}$, у подножия - до 35° ; северные склоны круче, в среднем $20-25^{\circ}$, до $35-40^{\circ}$, местами еще круче. В низовьях картина иная. Северные склоны между изобатами 1000-1500 м - $20-45^{\circ}$, ниже по склону - $15-25^{\circ}$, у подножия - $9-15^{\circ}$. Южные склоны в среднем более крутые, здесь отмечаются уклоны выше 35° , доходящие до $50-60^{\circ}$.

Среди подводных долин второго порядка можно выделить три разновидности, отличающиеся друг от друга по морфологии и морфометрии. По аналогии с более южными районами материкового склона (Ю.С.Липкин, И.И.Берсенев, 1974) можно выделить две разновидности долин с невыработанными и одну разновидность с относительно выработанными продольными профилями.

Мелкие долины с невыработанными продольными профилями характерны для южного склона главной долины. Долины этого участка обладают ступенчатостью продольного профиля. В верховьях крутизна тальвега достигает $30-35^{\circ}$, чаще - $15-17^{\circ}$. Затем в интервале глубин 600-900, иногда до 1100, уклоны тальвега уменьшаются $3-4^{\circ}$ и $5-6^{\circ}$. Глубже вновь намечается перегиб тальвега с уклонами до $15-20^{\circ}$. На глубине 1300-1500 вновь отмечается выполнование, уклоны тальвега $3-7^{\circ}$. И, наконец, в интервале глубин 1300-1500 м, наиболее крупные из описываемых долин, вновь становятся крутыми (уклоны тальвега иногда доходят до $30-40^{\circ}$). Мелкие долины на этом участке склонов нередко вообще исчезают. Такой характер продольных профилей долин наиболее типичен для тех участков материкового склона, где из-под покрова относительно рыхлых неогеновых отложений выступают плотные породы фундамента. На полигоне 10-А породы фундамента были подняты драгированием именно в месте распространения описываемой разновидности долин. Из других параметров долин этого типа необ-

ходимо отметить следующие. Их длина достигает 10-25 км, ширина от 0.5 до 1-2 км, поперечный профиль чаще всего V-образный, редко U-образный. Углы наклона склонов доходят до 30-40° и даже 50°.

Вторая разновидность небольших долин с невыработанным профилем отмечена в верховьях главной долины. Продольный профиль долин этой разновидности выпуклый. Тальвеги в верховьях этих долин относительно пологие (7-10°), глубже 500 м уклоны тальвега - 30-35°, в приустьевой части вновь тальвег выполаживается (10-15°), сливаясь с дном главной долины. Ширина долин описываемой разновидности менее 1 км, длина - до 10 км, поперечный профиль U- и V-образный.

Разновидность долин с относительно выработанным профилем отмечена в северной части района. Большинство долин второго порядка имеют в общем более крутые уклоны тальвега в верховьях (от 10-12° до 20-30°) и постепенно выполаживаются к устью долин, где уклоны преимущественно 45°, до 7-8°. Ширина долин этой разновидности 1-2 км, углы склонов довольно крутые (30-35°, до 50-60°). Поперечный профиль таких долин U-образный, местами приближающийся к трапециевидному. Долины симметричны.

Водоразделы между долинами второго порядка обычно имеют спокойные очертания, выпуклый профиль. Иногда отмечаются и довольно резкие хребтики, почти с островершинным гребнем. Продольные профили вдоль осевых линий водоразделов слабо ступенчаты. В диапазоне глубин от 200 до 1000 м гребень водораздела в общем полого, иногда слабо ступенчато погружается с углами 5-12°. Глубже нередко крутизна вершинной поверхности резко возрастает, уклоны 20-25° обычны, иногда до 40-50°.

4.2.5. Полигон IO-B (приложение I6). Полигон занимает небольшую площадь на шельфе к северу от полигона IO-A. На полигоне пройдено 13 промерных галсов, большинство из которых привязано к буйам, в северной части полигона галсы привязаны к береговым ориентирам. Минимальная глубина на полигоне 85 м, максимальная 120 м. Базовая поверхность шельфа осложнена пологой ложбиной, расположенной к югу от буя 77. Относительная глубина ложбины 5 м. Уклон дна в пределах глубин 85-100 м колеблется от 10° до 30°, от глубины 100 до 120 м возрастает от 20 до 40°.

4.2.6. Полигон II-A (приложение I5). Полигон II-A охватывает северную часть полигона II, изученного в 1973 г. в 20 рейсе судна "Первенец". Более густая сеть промерных галсов, пройденных на полигоне II-A, позволила составить детальную батиметрическую карту участка, охватывающего край шельфа и верхнюю часть материкового склона, изрезанного весьма густой сетью небольших подводных долин. Все они представляют собой верховье системы подводных долин, образующих дендритовидную сеть долин, сливающихся глубже изобаты 1000 м в две крупные подводные долины, а еще глубже (на изобате 1500 м) - в одну долину.

По своим геоморфологическим особенностям рельеф дна полигона II-A весьма похож на то, что было выявлено на описанном выше полигоне IO-A.

Основными элементами рельефа дна полигона II-A, как уже упомянуто выше, являются, во-первых, краевая часть шельфа, во-вторых, верхняя часть материкового склона.

Поверхность шельфа ровная, почти горизонтальная (уклон до 30°). Бровка совпадает с изобатой 135 м. Контур бровки слабо, волнисто изгибаётся, что свидетельствует о незначительном врезе в край шельфа подводных долин. Общее простиранье бровки шельфа

зверо-восточное.

Материковый склон относится к типу расчлененных. В пределах полигона материковый склон изучен по простиранию на 20 км. На этом расстоянии зафиксировано 21 подводная долина примерно одинакового размера. Их ориентировка изменяется от юго-восточных на западе полигона, через меридиональные к юг-юго-западным в восточной части полигона. Если продолжить к югу линии тальвегов подводных долин, то заметить, что долины веерообразно расходятся от единого центра, которым, судя по ранее полученным данным, является подводная впадина на глубине 1800 м.

Слоны подводных долин в пределах полигона круты (до 45° и более), попечный профиль их чаще всего V-образный, в верховьях, U-образный ниже по склону. Ширина долин на изученной акватории колеблется первыми сотнями метров до 1-2 км. Глубже вреза относительно вершинной поверхности от 200-300 м до 500-600 м. Продольный профиль по тальвегу долин вогнутый. В среднем уклоны долин от $5-6^{\circ}$ до 20° .

Размыт верхний склон продолжается и в настоящее время, благодаря драгированию верхней подводной долины удалось поднять верховья разреза. Водораздельные хребтики, расположенные крупными долинами погружаются более полого, чем тальвеги. Их средние уклоны $3-5^{\circ}$. Возможно, они являются реликтами более высокой поверхности, существовавшей здесь до стадии активной подводной эрозии.

4.2.7. Профиль от бух. Евстафия до бровки шельфа (приложение)

Профиль пройден попутно с отбором проб прямоточными трубками (1557-1566). Минимальная глубина по профилю 45 м, максимальная 150 м. На профиле выявился ступенчатый (террасированный) рельеф

шельфа. До глубины 52 м уклон дна менее 10 минут. У ст. I558 отмечен более крутой участок или уступ высотой 2 м, бровка которого расположена на глубине 52 м. Между изобатами 55–65 м уклон дна составляет 12°. Далее шельф имеет горизонтальную поверхность при глубине 65 м. У ст. I560 установлен второй уступ высотой около 3 м, с бровкой на глубине 72 м. В интервале глубин 75–90 м уклон шельфа составляет 12–15°.

Близ ст. I561 отмечен третий уступ с бровкой на глубине 92 м высотой около 4 м. Ниже уступа уклон дна не превышает 10° при предыдущем около 5°. У ст. I565 расположен самый крупный уступ. Бровка находится на глубине 118 м, а подошва – на 180 м. Таким образом высота уступа достигает 60 м. Этот участок существенно отличается от смежных районов, где наиболее хорошо выраженный переход от шельфа к материковому склону расположен на глубине 135 м.

5. РЕЗУЛЬТАТЫ ГЕОЛОГИЧЕСКИХ ИССЛЕДОВАНИЙ

На обследованной акватории Японского и Восточно-Китайского морей геологические исследования проводились путем драгирования, избора проб прямоточными трубками и черпаками на шельфе, материковом склоне и подводных возвышенностях.

В результате этих работ были установлены осадочные породы кембрийского и кайнозойского возраста, метаморфические образования предположительно до кембрийского возраста, интрузивные и вулканогенные породы позднепалеозойского и палеоген-неогенового возраста.

Ниже приведена краткая геологическая характеристика этих пород в пределах отдельных полигонов.

5.1. Восточно-Китайское море

5.1.1. В центральной части Восточно-Китайского моря, в нижней части западного склона трога Окинава расположена возвышенность сложенная метаморфическими породами.

Эта возвышенность пересечена только одним промерным галсом северо-западного направления. Ширина ее нижней части по изобате 15 м (изобата дна трога Окинава на этом участке) составляет около 15 м, а верхний - порядка 6,0 км. Возвышенность с северо-запада и северо-востока ограничена очень крутыми почти отвесными склонами, ширне на глубине порядка 300 м, переходят в пологую поверхность, оканчивающуюся в средней ее части на глубине 140 м острой гравийной.

По геологическому положению эта возвышенность, вероятно, представляет собой горст ограниченный разломами северо-восточного стирия.

Драгирование было проведено в верхней части северо-западного угла на двух станциях на глубине 350 и 400 м, и в верхней части возвышенности. На двух первых станциях (I400, I401) были взяты глыбы размером от 70 x 30 x 15 см до 20 x 15 x 5 см и многочисленные более мелкие обломки оторванные от коренного склона, а на станции I399 - плохо окатанные гальки и валун, метаморфических пород аналогичных поднятым на станциях I400-I401.

Большое количество поднятого материала, разнообразие пород, различная глубина отбора пород и местоположение станций драгирования позволяют составить схематический разрез изученной части толщи.

Нижняя ее часть (станция I400, глубина 400 м) сложена биотит-амфибол-полевошпатовыми гнейсами с прослойями амфиболитов с редкими тонкими по слойными инъекциями гранитов.

Биотит-амфибол-полевошпатовые гнейсы серые с зеленоватым оттенком, среднекристаллические породы, состоящие из биотита в количестве до 30%, чешуйки которого располагаются плоско паралельно, создавая гнейсовидную текстуру породы; амфибала в виде шестоватых мелких кристаллов, количество которого колеблется от 15 до 40% и полевого шпата - 30-50%, который иногда образует порфиробласти

иной до 3 мм. В этих гнейсах присутствует гранит, кристаллы которого диаметром 1-2 мм распределены очень неравномерно от редких единичных зерен до скоплений составляющих 1-2% объема породы.

Амфиболиты темно-зеленые мелко- или среднекристаллические породы состоящие из шестоватых кристаллов амфибала ориентированных нормально, создавая гнейсовую текстуру породы, полевого шпата в количестве до 30% и небольшой примеси биотита. Контакт амфибала с гнейсом, наблюдавшийся в одном образце, имеет четкий ровный характер.

Граниты образуют мало мощные (2-5 см) послойные жилы в гнейсах и представляют собой среднекристаллические биотитовые породы с гнейсовой текстурой, состоящие из кварца и полевого шпата примерно в равных количествах и скоплений чешуек биотита, распределенных весьма неравномерно, количество которых увеличивается от центральной лейкократовой части к более меланократовым краевым участкам жилы. В эндоконтактовых участках гранитных жил во вмещающих гнейсах происходит перекристаллизация биотита гнейсов с появлением более крупных его чешуек и скоплений зерен гранита.

Выше по разрезу с глубины 350 м (станция I40I) были подняты биотитовые сланцы, представляющие собой среднекристаллические породы серого цвета с отчетливой сланцеватостью, состоящие из биотита в количестве 50-70% и полевого шпата (возможно кварца) в виде мелких (до 1,5 мм) округлых зерен. В отдельных глыбах наблюдаются единичные мелкие (до 0,5 мм) зерна розового гранита.

Наряду с биотитовыми сланцами в резко подчененном количестве были подняты биотит-мусковитовые сланцы (возможно это мусковитизированные биотитовые сланцы), представляющие собой породы светло-серого цвета сложенные биотитом и мусковитом, причем количество последнего изменяется в широком диапазоне от 15 до 50% за счет

уменьшения количества биотита.

Кроме того, на этой станции отмечается единичный обломок кварц-мусковитового сланца, в котором преобладает кварц, а мусковит содержится в количестве 20-30% и располагается по плоскостям сланцеватости породы, придавая ей шелковистый блеск.

Биотитовые сланцы инъектированы жилами кварца мощностью 1,5-3 см, расположеными согласно с кристаллизационной сланцеватостью вмещающих пород.

По набору пород, их взаимоотношению и составу изученная толщина сходная с низами тургеневской свиты среднепротерозойского возраста Ханкайского массива Приморья, формирование пород которой происходило в условиях амфиболитовой фации регионального метаморфизма.

Наличие метаморфических пород предположительно докембрийского возраста в пределах трога Окинава на удалении от берегов Корейского полуострова и Китая примерно на 550-600 км может свидетельствовать о продолжении докембрийских структур Китайской платформы до материкового склона (до окончания щельфа) Восточно-Китайского моря и заложения трога Окинава на коре континентального типа.

5.1.2. Палеогеновые (?) отложения

К палеогену предположительно отнесены породы, обнаруженные на склоне небольшой подводной возвышенности в северо-восточной части трога Окинава на ст. 1398 (600-650).^{*} Здесь драгой подняты песчаники довольно интенсивно лицифицированные, представленные двумя разностями: I. Песчаники светло-серые, тонкостенные, слюдистые, слабо известковистые, массивные, с плохо

* Здесь и далее в скобках после номера станции указано драгирования в метрах.

выраженной плитчатой отдельностью. 2. Песчаники зелено-вато-серые, мелкозернистые, слюдистые, массивные. Обе разности подняты в угловатых обломках, имеющих 5-25 см в поперечнике.

5.1.3. Неоген-плейстоценовые отложения

Рассматриваемые отложения в Восточно-Китайском море были подняты на полигоне II и со склонов двух небольших возвышенностей в северо-восточной части трога Окинава.

Предварительный морфоструктурный анализ (см. раздел 4) позволяет выделить на полигоне II ряд выраженных в рельефе крупных разрывных нарушений (или серий сближенных разломов). Четко выделяются две системы разломов, имеющих северо-восточное и северо-западное простирания. Разломы первой системы по мнению И.И.Берсенева (1975) в большинстве случаев представляют собой раздвиги, а второй поперечной системы - сдвиги и сбросо-сдвиги. В пределах рассматриваемого полигона разломы ограничивают ряд блоков, испытавших сложные относительные перемещения по вертикали. Амплитуда этих смещений, судя по высоте приразломных обрывов, колеблется в пределах 30-1000 м.

Основная масса станций драгирования приурочена к южной части одного из таких блоков, расположенных в юго-западной части полигона. Несколько драгирований было выполнено севернее, в пределах относительно приподнятого блока. Драгами были подняты различные осадочные породы, которые предварительно группируются в три комплекса. Первый из них, образующий толщу в основании изученной части разреза, предположительно относится к верхнему миоцену-плиоцену. Второй и третий комплексы, залегающие по разрезу выше, вероятно одновозрастны, представляют собой фации разных глубин бассейна осадконакопления и предположительно датируются нами плиоценом-плейстоценом. Общая мощность, неоген -

четвертичных отложений в исследуемой части Восточно-Китайского моря по данным К.О.Эмери и соавторов (*Emery K.O. et al. 1969*) достигает 2,5 км, мощность изученной нами части разреза 500-900 м вряд ли превышает 1000 м (мощность нами оценивалась исходя из предположения о горизонтальном или близком к нему залегании слоев). Таким образом, на полигоне II изучена только верхняя треть разреза неоген-плейстоценовых отложений. Ниже приводится более подробное описание выделенных комплексов пород.

5.1.3.1. Верхний миоцен-плиоцен (?) на полигоне II представ-лен толщей алевролитов серых и зеленовато-серых, в выветренном состоянии буровато-серых и зеленовато-бурых, часто песчанистых, массивных, редко слоистых. Слоистость обусловлена присутствием редких маломощных (доли миллиметра) прослоев песчанистого алевро-лита, по которым интенсивно развиваются гидроокислы железа и по которым породы распадаются на плитки толщиной 2-4 см. Алевролиты пронизаны многочисленными (от 3-5% до 40% общего объема породы) щадами землероющих организмов (червей-илоедов ?), обычно заполненных слабо диагенезированными алевритами, реже - щады округлые, от первых миллиметров до 3-4 см диаметром. Относительная их ориентировка беспорядочная. Описанные алевролиты были подняты на станциях I368, (1100-950), I369 (850-800) и I372 (950-850), причем на станции I368 они представлены остроугольными обломками до 25 см в поперечнике с четко выраженными поверх-ностями отрыва от коренных выходов.

На ст. I368 был поднят остроугольный обломок светло-серого, в выветренном состоянии буроватого известняка, состоящего из обломков раковин, мшанок, кораллов и т.п., скементированных тонкозернистым карбонатом, количества которого составляет около 10% общего объема породы. Предполагается, что эти известняки

образуют линзы и невыдержаные по простиранию прослои среди алевролитов.

Мощность изученной части разреза миоцен-плиоценовых отложений на полигоне II измеряется первыми сотнями метров и, вероятно, не превышает 400 м.

5.1.3.2. Плиоцен-четвертичные отложения нерасчлененные.

Предположительно плиоцен-четвертичные отложения были изучены главным образом в пределах полигона II. Близкие по составу и возрасту отложения были подняты на нескольких станциях в северо-восточной части Восточно-Китайского моря.

На полигоне II плиоцен-плейстоценовые (?) отложения в интервале глубин 800-900 м довольно четко подразделяются на две толщи. Нижняя толща залегает, вероятно, на различной поверхности миоцен-плиоценовых отложений с базальными конгломератами в основании. Кроме последних в составе толщи принимают участие разнозернистые песчаники и известняки.

Конгломераты бурые, преимущественно среднегалечные. Гальки изометричные или слегка вытянутые, хорошо окатанные. Преобладают гальки в 3-5 см в поперечнике, реже отмечаются более крупные (до 10 см). Состав гальки довольно разнообразный (песчаники, известняки, андезиты, дациты). Заполнитель составляет приблизительно 20-50% общего объема породы и образован разнозернистым плохо сортированным обычно известковистым песчаником с примесью гравия.

Песчаники желтовато-бурые, массивные, разнозернистые, плохо сортированные, обычно гравелистые, иногда с единичной мелкой (до 3 см) хорошо окатанной галькой, с известковистым цементом, с редкими обломками раковин тонкостенных двусторон. Гравийно-галечный материал составляет в отдельных обломках до

общего объема породы.

Известняки зелено-вато-серые и зелено-вато-бурые, на свежем
виде серые, (но более темные, чем известняки из миоцен-плиоценовых
отложений), состоят из обломков раковин (до 2 см в поперечнике), а также целых раковин тонкостенных двустворок и гастропод,
цементированных тонко зернистым карбонатом с примесью песчано-
зинистого материала. Количественные отношения крупнообломочной
фракции и цемента примерно равные. Текстура известняков нечеткая
чистая, обусловленная субпараллельной ориентировкой раковин и
обломков.

Судя по соотношению обломков в драгах, в составе описанной
толщи преобладают песчаники. Конгломераты отмечаются преимущественно
в нижней части толщи, а известняки - в верхней. Песчаники
на станции I375 (800-700) и известняки на ст. I376 (750-650) бы-
ли оторваны от коренных выходов. Предполагается, что известняки
образуют линзы и невыдержаные по мощности прослои.

Мощность нижней толщи плиоцен-четвертичных отложений, веро-
ятно, не превышает 200 м.

Верхняя толща залегает на нижней с постепенным переходом,
что подтверждается наличием в зоне контакта песчаников, занимаю-
щих по разным характеристикам промежуточное положение между одно-
ими породами из обеих толщ. В составе верхней толщи преоб-
ладают песчаники буровато-серые, в выветренном состоянии бурые
и зелено-вато-бурые, мелко- и среднезернистые, массивные, иногда
чутько плитчатые, сравнительно с песчаниками из подстилающей толщи
лучше отсортированные, с редкими обломками тонкостенных раковин,
значительно известковистые (на отдельных участках переходящие в пес-
чанистые известняки).

Преимущественно в верхней части рассматриваемой толщи ши-

жим распространением пользуются известняки серые, в выветренном состоянии буровато-серые, обычно со значительной примесью песчано-глинистого материала, с обломками раковин двустворок и моллюсков, с многочисленными разномерными (до 5 см в поперечнике) ходами илоедов, заполненными серым пелитоморфным массивным известником, более крепким, чем вмещающая порода. Благодаря последнему обстоятельству, в драгах часто отмечаются окаменевшие от препаратированные выполнения ходов илоедов, иногда имеющих причудливую "ветвистую" форму. Приведенные данные позволяют предположить, что описанные песчано-глинистые известняки образовались в процессе литификации известковистых илов, и, таким образом, вероятно, образуют в рассматриваемой толще выдержаные по прослойанию прослои.

Мощность верхней толщи плиоцен-плейстоценовых отложений измеряется первыми сотнями метров и вероятно, не превышает 300 м.

На глубинах более 1000 м плиоцен-плейстоценовые отложения представлены монотонной толщей слабо литифицированных алевритов, залегающих согласно и с постепенным переходом на алевролитах плиоцен-плиоценового возраста. Постепенный переход между указанными толщами подтверждается наличием в зоне их контакта переходных по составу и степени литификации пород. Слагающие толщу алевролиты зеленовато-серые и буровато-серые, массивные, редко с едва заметной тонкой слоистостью, с многочисленными беспорядочно ориентированными ходами илоедов.

В зоне контакта с верхней толщей совместно с описанными алевролитами драгами поднимались песчаники и известники, характерные для верхней толщи, что, вероятно, указывает на их тесную возрастную связь. Предполагается, что по крайней мере частично, эти толщи являются фациальными аналогами. Тем не менее не исключено

щется, что при дальнейших исследованиях будет установлена их разновозрастность, и толща слабо диагенезированных алевролитов в стратиграфической колонке займёт промежуточное положение между вышеописанными миоцен-плиоценовыми (?) отложениями и толщей песчаников, конгломератов и известняков.

5.1.3.3. Предположительно плиоцен-четвертичные отложения были подняты со склонов небольших подводных возвышенностей в северо-восточной части Восточно-Китайского моря на ст. I398 (600-650), I399 (170-190) и I400 (400-550). На первой из них заряду с глыбами вышеописанных палеогеновых (?) песчаников встречено несколько обломков слабо литифицированных алевролитов бурых, массивных, с многочисленными разномерными ходами илоедов.

На станции I399 к одновозрастным отложениям отнесены: 1) известняки органогенные, серые, в выветренном состоянии бурые, но здреватые, с обломками раковин; 2) туфопесчаники (?) светло-серые, мелкозернистые, массивные, слабо литифицированные (легко разламываются руками).

5.1.4. Четвертичные отложения

Четвертичные отложения опробовались на восьми станциях в интервале глубин от 275 до 890 м при помощи прямоточных гравитационных трубок. Станции, взятые в верхней, более пологой части склона, на глубинах меньше 400 м, не дали результата. Дно здесь, предположительно, покрыто песком с гравием, т.к. все пять безрезультатных станций были на дне — измяты "лимончики"; а на ст. I395 (глубина 280 м) поднята гравелина бурого известняка.

У перегиба склона с глубины 470 м поднята станция I389, имеющая весьма сложное строение. Она представлена крупным алевритом с высоким содержанием фораминифер. Общая длина колонки 164 см. По различным текстурным особенностям, по включениям алевро-пелита её можно разбить на несколько интервалов, преиму-

щественно постепенно переходящих друг в друга. На различных горизонтах встречены обломки и целые небольшие двустворки и гастропода. Краткое описание разреза:

0-5 см Крупный алеврит буровато-серый и желтый. Массивный.

Нижняя граница постепенная;

5-25 см Крупный алеврит с высоким содержанием фораминифер. Массивный в верхней части и неясно-пятнистый в нижней, что обусловлено наличием более светлых голубовато-серых пятен алевро-пелита. Обломок двустворки 3 x 5 мм. Нижняя граница условная;

25-50 см Тот же интервал, но с большим количеством резко-очерченных линз алевро-пелита голубовато-серого. В ин-ле

24-25 см обломки двустворки 3 x 8 мм и гастропода до 6 мм.

В интервале 29,5-50 четко очерченное эллипсовидное в разрезе включение диаметром 2 см, ориентированное под углом 7-10° к оси трубы, представленное голубовато-серым алевро-пелитом. По-видимому, это дополненный ход илоеда;

50-58 см - Крупный алеврит с высоким содержанием фораминифер.

На 57 см маленький коралл длиной 10 мм;

58-86 см - аналогичен верхней части ин-ла 22-50. На 77 см маленькая гастропода (3 мм) и обломки тонкостенной ракушки. Линзы алевро-пелита вытянутой формы, наклоненные по отношению к оси трубы на 45-60°;

86-99 см - Продолжение вышеописанного интервала, но здесь, наоборот, преобладает алевро-пелит, а крупный алеврит составляет линзы вытянутой формы, наклоненные под углом 20-30° по отношению к оси трубы, но в противоположную сторону по сравнению с линзами интервала 58-86 см;

99-159 см - Алевро-пелит средней плотности, массивный, голубо-

вато-серый, аналогичный тому, что встречался ранее в виде включений. В интервале 110-111 прослой с очень высоким содержанием фораминифер. В интервале 117-128 включение сложной формы среднего и крупного алеврита с тонкостенной ракушью. В нижней части интервала количество алевритовых частиц становится ничтожным и всю массу можно назвать пелитом;

159-164 см - Крупный алеврит зеленовато-серый, массивный, с большим количеством фораминифер. Плотность выше чем у пелита. Встречаются единичные обломки тонкостенной ракушки. Граница с вышележащим интервалом четкая, прямая, перпендикулярная к оси трубы.

На ст. 1393 глубина 890 м поднят сравнительно однообразный алевро-пелит серый, преимущественно массивный с небольшими редкими линзами состоящими почти на цело из фораминифер. Плотность материала везде постоянная, незначительная, лишь в самом конце колонки несколько возрастает. Общая длина колонки 143,5 см.

На третьей результативной станции 1396 (глуб. 565 м) поднята колонка длиной всего 11 см. состоящая из крупного алеврита с очень высоким содержанием фораминифер и спикул губок. Алеврит массивный, зеленовато-серый, средней плотности.

5.2. Японское море

В Японском море обнаружены следующие комплексы пород разного возраста: позднепротерозойские (?) гранитоиды, позднепалеозойские гранитоиды, нижнемеловые отложения, меловые-палеогеновые отложения, неогеновые отложения, кайнозойские базальтоиды, четвертичные отложения.

5.2.1. Позднепротерозойские (?) гранитоиды.

Рассматриваемые породы подняты драгами на полигоне 28 в его юго-западной части на северо-западном склоне Южного хребта

Ямато с глубины 1200-1550 м. Они представлены полуокатанными глыбами, валунами и гальками, а также обломочным материалом в конгломератах базальных слоев неогеновых отложений.

Крупные (до 30 см) размеры валунов, слабая окатанность обломков, однообразный набор пород во всех станциях, удаленных на 1-1,5 км друг от друга,—все это позволяет предполагать незначительное перемещение гранитоидного материала и может свидетельствовать о его местном происхождении. По составу среди этих пород выделяются роговообманковые диориты, биотитовые и биотит-роговообманковые граниты.

Роговообманковые диориты (ст. I442, I443 и I444)—темносерые, с зеленоватым оттенком, среднезернистые породы с параллельной текстурой, обусловленной ориентировкой в одном направлении призматических кристаллов роговой обманки, составляющей 30-35% объема породы, наряду с которой присутствует полевой шпат до 55% и кварц.

Биотит-роговообманковые граниты (ст. I442)—мелко-среднезернистые, розовато-серые, разгнейсовые породы, с полосчатым строением за счет чередования светлых кварц-полевошпатовых и темных меланократовых биотит-роговообманковых полос мощностью до 1,5 см. Среди них отмечаются бластомилониты с крупными (до 0,8 см) порфиробластами розового полевого шпата, составляющими примерно 30% объема породы.

Биотитовые граниты (ст. I443) — светлосерые мелко-среднезернистые породы, катаклизированные, состоящие из полевого шпата до 60%, кварца до 35% и биотита 3-5%. Все вышеописанные породы разгнейсованы, катаклизированы, в них проявлены процессы бластеза, выраженные в появлении кристаллов новообразованного калишпата.

По набору пород, их составу и особенностям метаморфизма эти гранитоиды сходны с позднепротерозойскими породами из зоны динамотермального метаморфизма, проявленного в габброидах, диоритах и гранитах южного Приморья в районе полуострова Трудного.

5.2.2. Позднепалеозойские гранитоиды

Данный комплекс пород широко распространен в южной части Северного хребта Ямато и обнаружен на полигоне I4-А. Гранитоиды подняты на 7 станциях драгирования, из них на 5 станциях (I404-I409)-со склона подводной гряды меридионального простирания в юго-восточной части полигона на участке длиной свыше 13 км при глубинах 700-1100 м. В западной части полигона они установлены на двух станциях драгирования (I413, I471), отстоящих друг от друга на 10 км. Драгированию подверглись оба склона гряды меридионального простирания.

По составу среди гранитоидов выделяются кварцевые диориты, роговообманковые, биотит-рогообманковые, биотитовые и лейкократовые граниты, поднятые в виде глыб размером до 20x25x15 см и более мелких обломков.

Кварцевые диориты подняты совместно с гранитами на ст. I404 и представлены розовато-серыми, среднезернистыми породами. В глыбах отмечаются полосы шириной до 1,5 см розового цвета более лейкократового состава, образовавшиеся за счет калишпатизации диоритов, проявленной вдоль тонких трещин. Участками в пределах этих полос развиваются порфиробласты розового полевого шпата.

Диориты состоят из амфибола в количестве до 35%, развитого в виде призм и удлиненных табличек размером 2-3 мм, кристаллов полевого шпата до 50% и кварца.

Рогообманковые граниты (ст. I404, I405)-среднезернистые, серые с розоватым оттенком породы с порфировыми выделениями,

представленными табличками полевого шпата мясокрасного цвета размером от 2 до 10 мм. Основная масса состоит из роговой обманки до 15%, полевого шпата до 55% и кварца.

Роговообманково-биотитовые граниты (ст. I405, I406, I407) - средне-крупнозернистые породы, участками порфировидные с выделением таблитчатых кристаллов розовых полевых шпатов в размером до 2 см.

Биотитовые граниты (ст. I404, I413) - серые, розовато-серые, среднезернистые породы, обычно равномерно ~~мелко~~ зернистые, реже с порфировыми выделениями розового полевого шпата в виде таблитчатых кристаллов размером до 1,0 см. В породе преобладает полевой шпат до 70%, остальное кварц до 25% и биотит 4-5%, в виде мелких чешуек темнокоричневого и черного цвета.

Лейкократовые граниты (ст. I404, I409) с редкими порфировыми выделениями розового полевого шпата, среднезернистые, реже мелко зернистые, трещиноватые, ^нкатаклазированные, состоящие из полевого шпата 60-70%, кварца и единичных чешуек биотита.

Сходство гранитов, развитых в восточной и западной частях полигона, позволяет предполагать, что в пределах изученного участка Северного хребта Ямато развит крупный единичный гранитоидный массив протяженностью свыше 30 км с запада на восток и более 22 км с севера на юг. Центральная часть массива опущена и перекрыта кайнозойскими отложениями, на юге полигона гранитоиды, вероятно, служат основанием для нескольких вулканических построек на востоке они перекрыты нижнемеловыми отложениями.

Описанные гранитоиды аналогичны поднятым Б.И. Васильевым и др. В 7 рейсе нис. "Первенец" с юго-западной части Северного хребта Ямато и имеющим позднепалеозойский возраст (Леликов, Васильев, 1974).

5.2.3. Нижнемеловые отложения

Нижнемеловые отложения распространены в восточной части полигона I4-A, где они обнажаются в крутом, обычно обрывистом уступе квествы. Данная квесьта была обнаружена в 24 рейсе нис. "Первейца". на полигоне I4. Тогда с ее уступа было поднято большое количество коренных пород. Их палинологическое изучение позволило установить нижнемеловой (готерив раннеальбский) возраст толщи (Берсенев И., Берсенев Ю., Ващенкова и др. 1977).

На полигоне I4-A уступ квествы прослежен с севера на юг на расстояние более 20 км. Его высота в северной части полигона достигает 600 м, на юге снижается до 125 м. Простирание его северо-северо-восточное, вероятно аналогичное простиранию нижнемеловых отложений.

В северной части полигона подножие уступа лежит на глубине 350 м, а его бровка находится на глубине 750 м. Следовательно, общая мощность толщи здесь достигает 600 м. В его южной части соответствующие глубины составляют 900-950 м и 700 м. Таким образом, общая мощность здесь сокращается до 200-250 м.

Породы раннемелового возраста подняты на ст. I410-I412 и представлены крупными (40-50 см) глыбами со свежими краями, что указывает на то, что они оторваны от коренных обнажений. Состав пород довольно однообразный (снизу):

1. Песчаники слюдистые, кварц-полевошпатовые, среднезернистые, светлые с ржавыми разводьями и псевдополосчатостью, обусловленными подводной денудацией. По косому срезу относительно плоскости отглыбы песчаники содержат прослой мощностью 8 см, обогащенныйлистым детритом в виде древесных частиц.

2. Песчаники зеленовато-серые, полимиктовые, среднезернистые, массивные.

3. Алевропесчаники пепельно-серые, полимиктовые, слюдистые, со склеруповатой отдельностью. По плоскостям отслоения "склерупы" породы обогащены слюдистыми минералами. Текстура массивная.

4. Песчаники серые, полимиктовые, с листочками биотита, среднезернистые, полосчато-слоистые. Полосчатость и слоистость совпадают, они обусловлены чередованием песчаников серого цвета среднезернистых и более тонких их разностей - алевропесчаников с более темным пепельно-серым цветом. В прослоях последних отмечены обрывки углистого детрита. Более темный их цвет обусловлен обогащенностью слюдистыми минералами (разложенный биотит).

Глыбы и обломки пород покрыты сажистыми налетами гидроокислов железа и марганца и корочками глауконита ярко зеленого цвета.

Сопоставление приведенного разреза с более полным разрезом, изученным на полигоне I4 (отчет о 25 рейсе "Первеница", 1975), дает основание считать, что на полигоне I4-A обследована средняя и верхняя части толщи нижнемеловых отложений.

5.2.4. Меловые-палеогеновые (?) отложения.

Рассматриваемые отложения обнаружены при драгировании склонов Южного хребта Ямато в западной части полигона 28. Здесь при драгировании в интервале глубин 950-1550 м были подняты (часто из коренных выходов) алевролиты, песчаники и конгломераты. Каждая из перечисленных литологических разностей представлена двумя разновидностями, различающимися только по степени литификации. Первую группу разновидностей составляют породы, по степени литификации сравнимые с докайнозойскими породами Приморья (очень твердые, колются только молотком). Вторая группа образована породами, по степени литификации занимающими промежуточное положение между докайнозойскими породами и миоценовыми отложениями с материкового склона и подводных возвышенностей Японского моря и по

щими

этому признаку примерно соответствующим палеогеновым породам, поднятым на полигоне 22 в 21-м рейсе мис "Первомец".

На полигоне 28 разница в степени литификации во многих случаях затушевана в процессе подводного выветривания, а редкая сеть трещиноватости не позволяет проследить по простирации базальные слои палеогеновых (?) отложений. Эти обстоятельства, наряду со сходством по составу, цвету, текстурам и другим признакам одноименных пород из нижней и верхней частей разреза, не позволили выделить в пределах палеогеновые (?) и (верхимелевые ?) отложения, хотя, как будет показано ниже, эти отложения разделены поверхностью разнотипа и, возможно, залегают с угловым несогласием. Мы надеемся, что такое разделение будет выполнено в камеральных условиях после более детального изучения образцов пород. Ниже приводится краткая характеристика литологических разностей рассматриваемой толщи.

Алевролиты серые, темно-серые, в выветренном состоянии зелено-зеленые и бурые, массивные и тонкопараллельно слоистые. Для слоистых разностей характерна плитчатая отдельность. Слоистость обусловлена неравномерным распределением песчанистого материала, или обогащением отдельных прослойков растительным детритом и угольной пылью. Иногда отмечают в разной степени кремнистые алевролиты (как среди массивных, так и среди массивных разностей). Предварительно намечается такая закономерность: менее литифицированные (палеогеновые?) разности алевролитов (как и описываемых ниже песчаников) более массивные. Слюдя обычно концентрируется на плоскостях напластования.

Песчаники серые, темно-серые, в выветренном состоянии буро-зелено-серые, полимиктовые, мелко- и среднезернистые, реже - крупнозернистые, гравелистые, обычно массивные, иногда неяснослоистые и пятнистые за счет неравномерного распределения **углистого** мате-

риала, часто растительным детритом. В отдельных обломках отмечаются линзочки и миллиметровые про слои алевролитов.

Конгломераты буровато-серые, мелко и среднегалечные. Гальки преимущественно округлые, 2-6 см в поперечнике, хорошо окатанные, сложены алевролитами, кремнями кислыми и средними вулканитами, гранитами. Следует отметить, что гальки гранитов, как правило, окатаны плохо. Предварительное сравнение состава гальки конгломератов показывает, что галька гранитов отмечается преимущественно в менее диагенезированных (палеогеновых ?) разностях. Заполнитель, составляющий 35-50% общего объема породы, образован разнозернистым алевролитистым песчаником, в менее диагенезированных разностях конгломератов - аркозовым.

Предположение о разновозрастности отложений, объединенных в описываемой толще, подтверждается результатами драгирования на ст. I452 (II50-I230). Здесь в процессе одного драгирования были оторваны глыбы из двух коренных выходов. В первом из них, расположенным на большей глубине, обнажаются сильно литифицированные алевролиты преимущественно массивные, реже - то икона параллельно слоистые. Обломки этих пород были подняты в нижней части драги. Верхнюю часть занимали глыбы из второго коренного выхода, расположенного по склону. Эти глыбы сложены конгломератами и разнозернистыми, преимущественно крупнозернистыми гравелистыми песчаниками, характеризующимися относительно меньшей степенью литификации. В конгломератах отмечена галька алевролитов, аналогичных алевролитам из нижнего обнажения. Таким образом, на ст. I452 драга пересекла контакт двух толщ, залегающих с размывом.

Возраст описанных отложений как меловой-палеогеновый устанавливается на следующих основаниях.

I. В песчаниках, аналогичных описанным из нижней части разреза,

поднятых на полигоне I4 в 24-м рейсе мис "Первенец", установлен комплекс пыльцы и спор, характерный для раннего мела.

2. Верхняя часть толщи, отделенная от нижней, как отмечалось выше, размывом, по степени литификации сопоставляется с палеогеновыми отложениями материкового склона у побережья Приморья.

3. На описанных отложениях залегают фаунистически характеризованные миоценовые и плиоценовые отложения (Васильев и др., 1975).

О мощности описанной толщи пока судить трудно. Геофизические данные здесь использовать нельзя, поскольку значительная часть толщи по своим плотностным характеристикам относится к акустическому фундаменту. Кроме того, присутствие гранитов в гальке палеогеновых (?) конгломератов и практическое отсутствие их в скальных (меловых ?) конгломератах из нижней части толщи, возможно, указывают на то, что меловые (?) отложения на возвышенности Ямато дислокированы (и прорваны гранитами). Отсюда следует предположение о вероятности углового несогласия между меловыми и палеогеновыми отложениями.

5.2.5. Неогеновые отложения. Неогеновые отложения подняты с Северного хребта (полигон I4-A) и Южного хребта (полигон 28) Ямато, на материковом склоне у побережья Приморья (полигоны IO-A и II-A), а также со склонов вулканических построек в разных районах Японского моря (ст. I468 - с вулкана Медведева, I473 - на полигоне 27, ст. I468-I470 на полигоне 23). Имеющиеся в нашем распоряжении данные позволяют в ряде случаев подразделить эти отложения на миоценовые и плиоценовые.

5.2.5.1. Миоценовые отложения.

К миоцену отнесены диатомовые туфопесчаники и туфоалевролиты, поднятые на полигонах I4-A, IO-A и 23.

5.2.5.1.1. На полигоне 14-А предположительно миоценовые отложения изучены на ст. 1402 (1000-1100), 1403 (1000-1100), 1420 (1200-1300) и 1472 (1200-1340). Миоценовые (?) отложения на этих станциях представлены диатомовыми туфоалевролитами серыми и светло-серыми, в отдельных образцах, судя по цвету, и весу, переходящих в алевритистые туфодиатомиты. В выветренном состоянии породы зеленовато-серые и бурье, массивные, редко песчанистые (в этом случае с неясной тонкой слоистостью). Все обломки в той или иной степени пронизаны разномерными ходами илоедов. Мощность миоценовых (?) отложений на полигоне 14-А, вероятно, не велика (первые десятки метров). Возраст этих пород как миоценовый принимается с большой долей условности на основании их сходства с палеонтологически охарактеризованными миоценовыми породами, поднятыми на полигоне 23.

5.2.5.1.2. На полигоне 23 (вулкан Тарасова) к миоцену отнесены слабо диагенезированные диатомовые туфоалевролиты, в целом аналогичные вышеописанным туфоалевролитам с полигона 14-А, но часто содержащие миллиметровые обломки черного вулканического стекла, осколки кристаллов пироксенов и обломки пемза. Количество вулканогенного материала в отдельных образцах достигает 20% общего объема породы. Возраст этих пород устанавливается как позднемиоценовый на основании анализа заключенного в них комплекса диатомей, выполненного В.П.Болдыревой.

Виевые очень сходные с описанными породы были подняты также на вулкане Медведева, на ст. 1468 (1750-1800) и на подводной возвышенности в северо-западной части моря (полигон 27), на ст. 1473 (1750-1800).

5.2.5.1.3. На полигоне 10-А к миоцену предположительно отнесены диатомовые алевролиты, поднятые на ст. 1495 (1200-1280).

Это серые, в выветренном состоянии бурые породы, массивные, песчанистые, с нечетко выраженной плитчатой (точнее "тарельчатой") отдельностью. Описанные алевролиты литифицированы заметно интенсивнее, чем вышележащие плиоценовые отложения, что дает основание предполагать их миоценовый (позднемиоценовый?) возраст.

5.2.5.2. Плиоценовые отложения

Плиоценовые отложения в 28-м рейсе наиболее детально изучены на полигонах I0-A и II-A, где они были установлены ранее, в 15 и 20 рейсах иис "Первенец". Кроме того, предположительно плиоценовые отложения выделяются на полигонах I4-A, 23 и 28.

5.2.5.2.1. На полигоне I0-A плиоценовые отложения подняты на станциях I477-I485, I487-I497, I536 и I541, в общем интервале глубин 1550-450 м. На большинстве станций образцы плиоценовых пород были оторваны от коренных выходов.

В составе плиоценовых отложений на полигоне I0-A отмечаются слабо литифицированные алевролиты и песчаники, причем в верхней части разреза широким распространением пользуются конгломераты, песчаники и алевролиты с известковистым цементом, что позволяет предварительно подразделить плиоценовые отложения на рассматриваемом полигоне на две толщи. Нижняя толща (No_2^a) изучена в северо-восточной части полигона, на ст. I478 (920-950), I480 (II20-II50), I481 (I050-II20), I486 (850-880), I488 (900-930), I489 (I000-I050), I490 (I250-I300), I491 (700-750) и I492 (II50-II10). Аналогичные породы были подняты также в юго-восточной части полигона, на станции I536 (I250-I300). Из коренных выходов породы нижней толщи были подняты с глубин 1300-650 м. Это обстоятельство, наряду с идентичностью пород, поднятых на всех выше перечисленных станциях, указывает на то, что нижняя толща в общем облекает главные формы рельефа материкового склона в пре-

делах полигона Ю-А. Взаимоотношения нижней толщи с подстилающими отложениями на полигоне Ю-А не установлены.

В составе нижней толщи резко преобладают алевролиты, и только на станции 1488 отмечены песчаники. Алевролиты серые, в выветренном состоянии с зеленоватым оттенком или бурые, часто с примесью псаммитового (возможно, вулканогенного) материала. Распределение последнего в общей массе породы очень неравномерное (мелкие лизочки, включения неправильной формы, иногда невидимые прослой миллиметровой мощности). В отдельных обломках алевролитов отмечаются единичные гравелинки до 5 мм в поперечнике. Для алевролитов нижней толщи очень характерна низкая степень литификации (легко ломаются руками, режутся ножом). От 10-20% до 50% общего объема пород составляют беспорядочно ориентированные ходы илоедов, диаметр которых достигает 3 см.

Песчаники из нижней толщи также характеризуются весьма низкой степенью литификации, представлены зелено-вато-серыми и буро-вато-серыми разностями, мелко- и среднезернистыми, плохо сорттированными, с глинистым цементом. Обычно слюдистые, так же, как и алевролиты, пронизаны многочисленными ходами илоедов, стеки ходов покрыты корочками гидроокислов железа.

Мощность нижней толщи в пределах исследованной части полигона Ю-А пока определяется очень приблизительно и, вероятно, не превышает 100 м.

Возраст нижней толщи предполагается как плиоценовый на следующих основаниях: 1. Слагающие толщу породы характеризуются очень низкой степенью литификации (более низкой, чем однотипные породы из миоценовых отложений ^{на} полигонах 8-II, возраст которых обоснован фаунистически). 2. Среди отложений залегающей выше "известковистой" верхней толщи почти на всех станциях встречают-

ся породы, микроскопически совершенно аналогичные соответствующим породам нижней толщи. Однако, приведенные соображения, как будет показано ниже, не исключают и позднемиоценовый возраст нижней толщи.

Верхняя толща плиоценовых отложений (N_2^b) на полигоне IO-A изучена в северо-западной его части, на станциях I477 (1000-1100), I479 (900-920), I482 (1000-1050), I483 (800-850), I484 (650-700), I485 (750-800), I494 (950-1000), I496 (620-650) и I497 (460-500). Необходимо заметить, что граница между комплексами пород верхней толщи в северо-западной части полигона и нижней толщи в северо-восточной части полигона проходит вдоль узкой, довольно прямолинейной подводной долины, перепад высот тальвега которой заключен в пределах 400-1400 м. Таким образом, можно предположить, что вдоль указанной долины проходит разлом (северо-северо-западного простирания), причем восточный блок приподнят относительно западного на несколько десятков метров (амплитуда смещения в данном случае определяется мощностью верхней толщи плиоценовых отложений).

По тем же признакам, которые указывались выше при описании нижней толщи, устанавливается, что верхняя толща также облекает основные элементы подводного рельефа.

Слабо литифицированные алевролиты и песчаники, составляющие 70-80% объема верхней толщи, макроскопически совершенно аналогичны одноименным породам из нижней толщи, но в отличие от последней в верхней толще песчаники отмечаются чаще (подняты на большинстве станций). "Лицо" верхней толщи определяют известковистые алевролиты, известковистые песчаники и конгломераты, в которых заполнителем является известковистый песчаник. Кроме того, в составе верхней толщи иногда отмечаются известковистые стяжения.

Известковистые алевролиты (ст. I477, I479, I483, I494 и I497) – это серые, в выветренном состоянии буровато-серые и зеленовато-серые породы, обычно массивные, иногда с едва заметной тонкой (миллиметровой) слоистостью. В монолите с НСℓ реагируют слабо, в порошке-бурно. Не исключено, что при дальнейшем изучении описанные породы будут отнесены в группу мергелей.

Известковистые песчаники на полигоне IO-A подняты на станциях I477 и I496 и представлены серыми и зелено-вато-серыми массивными тонко-зернистыми разностями, с единичными ходами илоедов.

На ст. I493 из верхней толщи были подняты карбонатные стяжения, обогащенные серым, тонко-зернистым песчанистым известняком. Форма стяжений лепешковидная, максимальные размеры 25 x 15 x 3 см.

Конгломераты были подняты на ст. I477 (I000-I100), I535 (I700-I800) и I541 (I450-I550). На ст. I477 они были представлены одной хорошо окатанной галькой в 7 см в поперечнике, одна сторона которой скрыта остатками заполнителя – крупнозернистого полимиктового гравелистого песчаника, характеризующегося весьма низкой степенью минерализации. Заметим, что конгломераты на этой станции были подняты вместе с известковистыми песчаниками и алевролитами, характерными для верхней толщи.

На ст. I535 и I541 были подняты туфоконгломераты серые и буровато-серые, крупногалечные, иногда валунные. Галька образована преимущественно вулканитами кислого состава и образует до 70% общего объема породы. Заполнитель – серый, слабо диагенезированный разноцветный туфопесчаник, иногда известковистый. Эти конгломераты к настоящему времени относятся весьма условно. Не исключен их более древний (меловой или палеогеновый или даже верхнемеловой) возраст.

Упомянутая ассоциация конгломератов с породами верхней толщи меловых отложений на полигоне 25 и известковистость их заполнителей

зателя позволяют относить их к верхней толще. Однако положение в общем разрезе толщи этих конгломератов на полигоне IO-A осталось неясным, поскольку не были подняты породы, залегающие непосредственно под конгломератами. Возможно, что они образуют мало мощные линзы и невыдержаные по простирации прослои среди верхней толщи. Не исключено также, что описанные конгломераты являются базальными в этом случае указывают на размыв между нижней и верхней толщами. В свою очередь это предположение дает основание не исключать миоценовый (позднемиоценовый?) возраст нижней толщи, так как в результате геологических исследований на материковом склоне в предыдущих рейсах размыв в верхней части разреза неогеновых отложений установлен только между плиоценовыми и миоценовыми отложениями.

Мощность верхней толщи на полигоне IO-A измеряется, вероятно, первыми десятками метров и вряд ли превышает 50 м.

Возраст верхней толщи устанавливается как плиоценовый на основании ее идентичности с фаунистически обоснованными плиоценовыми отложениями, изученным^и на смежных полигонах в 15 и 20 рейсах с "Первенец".

5.2.5.2.2. На полигоне II-A разрез плиоценовых отложений в общих чертах очень похож на вышеописанный разрез одновозрастных отложений на полигоне IO-A. Здесь также плиоценовые отложения подразделяются на две толщи, — нижнюю, существенно алевролитовую, и верхнюю — в составе которой широким распространением пользуются известковистые породы.

Нижняя толща была изучена на ст. 1513 (650-700) 1518 (620-50), 1523 (600-640), 1524 (500-550) и 1525 (550-600). Взаимоотношения толщи с подстилающими отложениями не установлены. В составе толщи в пределах полигона II-A отмечены только алевролиты. Это серые и зеленовато-серые породы, в выветренном состоянии грязно-

-зеленые и бурые, массивные и тонкопараллельнослойистые, в разной степени песчанистые (в отдельных обломках - на станции 1513 - переходящие в тонкозернистые алевритистые песчаники). Алевролиты нижней толщи характеризуются низкой степенью литификации (легко резутся ножом). Большинство обломков алевролитов пронизано многочисленными беспорядочно ориентированными ходами илюдов, диаметр которых измеряется первыми миллиметрами - первыми сантиметрами.

Мощность изученной части разреза нижней толщи плиоценовых отложений на полигоне II-А измеряется первыми десятками метров.

Возраст нижней толщи как плиоценовый предполагается на следующих основаниях: 1. Слагающие толщу алевролиты характеризуются степенью низкой степенью литификации. По этому признаку описанные породы занимают промежуточное положение между миоценовыми и четвертичными породами. 2. Аналогичные по составу и степени литификации алевролиты отмечаются среди пород верхней толщи, плиоценовый возраст которой на полигоне II обоснован фаунистически. Эти данные соображениям, приведенным выше при описании аналогичных отложений на полигоне IO-A, не исключает вероятность более древнего (позднемиоценового?) возраста нижней толщи.

Верхняя толща плиоценовых отложений на полигоне II-А была изучена на ст. 1512 (400-420), 1514 (300-360), 1515 (250-270), 1516 (250), 1517 (425-450), 1519 (370-400), 1520 (450-500), 1521 (350-370) и 1526 (250-300). Взаимоотношения верхней и нижней толщ до не установлены. Наличие в составе обеих толщ пород, сходных по составу и степени диагенеза, свидетельствует в пользу постепенного перехода между ними. С другой стороны, присутствие конгломератов в районе контакта этих толщ (станция 1520) может указывать на разрыв между ними.

В составе верхней толщи в пределах рассматриваемого полигона преобладают известковистые породы: песчаники, алевролиты и конгломераты.

раты с известковистым заполнителем. Реже отмечаются (станции 1512 и 1521) слабо литифицированные алевролиты, совершенно аналогичные алевролитам из нижней толщи.

Известковистые песчаники являются наиболее характерны^{ми} для верхней толщи. Это серые и светло-серые породы, в выветренном состоянии зеленоватым и буроватым оттенком, мелко- и тонкозернистые, обычно массивные, реже с тонкой невыдержанной слоистостью. В большинстве поднятых обломков песчаников отмечается редкий гравий и единичные раковины хорошо окатанные гальки докайно зойских пород. В глыбе песчаников на станции 1519 встречена одна раковина (гастропода), многочисленные обрывки и целые листья растений.

Известковистые алевролиты (мергели ?) подняты на станциях 1512 и 1515. Это серые и буровато-серые породы, массивные, с нечетко выраженной плитчатой отдельностью, с редкими разномерными ходами иллюдов.

Конгломераты были подняты на ст. 1515, 1516, 1517 и 1520. Представлены они мелко - среднегалечными разностями, в которых галька и гравий составляют 30-60% общего объема породы. Галька хорошо окатанная, преимущественно изометричная, сложена различными гальчными и изверженными докайно зойскими породами. Обращает на внимание то обстоятельство, что в конгломератах нет обломков из нижней толщи, - это замечание в связи с вышеизложенными соображениями о взаимоотношениях между нижней и верхней толщами. Затем в конгломератах является серый разнозернистый известковистый песчаник с редкими раковинами двусторонок.

Положение описанных конгломератов в разрезе пока неясно. Возможно, они образуют невыдержаные по простиранию прослои и линзы разных стратиграфических уровнях. Но в случае, если подводной дна верхняя толща на исследованном участке в большей части отсутствует, поднятые конгломераты и песчаники, возможно, представляют

базальные слои. Последний вариант нам представляется менее вероятным, поскольку по данным непрерывного сейсмического профилирования, проведенного на полигоне II В.П.Филатьевым, суммарная мощность плиоценовых отложений в верхней части материкового склона около 250 м.

Возраст верхней толщи устанавливается как плиоценовый на основании анализа заключенных в ней комплексов диатомей, проведенного Е.И.Царько. К аналогичному выводу о возрасте пород верхней толщи пришла и М.Т.Горовая, исследовавшая содержащиеся в них споры и пильцу.

5.2.5.2.3. На полигоне I4-А к плиоцену предположительно отнесены гравелистые туфопесчаники, гравелиты и известковистые породы, поднятые на ст. I402 (I000-II100), I403 (I000-II100), I420 (I200-II500) и I472 (I200-I340).

Туфопесчаники были подняты на всех перечисленных станциях. Серые и светло-серые, в выветренном состоянии зеленовато-серые и бурые породы, мелко- и среднезернистые, массивные, реже с пятнистой текстурой, обусловленной неравномерным распределением пирокластического материала, слабо литифицированные (легко разламываются руками), с рассеянным гравием докайнозойских пород. В отдельных образцах (станция I402) гравий образует до 30-35% общего объема породы, что позволяет выделить в составе рассматриваемых отложений гравелиты.

На ст. I420 были подняты известковистые стяжения округлые (15 см в поперечнике) и неправильной формы, сложенные светло-серым и светло-бурым тонкозернистым карбонатом, во многих образцах передующимся (по концентрическим зонам) с кремнистой породой.

Мощность плиоценовых (?) отложений на полигоне I4-А оценивается очень приблизительно и достигает, вероятно, 20-30 м.

5.2.5.2.4. На полигоне 23 к плиоцену предположительно отнесены

ены конгломераты: серые и светло-серые, мелкогалечные. Галька преимущественно изометрична, 1-3 см в поперечнике, хорошо окатанна, состоит из различных докайнозойских изверженных и осадочных пород. Заполнитель - светло-серый и серый диатомовый мелко- и тонкозернистый песчаник, составляет до 50% общего объема породы. Конгломераты были подняты на ст. I567 (I750-I820), I569 (I550-I700) и I570 (I530-I600).

5.2.5.2.5. На полигоне 28 к плиоцену отнесены слабо литифицированные конгломераты и гравелиты, поднятые на ст. I430 (400-440), I433 (400-430), I442 (I150-I250), I443 (I450-I350) и I444 (I450-550). Конгломераты преимущественно средне- и крупногалечные (преобладают гальки в 3-5 см в поперечнике, иногда - до 7-9 см), с пепеленным заполнителем. Гальки в основном округлые, изометричные, реже зашареные, хорошей и средней окатанности, составляют около 40% общего объема пород. Преобладают гальки андезитов, базальтоидов и щелевых эфузивов, реже встречаются гальки песчаников, алевролитов и гранитов. Здесь следует отметить очень плохую окатанность гальки гранитов в конгломератах, что наряду с аркозовым составом песчаник местное происхождение этой гальки за заполнителя указывает на счет размыва пород докайнозойского фундамента.

Кроме описанных конгломератов, на ряде станций в пределах полигона 28 (I427, I431, I432, I435 и др.) были подняты отдельные хорошо окатанные гальки и валуны различных изверженных и осадочных пород. Не исключено, что по крайней мере часть этих галек и валунов образовалась в процессе разрушения плиоценовых конгломератов.

Мощность плиоценовых отложений на полигоне 28 вряд ли превышает 50 м.

5.2.6. Кайнозойские базальтоиды

Базальтоиды распространены на возвышенности Ямато и на подводных вулканических постройках, расположенных на дне глубоководных

штловин.

5.2.6.1. На Северном хребте Ямато базальтоиды слагают конусообразные горы, расположенные в Южной части полигона I4-A. Одна из гор, имеющая эллипсовидную подошву, вытянутую в северо-западном направлении, примерно, на 10 км. Ее вершина находится на глубине 850 м, а подошва - на глубине до 1500 м, относительная высота достигает 650 м.

С западного склона этой возвышенности с глубины 1000-1100 м в двух станциях драгирования (I402, I403) были подняты базальтоиды в виде глыб размером до 30 см и более мелких обломков, представленные андезитами и их туфами.

Андезиты - темно-серые, плотные, массивные или пористые породы с гиалопелитовой основной массой с лейстами плагиоклаза размером до 2 см. В пористых разностях поры (диаметром до 1,0 см) выполнены ауконитом и розовато-серым цеолитом.

Туфы андезитов - кирпично-красные или бурье породы, состоящие из обломков, нераскристаллизованной основной массы андезитов, включенных в стекловатую массу, замещенную эпидотом, хлоритом и амфиболитом.

5.2.6.2. На Южном хребте Ямато базальтоиды слагают обширное поле и представлены базальтами, андезито-базальтами и андезитами. Подошва плато неровная, наклонена на юго-восток. На северо-западном склоне возвышенности ее граница с породами фундамента предполагается на глубине 1000-950 м (ст. I436). В рельфе дна это выражено пологим высотою до 100 м, линейно вытянутым в северо-восточном направлении (азимут 30°). В северо-западной и юго-западной частях поле андезиты подняты с глубины 1500-1200 м (ст. I443, I444). Здесь подошва плато характеризуется крутым перегибом основания склона, разделяющим склон возвышенности с уклоном до $50-60^{\circ}$ и впадину Ямато, уклон которой не превышает $2-3^{\circ}$. Кровля плато в цен-

цальной части полигона находится на глубине 300-400 м. Центры вулканов выражены куполовидными формами, вершины их отмечены на глубине около 300 м (ст. I456), относительные превышения составляют 50-100 м. Таким образом, мощность покрова базальтоидов, возможно, превышает 700 м.

Из результатов предшествующих исследований на ник "Первенец" полученных в данном рейсе известно, что базальтоиды залегают на размытой поверхности пород докайнозойского возраста. На северо-западном склоне Южного хребта Ямато они лежат на толще не метаморфизованных осадочных пород (ст. I436, I437), представленных переслаивающимися разнозернистыми песчаниками с прослойми гравелистых разностей и алевролитов, содержащих углистый детрит. Подобные породы широко развиты на Северном хребте Ямато, в которых по спорово-пыльцовому комплексу определен раннемеловой возраст.

Драгированием вместе с вышеописанными песчаниками с глубины 300 м (ст. I436) подняты слегка окатанные обломки (размером до 10-15 см) темно-серых андезито-базальтов с полурастриклизованной основной массой, с порфировыми вкрапленниками плагиоклаза, пироксена, амфибола.

В юго-западной части полигона с крутого склона на ст. I443, подняты (1300-1550) подобные породы в виде слегка окатанных глыб размером 18 см и более мелких обломков. Они представлены серыми и темно-серыми стекловатыми и полурастриклизованными андезитами и андезитовыми порфиритами с выделениями белого полевого шпата в виде звездочек размером до 2 мм. Они перекрываются осадочной толщей неизвестного возраста, сложенной базальным слоем конгломератов, гравелистыми и среднезернистыми песчаниками и тонкослоистыми алевролитами. В базальных конгломератах преобладают гальки андезитов. Глыбы и обломки андезитов покрыты корочками железо-марганцевых минералов.

На ст. I450 из нижней части уступа высотою 100 м, обрамляющего с северо-запада один из куполов вулкана (восточнее буя 69, полигон 28-А), с глубины 500 м подняты глыбы размером 20x12x8 см буко-серых андезитовых порфиритов с афиевой структурой основной зоны, с игловидными лейстами плагиоклаза размером до 1 мм, с призматическими пироксена и амфибола. Описанные андезиты и андезито-базальты слагают нижнюю часть разреза плато, абсолютный возраст их 34 млн. (Васильев и др., 1975). Предполагается, что в олигоцене вулканизм был трещинным с эфузивным типом извержений.

В районе буя 70 (полигон 28-Б) на ст. I427-I431 и I455-I459 на глубинах 310-450 м поднято большое количество базальтоидов, существенно отличающихся от вышеописанных литологическим составом. Они, вероятно, являются более молодыми (неогеновыми). Эти базальтоиды слагают вулканические постройки куполовидной формы с несколькими уровнями высотою 5-20 м и более, определяющими положение потоков

Большое литологическое разнообразие пород от пористых лав базальтов до туфов, агломератовых туфолов и лавобрекций андезитов позволяет предполагать, что вулкан был центрально-трещинным в базальных условиях, с эфузивно-эксплозивным типом извержений. Вероятно, извержения были многостадийными с перерывами и частичным размывом. Выделены ниже следующие литологические разности (предельно снизу):

I. Туфы среднего состава (ст. I427), псевдо-псаммитовые, литотектические. Литокласти представлены угловатыми обломками базальтов, андезитов, кремнистых пород, псаммитовых туфов среднего состава. Размеры их 1-2 до 8-10 мм. Среди обломков встречаются литотектические стекла в виде округло-уплощенных включений буро-зеленого цвета. Основная масса пород более тонкая, стекловатая. Породы состоят в виде обломков размером до 8 см.

2. Туфопесчаники (ст. I427) зелено-вато-серые, то и козернистые, псевдополосчатые. Порода довольно крепкая, поднята в виде обломков уплощенной формы размером до 15 см.

3. Брекчийные лавы агломератовые (ст. I458) с обломками острогольной формы размером до 8-9 см и округлыми в виде бомбочек размером до 2-3 см лав базальтов. Обломки "спечены" лавой того же состава, иногда шлаковидной, пористой. В породе отмечены линзочки вулканического стекла размером до 2 мм и пепловые частички размером до 1 мм. Кроме того, присутствуют обломки осадочных пород размером 2-3 мм и обломки неправильной формы размером до 2 см более светлых миндалекаменных базальтов. Миндалины размером до 3 мм выполнены белым минералом из группы цеолитов. Породы подняты в крупных глыбах размером до 70x40x40 см), оторванных от коренного.

4. Брекчийные лавы псевфитовые (ст. I456, I458), базальтового состава, порода очень вязкая с обломками размером до 3-4 см изометричной формы типа бомбочек более светлых по сравнению с основной массой. Количество обломков (бомбочек) до 25 % к объему породы. Основная масса шлаковидная, пористая, содержит вкрапленики плагиоклаза и включения пепловых частиц. Поры выполнены яркоголубым минералом и вулканическим стеклом.

5. Базальты и андезито-базальты (ст. I427, I431, I459) темно-зеленые афировые с вкраплениками темноцветных минералов размером до 1 см. Породы в полуокатанных глыбах размером до 35x30x25 см и обломках.

6. Андезито-базальты (ст. I427) темно-серые, плотные, раскристаллизованные, эпидотизированные, хлоритизированные. На свежих сколах "оступает" налет яркоголубого вторичного минерала.

7. Андезито-базальты (ст. I455) в виде округлых бомб диаметром до 8 см со скрлуповатой отдельностью. Порода плотная, полускристаллизованная.

8. Базальты пористые, ноздревато-пористые (ст. I427, I455), бровато-серые. Глыбы размером до 35 см со слаженными углами.

9. Базальты красно-бурые и кирпично-красные (ст. I427, I455, I459), плотные, стекловатые и пористые-шлаковидные с миндалинами, полненными вторичными минералами.

10. Валуны и полуокатанные глыбы (размером до 45 см) базальтово-серых пористых и андезито-базальтов ~~буро~~-плотных стекловатых. Подняты на ст. I427, I432, I433, I434. Они вместе с галечниками лежат на выветрелой поверхности плато.

В районе буя 71 (полигон 28-В) с возвышенности куполовидной формы на ст. I465 и I466 с глубины 300-350 м подняты валуны базальтов, андезито-базальтов, их туфов и брекчевых лав. Валуны последних имеют "бугорчатую" поверхность. По-видимому, валуны являются продуктами коры выветривания плато и ими сложена вся его выровненная поверхность.

Изложенное позволяет сделать следующие предварительные выводы.

1. В палеогене (эоцене) на Южном хребте Ямато протекал интенсивный вулканизм. При этом преобладали трещинные излияния базальтов в субаэральных условиях. Центры щитовидных вулканов тяготели разломам северо-восточного направления. Во время завершения этой эдии развития произошло разделение Северного и Южного хребтов Ямато. Владина Ямато представляет собой рифт, образовавшийся в результате растяжения литосферы.

2. В неогене характер вулканизма изменился. В это время преобладал трещинно-центральный эффузивно-эксплозивный и формировались вулканы куполовидной формы. Одновременно в пониженных частях накапливались морские осадки. Северный и Южный хребты Ямато представляют собой блоки коры субматерикового типа. Их складчатый фундамент имеет много общего с фундаментом южного Приморья. Различие наблюдается в строении палеоген-неогенового осадочно-вулканического

техла.

5.2.6.3. Вулкан Медведева (полигон 26).

К югу от подводной возвышенности Ямато в котловине Хонсю расположена вулканическая постройка, в пределах которой в 25 рейсе эсминца "Первениц" в 1976 г. был разбит полигон 26 и выполнены геологогеоморфологические исследования на площади 220 км².

В настоящем рейсе с южного и восточного склонов этой возвышенности дополнительно были подняты образцы пород на ст. I467-I471 с глубины 1250-1800 м. Они представлены глыбами и щебнем базальтов, андезитов и базальтовых гиалокластитов, а также железо-марганцевых кремций, аналогичных описанным в отчете по 25 рейсу.

Наряду с этими породами в пределах возвышенности развиты мелкошернистые роговообманковые диориты, гранодиориты и лейкохратовые граниты, встречающиеся в виде небольших обломков угловатой формы. Кроме того, были подняты глыбы (40x35x30 см) и более мелкие обломки базальтовых туфов липаритов. Это светло-серые с зеленоватым оттенком массивные, реже флюидальные, породы, в которых на фоне стекловатой основной массы наблюдаются выделения шестоватых кристаллов черного цвета размером 2-4 мм, распределенных неравномерно в породе.

5.2.6.4. Безымянская вулканическая гряда (полигон 27).

В южной части Центральной глубоководной котловины Японского моря расположена подводная возвышенность северо-западного профиля, в юго-восточной части которой были подняты породы на двух участках драгирования с глубины - 1750-1850 м. Эта возвышенность пресечена одним промерным галсом, пройденным крест её профиля, по которому её основание расположено на глубине 3200 м, имеет форму порядка 15 км, а её вершина возвышается над дном Центральной котловины более, чем на 1500 м. На ст. I473, I474 с интервалов глубин 1750-1800 м и 1800-1850 м подняты следующие разнообразные по

составу породы в виде щебня и небольших глыб;

1. Песчаники среднезернистые кварц-полевошпатовые, крепкие.

Поднят один обломок размером 8 x 5 x 1 см уплощенной формы со стеклянными гранями. Предполагается донеогеновый возраст породы, поскольку в подобных песчаниках, широко развитых на возвышенности Жато (полигоны I4, I4-A, 28), спорово-пыльцевым анализом определен раннемеловой возраст.

2. Алевролиты диатомовые, зелено-вато-серые, массивные, псевдо-лоскчатые, с ходами червей илоедов. Поднято несколько обломков размером до 12x6x3 см уплощенной, плитчатой формы. Порода не крепка, ломается и крошится руками. Аналогичные диатомитовые алевролиты описаны в разрезах миоценовых отложений материкового склона южного Приморья.

В одном из обломков отмечен контакт описанных алевролитов с сильно ожелезненными псевдо-псаммитовыми витрокластическими туфами. Последние в виде корки с видимой мощностью 3-4 см. В приконтактовой зоне наблюдаются редкие включения галечек полуокатанной формы размером 20x15x5 мм, представленных зелено-ватными мелко зернистыми песчаниками, довольно крепкими, подобными вышеописанным.

3. Алевролиты диатомитовые, с включениями "галечек" средней толщины размером до 15 мм, представленных пемзами и выветрелыми гальками. Судя по форме и составу, это обычные лапилли. Текстура алевролитов пятнисто-гороховая. Размеры поднятых обломков 3x3 см. Эти породы, по-видимому, слагают верхи миоценовых отложений. Образование их совпало с началом вулканизма.

4. Туфы витрокластические, псевдо-псаммитовые до агломератовых. Подняты в виде большого количества обломков и глыб уплощенной формы размером до 30 см по длинной стороне. Порода состоит из угловатых обломков пемз размером 2-3 мм до 8-9 см и разложенных вулканических стекол лепешковидной формы, уплотненных рыхлым пепломо-глинистым.

штым цементом. Туфы интенсивно изменены подводным выветриванием, легко ломаются и кроются руками. В некоторых глыбах отмечены включения раковин петенов.

5. Лавы пемз ржаво-бурого цвета. Несколько обломков размером 6-7 см.

6. Базальты серые, пористые, гиалиновой структуры. Поднято несколько мелких глыб размером до 15 x 7 x 3 см со сглаженными углами и гранями. Отмечены глыбы с "буристой" поверхностью, представленные туфолавами, либо лавовыми брекчиями базальтового состава.

Вулканические породы по литологическому сходству сопоставляются с вулканиками неоген-четвертичного возраста, слагающими конусообразные вулканические постройки в Японском море.

7. Железо-марганцевые конкреции в виде корок мощностью 2-3 мм на поверхности глыб туфов, реже базальтов. Многие глыбы витроэластичных туфов, описанных выше, пропитаны гидроокислами железо-марганцевых минералов и содержат их стяжения в виде конкреций окружной формы размером до 2-3 мм (это черные блестящие шарики). Иногда эти стяжения формируются в виде слойков, что придает породе слоисто-посчатую структуру. В целом железо-марганцевые минералы, по-видимому, являются составной частью коры выветривания вулканических пород среднего и основного состава.

5.2.6.5. Вулкан Тарасова (полигон 23)

Вулкан Тарасова расположен в 90-100 км южнее устья р. Киевки. В 21 рейсе на с. "Первенец" был разбит полигон 23 и проведены в большом объеме геолого-геоморфологические исследования. Вулканическая возвышенность вытянута с юга на север более чем на 20 км, относительная высота над дном Центральной котловины превышает 1000 м, поскольку глубина дна у подошвы 3200-3300 м, а глубина дна у вершины около 1500 м.

В 28 рейсе была продрагирована северная часть возвышенности

на 4 станциях (I567-I570) в интервале глубин 1550-2000 м, и подняты многочисленные глыбы и щебень базальтов и их туфов, а также неогеновых песчаников и алевролитов.

Базальты-пористые, темно-серые, трещиноватые породы с афонитовой, участками стекловатой, основной массой, с очень редкими выделениями лейст плагиоклаза. На ст. I570, наряду с этими базальтами, подняты рассланцованные массивные базальты, раскалывающиеся на тонкие плитки по плоскостям кливажа.

Туфы- зеленовато-серые породы, интенсивно выветрелые, легко разламывающиеся руками. Они состоят из лапилей ^л разного размера базальтов окружной, реже угловатой, формы размером до 2 см в диаметре, а также пемзами и хорошо окатанными гальками вулканического стекла кислого состава, лавами и туфами липаритовых порфиров, сцепленных пепловым материалом среднего состава. В глыбах, поднятых на ст. I570, наблюдается постепенный переход от туфобрекций, аналогичных вышеописанным, в стекловатые пористые базальты. Переход заключается в постепенном возрастании количества обломков (пирокластов) базальтов и вытеснении ими связующей пепловой массы.

Наряду с базальтами, но в значительно меньшем объеме, здесь подняты мелкие обломки светлосерых диатомовых алевролитов и пропесчаников слабодиагенезированных, с редкими включениями мелкоокатанных галек размером до 2 см. Эти породы аналогичны породам, поднятым на этом полигоне в 1974 г., имеющим миоценовый возраст и залегающим на базальтах, что свидетельствует о домиоценовом возрасте последних.

Кроме указанных пород, подняты многочисленные гальки пород различного состава, среди которых преобладают липариты.

5.2.7. Четвертичные отложения Японского моря

Четвертичные отложения в Японском море изучались на полигонах I-A, II-A, в районе I2 и на профиле от б. Евстафия.

На полигоне I4-A, было взято 6 станций прямоточных трубок.

Они образуют профиль, вытянутый в широтном направлении вдоль северного края полигона. Пробы отбирались на глубинах от 945 м (ст. I425) до 1360 м (ст. I423). Максимальная длина колонки 203 см (ст. I421), минимальная - 117 см (ст. I422).

Полученные колонки имеют весьма сложное строение и не сопоставляются друг с другом.

В основном они состоят из пелита. Текстура его изменяется от массивной до пятнистой, но чаще всего неясно-пятнистая. Окраска же часто изменяется. Доминирующей является голубовато-серая, встречаются зеленовато-бурая, буровато-серая и т.д. Густота окраски различна. Местами в одном интервале одновременно находится три различных оттенков, отчего текстура становится неясно-пятнистая, причем фон непрерывно изменяется от одного оттенка к другому.

В пелите в различных местах наблюдается различное содержание фораминифер, достигая местами концентрации в 20-30% или образуя большие линзы, состоящие почти нацело из фораминифер. Высокая концентрация фораминифер приводит к тому, что данный материал называется как алевро-пелит или алеврит. Помимо пелита встречается алевро-пелит (например интервал 0-10 ст. I422) и алеврит-(интервал 103-105 ст. I422).

Изредка в трубках встречаются гравий и галька. Так на ст. I421 в интервале 95-97 см поднята одна галька средней окатанности диаметром 9 мм и гравелина диаметром 1,5 мм ороговикованного алевро-пелита; на ст. I422 в интервале 70-75 см в пелите поднято плохоокатанное зерно кварца, диаметром 3 мм, а в интервале 100-102 см в алевро-пелите гравелина средней окатанности, диаметром 8 мм, пемзы, на ст. I422 на глубине 81 см встречен угловатый обломок ороговикованного алевролита (?) диаметром 3 мм.

В трех колонках обнаружены трудно определимые обломки, по-видимому, остатки водорослей. Они представляют собой бурые, твердые, эластичные, несколько изогнутые, "палочки" длиной 6-8 мм. На ст. I421 они встречены в пелите на глубине 180 см, на ст. I426, там же в пелите в интервале I41-I82, а на ст. I425 в различных интервалах от 30 до I44 см.

Сочетание различных оттенков, текстурных особенностей, гранулометрического состава и наличия различных включений привело к обозначению весьма сложного строения описываемых трубок - в среднем на интервала с однородным материалом не превышает 10-15 см, притмы как таковые встречаются редко.

Границы между интервалами постепенные, изредка четкие. Например, на ст. I425 на 65 см наблюдается четкая граница сложной конфигурации, но в целом горизонтальная, между пелитом, зеленовато-серым, с неясно- пятнистой текстурой и пелитом голубовато-серым, светлым. На ст. I423 на 93 см наблюдается четкая горизонтальная граница со следами кропотинения и заполнения неровностей выше лежащим алевритом, светлым, голубовато-серым с высоким содержанием фтора, лежащим на среднем алевrite, темном, зеленовато-сером, светлом. В зоне контакта отмечается очень высокое содержание фтора.

Плотность материала в трубках преимущественно средняя, иногда значительно увеличивающаяся. Объясняется это способом отбора проб и, изменением гранулометрического состава фракции. Только на ст. I425 концу трубы в интервале I91-203 см наблюдается увеличение плотности пелита, которое, возможно, связано с увеличением возраста образования донных осадков.

На полигоне II-A отобрано 17 черпаковых проб и 3 колонки прямыми трубками. Черпаковые пробы отбирались на глубинах от 100 (ст. I531) до 585 м (ст. I510). Из-за неисправности черпака

значительная часть пробы при подъеме вымывалась и поэтому полученные пробы вряд ли можно считать представительными.

На глубинах до 150 м, как правило, поднимался песок серый, зеленовато-серый, разнозернистый, часто илистый, с раковинами фораминифер, исключение составляет ст. I531, где с глубины 102 м поднят алевритовый зеленовато-серый ил (1 см³), а песок отсутствует. Во всех станциях поднят гравий и реже галька средней и хорошей окатанности, преимущественно округлой формы, реже уплощенной (ст. I504, глубина 120 м). Состав гальки и гравия различен, но в основном это эфузивы кислого состава, ороговикованные алевролиты и кремнистые щебни. На ст. I530 (глубина 115 м) подняты два остроугольных зерна щебня до 6 мм. Помимо песка и гравия во многих станциях поднята ракуша, преимущественно, это выветрелые обломки брахиопод (ст. I530, I531 и др.).

С глубины выше 150 м (310 м и более) поднято 6 станций. Они представлены преимущественно алевритом песчанистым темно-серым, зеленовато-серым, часто слюдистым, иногда с фораминиферами. Исключение составляет ст. I527 (глубина 305 м), где поднят песок темный зеленовато-серый, илистый, разнозернистый, с редкими раковинами фораминифер. Помимо алевритового ила или песка во всех пробах подняты гравий, реже галька. Так, на ст. I509 (глубина 310 м) черпали около 2 кг. алеврита- песчанистого, темно-серого, с зеленоватым оттенком, содержащего раковинки фораминифер и многослойный гравий и гальку (до 9 см в поперечнике; один - 13 см), преимущественно фельзитов и кварцевых порфиров, реже андезитов и гранитов. Гравий и галька хорошо окатаны, галька уплотнена.

Трубы на полигоне II-A отбирались на глубинах 110, 125 и 210 м. Максимальная длина полученного керна 60 см.

На ст. I532 (глубина 110 м) поднят: C-27 в.

0-21 см - Алевро-пелит голубовато-зеленый с раковинами фораминифер и линзами разнозернистого песка с гравием и галькой до 4,5 см в поперечнике и небольшими выветрелыми обломками ракуши.

21-24 см - Песок заленный темный, зеленовато-серый, разнозернистый, с резко увеличивающимся к концу интервала содержанием гравия различного состава.

На ст. I533 (глуб. 125 м) поднят: 0-17 см - Алеврит зеленовато-серый, с большим количеством раковин фораминифер и редкими большими линзами разнозернистого песка. К концу трубки увеличивается количество и величина гравия и гальки до (6 x 5 x 2,5 см). Гравий и галька преимущественно хорошей окатанности. Количество ракуши незначительное.

На ст. I534 (глуб. 210 м) поднят: 0-12 см - Песок разнозернистый, преимущественно крупный, темный, зеленовато-серый, с галькой и гравием до 2,5 см длиной различного состава. Нижняя граница неровная, относительно четкая.

12-60 см - Алевро-пелит массивный, зеленовато-серый, с линзами разнозернистого песка той же окраски и с большим количеством гравия и мелкой гальки. Содержание гальки и гравия неравномерно - от 1-2 шт на 5 см плотности среза трубки до 5-6 шт (диаметр 47-55 см). Содержание фораминифер в трубке незначительно, обломки ракуши единичны. Плотность материала в трубках - выше средней где песок, где алевро-пелит и алеврит - средняя.

В районе I2 было отобрано I7 проб прямоточными трубками. Пробование проводилось на глубинах от 88 м (ст. I551) до II7 м (ст. I544). В целом полученные колонки весьма однообразны, поэтому здесь достаточно привести описание двух наиболее глубоких проб.

На ст. I547 (глуб. II0 м) получен следующий разрез верхней части четвертичных отложений.

0-4 см. - Галька с гравием различного состава хорошей окатанности, с незначительным количеством разнозернистого илистого песка, с относительно высоким содержанием фораминифер.

4-18 см - Алеврит средний, зеленовато-серый, массивный, с незначительным количеством фораминифер и редким гравием.

18-21 см - Песок разнозернистый илистый, зеленовато-серый, с большим количеством гравия и мелких обломков тонкостенной ракуши.

21-25 см - Алеврит крупный, с большим количеством песчанистых частиц и редкой галькой.

25-28 см - аналогичный интервалу 18-21 см.

28-30 см - аналогичный ин-лу 21-25 см.

30-36 см - Мелкий гравий с разнозернистым песком, илистым, с большим количеством мелких обломков тонкостенной ракуши.

36-46 см - Алеврит крупный до мелкого песка, зеленовато-серый, массивный, с редкой тонкостенной ракушей и галькой.

Все границы интервалов постепенные.

На ст. 1552 (глуб. 100 м) поднято:

0-6 см - Крупные гальки до 5 см в попечнике, различного состава, лежащие на поверхности дна почти без заполнителя. Ниже величина галек уменьшается, появляется гравий, много обломков ракуши различной величины. Наполнителем служит крупный алеврит, зеленовато-серый, с заметным содержанием фораминифер.

6-24 см. - Крупный алеврит (продолжение выше лежащего ин-ла), но количество гальки и гравия резко уменьшилось до единичной. Крупные обломки ракуши отсутствуют. Текстура неясно- пятнистая.

24-30 см - Песок разнозернистый, илистый, с большим количеством мелкого гравия и мелких обломков ракуши.

30-33 см - аналогичен интервалу 6-24 см, но с большим количеством песчанистых частиц.

33-42 см - аналогичен интервалу 24-30 см. встречается крупный гравий

Границы интервалов постепенные.

На профиле от бухты Евстафия по курсу 140° было отобрано 11 трубок, из них 10 результативных. Отбор производился от 42 м (ст. 1557) до средней части материкового склона - глубина 206 м (ст. 1566 м). До бровки шельфа верхняя часть четвертичных отложений представлена песком разнозернистым илистым, преимущественно мелким, с большим количеством гравия и гальки средней хорошей окатанности, различного состава. Количество и сохранность ракуши в различных трубках различна. Максимальная вскрытая мощность - 34 см (ст. 1557 м). Исключение составляет ст. 1558 (глубина 52 м), где поднят крупноалевритовый ил с большим количеством гравия и гальки до 5 см в попечнике различной формы и степени окатанности и различного состава, а так же большое количество обломков ракуши (до 5 см), некоторые раковины целые.

На глубине 104 м (ст. 1562 м) мощность песка илистого с гравием и галькой составляет уже 7 см. В песке отмечается большое количество раковин фораминифер. Ниже лежит алеврит крупный, зеленовато-серый, массивный, с редким гравием. Фораминифер мало. Вскрытая мощность алевритов 7 см.

Граница между интервалами постепенная.

На глубине 110 м (ст. 1563) вскрыт следующий разрез:

16 см - Крупный алеврит, зеленовато-серый, массивный, средней плотности, с редкими раковинами фораминифер. В верхней части (0-5 см) несколько галек и гравия хорошей окатанности, различного состава. В остальной части интервала гравий и галька единичны возможно, привнесены при отборе колонки из других слоев.

25 см - Гравий и галька (единичная) различного состава, пре-

имущественно кварцевых порфиров, различной степени окатанности, с небольшими обломками ракуши. Наполнитель—песок разнозернистый, плиский. Граница между интервалами постепенная. Аналогичный разрез вскрыт на глубине 120 м (ст. I564) и 206 м (ст. I566 м, длина колонки 24 см). Плотность вскрытых отложений средняя и зависит от гранулометрического состава разностей.

6. БИОЛОГИЧЕСКИЕ ИССЛЕДОВАНИЯ

Планктонные фораминиферы, обитающие в поверхностных слоях океана, являются хорошим температурным индикатором данного слоя. При анализе колонок донных отложений климатические изменения по вариациям состава фораминифер оцениваются качественно.

Последнее десятилетие внимание исследователей направлено на количественную оценку палеоклиматических изменений. Применение микрофаунистического метода и метода изучения изотопного состава кислорода в карбонатных скелетах беспозвоночных (чаще всего тех же фораминифер) для количественных реконструкций палеоклиматов затруднено отсутствием или неполнотой данных об условиях обитания *отдельные виды фораминифер приурочены к определенным глубинам*, организмов в вертикальном "столбе" воды. Безусловно, что температурам и т.д. Знание этих закономерностей позволит более правильно восстановить палеогеографические обстановки осадконакопления. Биология планктонных фораминифер Японского моря не изучена. Как в отечественной, так и зарубежной литературе приводятся отрывочные данные по отлову планктона в данном бассейне. Для выяснения горизонтальной зональности планктонных фораминифер по акватории моря нами был выбран профиль по меридиану 132° в.д. Этот меридиан хорошо совпадал с курсом судна, а также потому, что данный меридиан является опорным у ТИНРО. ТИНРО два раза в год делает планктонные отборы по этому меридиану. К сожалению, они в своих исследованиях не дают необходимой полноты данных, и к тому же заняты пробами в формалине, что часто приводит к разрушению скелета. Было выполнено 10 станций, глубина отбора 200 м.

В биологические исследования, также, входил сбор фауны моллюсков из дражных проб. Собран достаточно богатый материал, характеризующий зооценозы моллюсков по различным геоморфологическим элементам Японского и Восточно-Китайского морей (шельф,

материковый склон, подводные возвышенности и т.д.).

При лабораторных исследованиях планктона проб главное внимание будет уделено выяснению широтной зональности планкtonных фораминифер Японского моря и сопоставлению полученных результатов с картами распределения тех же организмов в поверхностном ~~еэ~~ слое осадка. Анализ малакофауны позволит более четко уяснить глубинную зональность как отдельных видов, так и их сообществ. Полученные результаты по планктонным организмам и малакофауне будут представлять интерес для биологов и геологов. Исследование будет проводиться в лаборатории стратиграфии и палеонтологии ТОИ и кабинете палеогеографии ТИГ. Сборы по малакофауне переданы в центральную ^{палеонтологическую} биологическую лабораторию Сах ТГУ.

7. ЗАКЛЮЧЕНИЕ

Основные результаты рейса следующие:

1. Впервые получены образцы неоген-четвертичных отложений материкового склона Восточно-Китайского моря по разрезу в интервале глубин 170-1200 м.
2. Впервые обнаружены осадочные палеоген-мезозойские и до-нембрийские метаморфические породы на склонах подводных возвышенностей в северной части трога Окинава. Ранее с подводных возвышенностей поднимались лишь вулканические породы или гранитоиды.
3. Получен важный материал по морфотектонике отдельных участков Восточно-Китайского моря.
4. Проведены среднемасштабные исследования рельефа, геоморфологии и геологического строения юго-западных частей Северного и Южного хребтов подводной возвышенности Ямато на общей площади 5800 км² (Японское море).
5. Получены образцы неоген-четвертичных отложений с опорного разреза материкового склона Японского моря в р-не зал.

Ольга. По ранее выполненным рейсам подобный материал имелся лишь для зал. Петра Великого.

6. Проведено драгирование склонов отдельных подводных гор вулканического происхождения, расположенных в глубоководных котловинах Японского моря.

7. Выполнено задание института по программе "Метрология".

8. Выполнено задание Главного Управления Навигации и Океанографии МО СССР по проверке существования банок в западной части Японского моря *Гидрографическое описание, том 2, Владивосток, 1975, с. 5-91.*

9. Выполнено задание Гидрографического Отдела КТОФ по маршрутным промерам.

Начальник экспедиции д.г.-м.н.

Берсенев - Берсенев

Литература

А. Опубликованная

Андреева И.Б., Удинцев Г.Б. Строение дна Японского моря по данным исследований экспедиции на "Витязе". Изв. АН СССР, сер. геолог. 1958, № 40, с. 3-20.

Берсенев И.И. О происхождении и развитии архипелага Сакисима и прилегающих к нему морфоструктур (Филиппинское и Восточно-Китайское моря). В кн: Геология окраинных морей Тихого океана. Труды Дальневосточного океанологического института, том 7, Владивосток, 1975. с. 162-170.

Васильев Б.И., Карп Б.Я., Стреев П.А., Шевалдин Ю.В. Строение подводной возвышенности Ямато (Японское море) по геофизическим данным. Изд-во Московского университета, М., 1975, с. 5-91.

Emery K.O., Yoshikazu Hayashi, Thomas W.C., Hilde, Kobayashi Kaguo, Ja Hak, Koo, Weng C.Y., Niino Hiroshi, Osterhagen J.H., Reynolds L.M., Wageman John W., Wong C.S., and Sung Jin Yang. Geological structure and some water characteristics of the East-China Sea and the Yellow Sea. Technical Bulletin, 1969 ECAFE, Vol. 2. pp 3-43

Б. Не опубликованная

Предварительный отчет о результатах геологической экспедиции на 10-м рейсе нис "Первенец". Берсенев И.И., Липкин Ю.С., Марков Ю.Д. Фонды ТОИ ДВНЦ АН СССР, Владивосток, 1971, 57 с.

Предварительный отчет о результатах геологической экспедиции на 15 рейсе нис "Первенец". Берсенев И.И., Марков Ю.Д. Фонды ТОИ ДВНЦ АН СССР, Владивосток, 1972, 24 с.

Отчет о геолого-геофизических исследованиях в 20 рейсе нис "Первенец" (Японское море). Берсенев И.И., Берсенев Ю.И., Леликов Е.П. и др. Фонды ТОИ ДВНЦ АН СССР, Владивосток, 1974, 112 с.

Отчет по теме "Комплексное геолого-геофизическое изучение шельфа континентального склона зал. Петра Великого". Васильковский Н.П. и др. Владивосток, 1974.

Отчет о результатах геоакустических, магнитометрических и гравиметрических работ на япономорском шельфе (р-н заливов Сяухэ и Ольги) по договору с ТОИ АН СССР "Южморгео" Тихоокеанская экспедиция. Безверхний В.Л. Южно-Сахалинск, 1974, 30 с.

Отчет о результатах геологических исследований в 21 рейсе нис "Первенец". Берсенев Ю.И., Леликов Е.П., Пущин И.К.. Фонды ТОИ ДВНЦ АН СССР, Владивосток, 1974, 25 с.

Отчет по теме: "Карта разломов СССР и сопредельных стран". Том У. Пояснительный текст по акватории Японского моря. Берсенев И.И., Липкин Ю.С., Сигова К.И. Фонды ТОИ ДВНЦ АН СССР, Владивосток, 1975, 88 с.

Отчет по теме: "Геологическое строение шельфа и материковых склонов Дальневосточных морей" № гос.регистрации 73960546. Безверхний В.Л., Берсенев И.И., Берсенев Ю.И. и др. Фонды ТОИ ДВНЦ АН СССР, Владивосток, 1975, 208 с.

Отчет о геологических исследованиях в 7 (24) рейсе нис "Первенец" (Японское море). Берсенев И.И., Берсенев Ю.И., Ващенкова Н.Г. и др. Фонды ТОИ ДВНЦ АН СССР, Владивосток, 1975, 62 с.

Отчет о геологических исследованиях в 25 рейсе нис "Первенец" (Японское, Восточно-Китайское и Филиппинское моря). Берсенев И.И., Ващенкова Н.Г., Леликов Е.П. и др. Фонды ТОИ ДВНЦ АН СССР, Владивосток, 1976, 61 с.

ЗАЧЕТКА

Отчет по теме: "Глубинное строение земной коры переходной зоны от Азиатского континента к Тихому океану по геофизическим данным (в 2^х частях). Карман В.П., Карп Б.Я., Ковылин В.М. и др. Фонды ТОИ ДВНЦ АН СССР, Владивосток, 1977, ч. I, с. 49-237.

Научный совет по геофизике
Физико-математический институт
имени Н.Н. Блохина Академии наук СССР

Ученый секретарь совета
Б.И. Ильинов
Л.Д. Аникин



Б.И. Ильинов
Л.Д. Аникин

ВЫПИСКА

из протокола №10 заседания Учёного совета ТОИ ДВНЦ АН СССР
25.09.77 г., г. Владивосток.

ДАЛЫ : отчёт №28 о рейсе "Первенца". Докл. д.г.-м.н.
Берсенев.

СТАНОВИЛИ : считать, что рейс прошёл на высоком уровне
и поставить одобрить и утвердить.



Член
Совета
Секретарь

ВЧМ

В.И.Ильин
А.В.Алексеев

Приложение I-Т

"Утверждаю"

И.О. председателя Секции наук о Земле
член-корр. АН СССР Г.А. Авсяк

9 февраля 1977 г.

НАУЧНАЯ ПРОГРАММА

28 рейса мис "Первенец" в Японское и Восточно-Китайское моря

Основной задачей экспедиции является продолжение изучения геотектонического строения и геоморфологии дна Японского моря и южной части Восточно-Китайского моря.

Геолого-геофизическая изученность акватории.

Для всей акватории Японского моря имеются карты аномального магнитного поля масштаба 1:1000000, аномального поля силы тяжести масштаба 1:2000000, схематические карты мощности осадочной толщи и профили консолидированного фундамента. Возвышенность Ямато изучалась профилями глубинного сейсмического зондирования (ГСЗ); методом отраженных волн (МОВ), в ее пределах пройдены профили непрерывного сейсмического профилирования (НСП) и в отдельных пунктах проведены измерения теплового потока. Большая часть геофизических исследований проведена Институтом океанологии АН СССР, его Тихоокеанским отделением и Тихоокеанским океанологическим институтом ДВНЦ, а также японскими и американскими экспедициями.

В Восточно-Китайском море проведены непрерывные гравиметрические наблюдения, профили магнитной съемки по разреженной сети, выполнено вертикальное глубинное зондирование на отдельных станциях, установлены пункты измерения теплового потока и точечные гравиметрические наблюдения с подводных лодок. Большая часть этих работ проведена американскими и японскими экспедициями, а также Тихоокеанским отделением института океанологии и Тихоокеанским океанологическим институтом ДВНЦ АН СССР.

На возвышенности Ямато геологические исследования ограничиваются

ся разрозненными драгированиеми, проведенными в различные годы, а также драгированием, выполнением на одном полигоне (I4) в 24 рейсе иис "Первениц", расположеннном на юго-западном ее окончании.

В Восточно-Китайском море драгирование проведено на трех полигонах, расположенных в его северной части, в 25 рейсе иис "Первениц", выполнением Тихоокеанским океанологическим институтом, а также имеются данные о рыхлых отложениях северной части Восточно-Китайского моря.

Батиметрической основой район предполагаемых работ обеспечена неравномерно. По Восточно-Китайскому морю имеются среднемасштабные карты, а для внутренней части Японского моря только карты мелкого масштаба.

Методика исследования. Исходя из имеющегося на судне оборудования, основными видами работ будет драгирование склонов подводных возвышенностей и отбор проб донных осадков прямоточными трубками и черпаками. Эти работы будут проводиться без геофизических работ. Исследования планируется провести в Японском море на 4 полигонах и в Восточно-Китайском море на 2 полигонах.

В Восточно-Китайском море планируется выполнить исследования на II и I2 полигонах, расположенных в южной части моря к западу от архипелага Окинава, на западном и восточном склонах трога Окинава. Основной задачей исследований в этом районе является изучение разреза неоген-четвертичных отложений с планктонными организмами открытых морей.

Ориентировочные координаты центров полигонов (с.ш., в.д.): II- $26^{\circ}50'$; $126^{\circ}00'$ и $12-26^{\circ}00'$; $126^{\circ}30'$. Выбор места полигонов в южной части трога Окинава обусловлен тем, что работы, проведенные в 25 рейсе иис "Первениц", пока зали отсутствие крутых удобных для драгирования склонов в бортах северной части этого трога.

В Японском море планируется сосредоточить исследования на

возвышенности Ямато, с целью изучения слагающих ее докайнозойских образований и разреза неоген-четвертичных отложений. Программой рейса предполагается провести изучение Северного и Южного хребта возвышенности Ямато, разграниченных глубоководной впадиной, что позволит сравнить геологическое строение двух разобщенных участков этой крупной структуры.

Полигон 14 предполагается разбить на юго-западном склоне Северного хребта. Он будет представлять собой продолжение 14 полигона, исследования на котором были начаты в 24 рейсе мис "Первенец". Полигон 27 проектируется разбить на северо-западном склоне северного хребта. Геологические работы на Южном хребте предполагается провести на двух полигонах - 28, расположенным на западном склоне, и на 29, разбитом на северо-восточном его склоне.

Ориентировочные координаты центров полигонов (с.ш., в.д.):
14 - $39^{\circ}40'$; $133^{\circ}30'$; 27 - $40^{\circ}10'$; $134^{\circ}00'$; 28 - $39^{\circ}10'$; $134^{\circ}10'$;
29 - $39^{\circ}20'$; $135^{\circ}20'$.

Методика работ на полигонах будет аналогична разработанной предыдущих рейсах мис "Первенец". В месте предполагаемого расположения полигона будут проведены эхолотные промеры с привязкой к береговым с помощью РНС "Лоран-А и С" или судовой РЛС "Дон" к береговым ориентирам. По этим промерам будет составлена батиметрическая карта полигона масштаба 1:100000 и выбраны участки с крутыми склонами, удобными для драгирования, вблизи которых будет установлен коренный буй. С привязкой к этому бью, осуществляющейся с помощью судовой РЛС "Дон", будет выполнена дополнительная сеть промерных линий и составлена батиметрическая карта масштаба 1:25000. Драгирование будет проводиться последовательно от меньших глубин склонов к большим. Основная цель драгирования - отбор проб горных пород из коренных обнажений.

Координаты буев определяются с помощью РНС "Лоран-А и С" и

астрономическим способом по утренним и вечерним звездам.

Экспедиция будет состоять из двух отрядов - геологического и гео-
логического. Первый отряд обеспечивает установку и снятие
измерений, драгирование и отбор проб прямо точными трубками и дночерп-
ающими аппаратами, а также первичную документацию и упаковку образцов. Гео-
логический отряд обеспечивает вахту на эхолоте, составление
геометрических карт и в необходимых случаях оказывает помощь гео-
логическому отряду. Общий состав экспедиции 13 человек.

Этапы работ.

Этап I. Переход из Владивостока на полигон II	-5	суток
2. Работа на полигоне	-4	суток
3. Переход на полигон 12	- 0,5	"-
4. Работа на полигоне	- 4	"-
5. Переход от полигона 12 в Вонсан	- 4,5	"-
6. Стоянка в порту Вонсан	- 2	"-
7. Резерв на штормовую погоду	- 4	"-

Всего: 24 суток

Этап I. Переход из Вонсана на полигон 14	- 1,5	сут.
2. Работа на полигоне	- 5	суток
3. Переход на полигон 27	- 0,5	"-
4. Работа на полигоне	- 5	"-
5. Переход с полигона 27 в Вонсан	- 2	"-
6. Стоянка в порту Вонсан	- 3	"-
7. Резерв на штормовую погоду	- 4	"-

Всего: 21 суток

Этап I. Переход из Вонсана на полигон 28	-2	суток
2. Работа на полигоне	-5,5	"-
3. Переход на полигон 29	-0,5	"-
4. Работа на полигоне	- 6	"-

5. Переход от полигона 29 во Владивосток -2 суток
6. Резерв на штормовую погоду - 4 суток

Всего - 20 суток

Итого 65 суток

Обеспечение безопасности

Для своевременного обнаружения приближающейся штормовой погоды будет производиться прием карты на приборе "Фак-П" и радиоводок. При работе на полигонах II и I2 укрытием может служить Окинава, а на полигонах I4, 27, 28, 29 - Японские острова.

Ожидаемые результаты

Всестороннее изучение образцов горных пород, поднятых со дна подводных возвышенностей, в совокупности с имеющимися физическими и геоморфологическими данными позволяют продолжить составление геологической карты дна Японского моря.

Отчетная документация

После окончания рейса представляется краткая информационная записка с изложением объемов выполненных работ и основными геологическими результатами.

Директор Тихоокеанского океанологического института
председатель Океанографической комиссии ДВНЦ
— М.И.

В.И.Ильичев

председатель Президиума ДВНЦ АН СССР
корреспондент АН СССР

А.П.Карица

VERNO ДВ НЦ АН СССР
Зас. канцелярией ТОИ № 1 —
8 · Октябрь 1977 г.

Начальнику экспедиции
28 рейса м/s "Первенец"

д.г.-м.н. И.И.Берсеневу

В дополнение к научной программе, утвержденной
председателем Секции Наук о Земле АН СССР 9 февраля 1977 г.

Предлагаю выполнить следующее задание:

1. Провести промер и проверку банок:

глубина 22 м; "ПС"; $38^{\circ}18' \text{ с.ш.}$; $130^{\circ}14'8'' \text{ в.д.}$

- " - 59 м; "СС"; $38^{\circ}24'0'' \text{ с.ш.}$; $130^{\circ}07.5'' \text{ в.д.}$

2. Произвести комплексные исследования на полигоне II-A в
районе ограниченном координатами:

глубина $43^{\circ}52' \text{ с.ш.}$; $135^{\circ}58' \text{ в.д.}$; $135^{\circ}44' \text{ в.д.}$

- " - $43^{\circ}58' \text{ с.ш.}$; $135^{\circ}58' \text{ в.д.}$; $135^{\circ}46' \text{ в.д.}$ эхолотные
промеры, драгирование, отбор пробных осадков дночерпательями
и прямоточными трубками. Время проведения работ - во второй
 половине третьего этапа рейса.

Директор института
чл.-корр. АН СССР

В.И.Ильичёв

ВЕРНО ДВ ИЦ АН СССР
Зас. канцелярией ТОИ
8. сентябрь 1977 г.

8 . есін сөзіл +

РЕЙСОВЫЙ ОТЧЕТ

капитана нис "Первенец" Парфенова Н.И. по рейсу № 28.

с 31 марта 77г. по 04 июня 1977 года.

Задачи рейса: Продолжение изучения геологического строения и геоморфологии дна Японского моря и южной части Восточно-Китайского моря. Основными видами работ было драгирование склонов водвоздных возвышенностей; отбор пород трубками, черпаками; промеры. При обнаружении крутых склонов устанавливается занюренный буй, проводится серия галсов эхолотных промеров. Составляется батиметрическая карта, затем проводится драгирование.

Задачи экипажа: Задачей экипажа является обеспечение безаварийного плавания судна, бесперебойного обеспечения работы всех механизмов и устройств, надежной работы электро радионавигационных и стурманских приборов. Обеспечение максимально возможной точности в определении места судна с использованием всех средств, имеющихся на судне. Выполнение всех работ и маневров на полигоне. Содержать судно в хорошем техническом и санитарном состоянии. Поддерживать должностное дисциплину, деловой контакт с научными сотрудниками, прилагая все возможное для выполнения научной программы и поддержания высокой трудовой дисциплины.

Подготовка судна к рейсу: К 15 марта 1977 г. нис "Первенец" был готов выйти в рейс № 28 для выполнения план-программы. Срок годности документов был по 27 марта 77г., а далее следовала шестимесячная вилка, данная Регистром СССР, на основании которой и планировалась работа судна вплоть по 27 сентября 77 г. Научный состав прибыл на судно 29 марта, т.е. в день, назначенный на отход согласованию со всеми службами и инстанциями. При оформлении отхода портовые власти судна не оформили. Причиной явилась шестимесячная вилка, данная Регистром СССР в марте 1976 г. Администрация

судна приняла срочные меры и 30 марта сдала судно Регистру СССР по всем частям. В 20-00 был взят отход и сообщена об этом начальнику экспедиции Берсеневу И.И. и секретарю партгруппы Пущину И.К.. 31 марта в 14-00 местного времени судно снялось с якоря и вышло в море. Таким образом, вместо 01 апреля по плану судно вышло в рейс на один день раньше, имея на борту 18 человек команды, 14 человек научного состава, 54 тонны топлива, 32 т. пресной воды.

Работа экипажа по выполнению задач рейса: В целом работа экипажа проводится хорошо. Штурманский состав Крячко В.И. - ст. помощник капитана, Моргун Л.Г. - 3-й пом. капитана работали четко и добросовестно. Определение места судна делали своевременно и надежно. Со своими обязанностями не смог полностью справиться 2-й пом. капитана Ткачевский В.С. Имели случаи недобросовестного ведения про кладки и определения места судна, в связи с чем некоторые галсы пришлось исключить из промеров. Допустил просчет при получении мучных изделий из крауп. Машинная команда, во главе со старшим механиком Скачковым А.Г., замечаний по работе не имела. Профилактические работы по механизмам велись как в море, так и в портах заходов. Со своими обязанностями машинная команда справилась хорошо. Радиосвязь осуществлялась регулярно и без задержек. Палубная команда к своим обязанностям относилась серьезно, поведение в повседневной жизни судна отличное.

Условия и районы плавания: 31 марта 77 г. нис "Первенец" в 14-20 снялся с якоря и вышел в море для выполнения научной план-программы. Пройдя о.Аскольд и выйдя на 132 меридиан, судно легло на курс на глубину более 200 м и начали эхолотные промеры 180 градусов, после выхода с взятием планктона через каждые 35 миль. Засор планктона велся вплоть до Корейского пролива (Цусима). Далее судно последовало на материковый склон в Восточно-Китайском море, где и начало свои работы утром 06 апреля 77 г. Работы начались с промеров и поиска удобных мест для драгирования. Первые пробные

иции драгирования получились неудачными. Люди начинали, только
изаиваться и привыкать. Сильно препятствовало нормальной работе
чение Куро-Сиво со скоростью до 3-х миль. 07 апреля перешли для
одолжения работ в район № II, где начали работы также с эхолот-
промеров. Метеоусловия были сносными. Определения места судна
РНС "Лоран" ^{были} хорошиими за исключением 2-3 часового ночного времени,
гда наблюдались сильные помехи. Работы согласно план-программы
ись в Восточно-Китайском вплоть до 20 апреля 77 г. Все намечен-
планы были выполнены, и судно снялось для пополнения свежих
продуктов и пресной воды в порт Хыннам КНДР. При следовании в п.Хын-
судно попало в штурм силой в 8-9 баллов. На переходе в п.Хыннам
ировалось провести эхолотные промеры на полигоне № I6. Но из-за
хой погоды работы пришлось отставить. 21 апреля 77 г. судно в
10-00 утра встало на якорь в р-не лоцманской станции. В 11-00 на
судна прибыли власти и лоцмана. В п.Хыннам судно стояло 2 су-
и 8 часов. За это время были получены продукты, яблоки, пресная
вода. 23 апреля 77 г. в 18-00 судно отдало швартовы и последовало
выход из порта. Отойдя от лоцманской станции на глубины более
10 метров, начали эхолотные промеры курсом на полигон № I6, где
быть провести работы по эхолотированию не удалось. Из района № I6
последовало для проведения работ на полигонах №№ I4-A, 28,
26. С 25 апреля 77 г. по 13 мая 77 г. включительно: метеоусловия
хорошиими, работа велась в две смены, а в ночное время проводи-
лись эхолотные промеры. Все работы, запланированные по плану в этих
районах, были выполнены в срок. В связи с выполнением работ, судном
в районах №№ I4-A, 26, 28. 14 мая 77 г. нис. "Первенец" последо-
в в порт "Вонсан" КНДР с заходом на полигон № I6. Провести снова
эхолотные промеры не удалось из-за плохой погоды. 16 мая 77 г. в
10-30 судно встало на якорь в районе лоцманской станции в координа-
ции широта 39 градусов 13 минут N, долгота 127 градусов 46 минут

Заранее. Заход в порт Вонсан сравнительно удобен. При следовании в порт и из порта можно пользоваться РЛС. Следуя в порт, необходимо находиться правой стороны фарватера. Фотоаппараты необходимо закрыть в сейфе (рундуке). Погранвласти пытаются утверждать, будто кто-то фотографировал. Поэтому, имея все фотоаппараты под замком, полностью можно исключить любые провокационные действия. По территории небольшой, к причалу могут становиться только судно длиной 10 метров и судно длиной в 80 м. В порту находятся сигары леса. Расстояние в 400 имеется коса, на которой базируется военный аэродром с самолетами МИГ-19. Стоянка удобна, но нужно иметь в виду неожиданные сильные шквалистые ветры. В случае вывода машины из эксплуатации, необходимо заранее подать заявку агенту. Получение снабжения организовано плохо. Ассортимент продуктов мал, подвозят несвоевременно и с большим опозданием. Экскурсионные автобусы подают, не соблюдая времени согласно поданной заявки. Советские газеты на судно не привозят. После 19-00 вечера лоцманская плата за проводку судов удваивается. Город посещают туристы, можно совершить экскурсию в Алмазгоры. В городе имеется: гостиница "Интурист", парк, пляж, зоопарк. Закончив продукты снабжения и пресную воду, судно вышло из порта 18 мая 77 г. и в 22-20, высадив лоцманов, легло на курс, следуя в район № 16.

19 мая 77 г. судно работало на полигоне № 16. Произведи постановку на глубине 850 м. Начали эхолотные промеры согласно инструкции в промерах. Закончив работы, снялись для продолжения работ в районе № 27, 20 мая в 01час.05 минут. На полигоне № 27 эхолотные промеры и драгирование велись в течении 10 часов 30 минут. 22 мая г. судно пришло в район 10-А и начало работы в ожидании разрешения для производства работ на полигоне № II-А. На полиграонах № № 10-А, 22, 23 работа велась до 02 июня 77 г. Работы производились следующие: на полигоне № II - эхолотные промеры и отбор трубок. На полигоне № 1 - эхолотные промеры, драгирование и частично отбор трубок.

траверзе бухты Евстафия только отбор трубок через про-
шитов в одну милю. 01 июня в 10 часов снялись в район № 23.
Здесь производили эхолотирование и драгирование до 16 часов 02 июня
г. В связи с подходом центра глубокого циклона судно снялось
и последовало под береговое укрытие в залив Восток. 03 июня 77 г.
зима начала улучшаться и судно в 18-00 снялось в порт Владивос-
точка, куда прибыло в 02-20 часа. Успешно выполнив полностью научную
план-программу 28-го рейса, нис. "Первенец" пробыл в рейсе 65
дней, пройдя без пополнения топлива 7240 миль. С промерами прой-
дено 3110 миль. Полностью отсутствовало нарушение правил техники
безопасности и несчастных случаев. Экипаж и научные сотрудники
экспедиции проявили в рейсе высокое трудолюбие и хорошие морские
качества.

Предложения для увеличения эффективности работы судна и его
эксплуатации:

1. Производить ремонт судна в осенне-зимний период.
2. Представлять капитану план-программу.
3. Научному составу сдавать паспорта и санпаспорта не менее, чем
за трое суток до отхода.
4. Научным сотрудникам, работающим на лебедках и других палубных
механизмах, иметь свидетельства об умении эксплуатации механизмов.
5. Всю радиопереписку с портом Вонсан необходимо вести через
радиостанцию п.Хыннам. Позывной п.Вонсан **KWSA Wonsan**

Политика-массовая работа и общественные
мероприятия на судне.

Во время 28 рейса на судне находилось 5 членов КПСС.

Капитан - Парфенов Н.И., 3-й помощник к-на Моргун Л.Г., начальник
экспедиции Берсенев И.И., ст.н.с. Пущин И.К., ст.н.с. Липкин Ю.С.
Перед выходом в рейс было проведено партийное собрание, где секретарь
партийной группы был выбран Пущин И.К. После выхода судна в море,

судне провели общесудовое собрание с участием всего л/состава. Собрании л/состав был ознакомлен с программой экспедиции. Провели выборы в общественные судовые организации. Избрали судовой комитет, комиссию, органы стенной газеты и фотогазеты, 8 политинформаторов. Проведено комсомольское собрание, где был избран секретарем Ярослав Золотухин. За время рейса еженедельно проводились политинформации на тему "Международный обзор и соытия в СССР". Читались лекции перед заходом в порты КНДР, Ленинским субботником, Днем Геологов, информацией о новой Конституции СССР. Перед праздниками организовывались вечера с участием всех членов экспедиции. На 9 мая в честь праздника Победы проведен митинг. При проведении лекций активно выступали Берсенев И.И., Липкин Ю.С. Регулярно выпускалась газета "Лицей"-орган партийной, профсоюзной и комсомольской организации. Выпущена фотогазета. Активно проведен Ленинский субботник. В порту Хыннам организована экскурсия в город, музей, парк, зоопарк. Командой проводились тех. занятия, учения, командирская учеба, тренирования. Со всеми членами экспедиции изучались правила поведения моряков за границей, правила увольнения на берег. Несмотря на это, в отчалению, были нарушения правил поведения моряка за границей. В этом капитан докладывал на Бюро парткома ОНИФ ДВНЦ, где присутствовали начальник экспедиции Берсенев И.И. и секретарь партгруппы Ильин И.К. 22 апреля 77 г. в порту Хыннам опоздали из увольнения механик Смирнов Ю.В. и инженер Теницкий И.И. В основном после тренирования и выполнения план-программы на собрании партгруппы судна работа партгруппы и других общественных судовых организаций оценивается удовлетворительно.

Четыре кальки маршрутных промеров отданы Берсеневу И.И.

Капитан лис. "Первенец"

30.06.77 г.

Парфенов

ВЕРНО ДВ НЦ АН СССР

Печ. начальницеи ТОИ *Л.И. Парфенов*
8 · *еши сюда* 7

И А Т А Й О Г Р И Т А Н И Й

№ п/п	№ станицы	№ поли- гона	Прибор	Глубина	Координаты: числитель - широта; знаменатель - долгота	Геоморфологичес- кая привязка	Краткая характеристика пород		Пр- ла- мы- во:
							9	8	
1	2	3	4	5	6	7			
1	1352	Планкто- ная сетка		200	<u>42°21,7</u> <u>131°59,4</u>				
2	1353		-"	-"	<u>41°53</u> <u>131°59</u>		-" -		
3	1354		-"	-"	<u>41°22,0</u> <u>131°59,3</u>		-" -		
4	1355		-"	-"	<u>40°47,8</u> <u>131°58,9</u>		-" -		
5	1356		-"	-"	<u>40°22</u> <u>132°01,2</u>		-" -		
6	1357		-"	-"	<u>39°39,0</u> <u>131°59,9</u>		-" -		

	1	2	3	4	5	6	7	8	9
7	I358	планктон-ная сетка	200		$\frac{39^0 10,6}{131^0 57,7}$			Планктон	
8	I359	-" -	-" -		$\frac{38^0 05,8}{131^0 51}$			-" -	
9	I360	-" -	-" -		$\frac{37^0 31,4}{131^0 49,7}$			-" -	
10	I361					МОРЕ			
11	I362	ВОСТОЧНО-КИТАЙСКОЕ	драга	900-800	$\frac{26^0 18,3}{125^0 22,0}$	Крутой склон			
12	I363	-" -	-" -	700-650	$\frac{26^0 21,0}{125^0 24,0}$	-" -			
13	I364	-" -	-" -		$\frac{26^0 21,0}{125^0 28,0}$	-" -			
14	I365	-" -	-" -	1150-900	$\frac{26^0 19,0}{125^0 24,0}$	Ил серый с зеленоватым оттенком			

1	2	3	4	5	6	7	8	9
15	1366	II	драга	II50	<u>26°19,2</u> 124°58,4	Крутой склон	Пустая	
16	1367	-"	-"	800-750	<u>26°19,2</u> 125°01,0	-" -	Ил плотный пятнистый с примесью мелкой битой ракушки	
17	1368	-"	-"	II00-950	<u>26°19,4</u> 125°00,0	-" -	Ил серый, алевро-песчанистый, бораминиферовый Дл серый с голубоватым оттенком Глинистый алевролиты серые с зе- лешоватым оттенком, изъеденные илюедами, пропитанные гидроокис- лами	
18	1369	II	драга	850-800	<u>26°19,8</u> 124°57,0	-" -	Алевролит тонкопесчанистые серые с бурыми пятнами, слюдистые, мас- сивные Известник грязно-белый, органоген- ный, кавернозный. Песчаник бурый с зеленоватым от- тенком мелко-средне зернистый, известковистый.	

1	2	3	4	5	6	7	8	9
19	1370	II	драга	III00-1000	$\frac{26^0 19,7}{124^0 58,8}$	Крутой склон	Пустая, порвавшаяся сетка	
20	1371	"	-"	II150-1200	$\frac{26^0 19,5}{124^0 58,0}$	Нижняя часть крутого склона	Алеврит серый, чуть зеленоватый, тонко-песчанистый, слюдистый Алевриты буро-зеленовато-серые с слабо выраженной плитчатостью, слабо- слюдистые, с многочисленными ходами илюедов	
21	1372	"	-"	950-850	$\frac{26^0 19,8}{124^0 58,5}$	Средняя часть крутого уступа	Песчанистые алевролиты серые с зеле- новато-буроватым оттенком, слюдистые Глинистые алевролиты, слюдистые, серые с зеленоватым и бурым оттенком Алевролиты песчанистые серые с зеле- навато-голубоватым оттенком	
22	1373	"	-"	1050-950	$\frac{26^0 18,5}{125^0 02,1}$	Нижняя часть крутого уступа	Алеврит серый, массивный с примесью мелкой битой ракуши. Песчаники зеленовато-серые с бурыми пятнами, кавернозные, средне-зернистые известковистые, с ходами илюедов. Известковистое стяжение трехгранный формы.	
23	1374	"	-"	959-850	$\frac{26^0 18,8}{125^0 02,2}$	Крутой склон	Базальт зеленовато-серый пористый. Один кусок конгломерата (?) сильно выветренного	
24	1375	"	-"	800-700	$\frac{26^0 19,5}{125^0 01,0}$	-"	Гравелистый песчаник бурый с выветрен- ной поверхности покрыт черной корочкой.	

1	2	3	4	5	6	7	8	9
25	1376	II	драга	750-650	$\frac{26^0 19,7}{125^0 00,5}$	Верхняя часть крутого склона	Конгломераты с галькой до 7 см сплош- тированной туфогенным (?) песчаником.	
26	1377	-"	-"	1500-1400	$\frac{26^0 13,7}{125^0 08,0}$	Нижняя часть крутого склона	Известняки органогенно-обломочные серо-зеленые, буро-желтые с хорошо окатанной галькой до 7-10 см сплош- тированной песчанистым материалом.	
27	1378	-"	-"	1100-1050	$\frac{26^0 13,7}{125^0 11,0}$	Средняя часть крутого склона	Пустая	-" -
28	1379	-"	-"	1450	$\frac{26^0 12,5}{125^0 11,0}$	Нижняя часть крутого склона		-" -
29	1380	-"	-"	1450-1400	$\frac{26^0 12,7}{125^0 10,9}$			-" -
30	1381	-"	-"	1400-1300	$\frac{26^0 12,8}{125^0 10,8}$	Основание крутого склона		-" -
31	1382	-"	-"	620-600	$\frac{26^0 22,4}{124^0 54,5}$	Крутой склон	Песчаники светло-серые с буроватым оттенком, известковистые (органоген- ный), плохо сортированные, очень плабо сплентиризованные Известняк песчанистый коричневато-	

1	2	3	4	5	6	7	8
32	I383	II	драга	II50-II100	<u>26°19,4</u> I24°54,7	обрывистый склон	серый, плотный, массивный с редкими включениями ракуши.
33	I384	--"	--"	550-600	<u>26°21,0</u> I24°56,0	--"	Пустая (расщупирована сетка)
34	I385	--"	--"	400-300	<u>26°27,0</u> I24°58,5	Поверхность опущенного щельфа	Известковистые тонко зернистые песчаники буро-серые, плотные в виде уплощенных коркообразных обломков. Песчаники известковистые, среднезернистые, серые с зелено-ватым оттенком, слюдистые в виде обломков "ветвистой" формы. Песчаники известковистые, среднезернистые; серые, плитчатые.
35	I386	--"	--"	300-240	<u>26°26,0</u> I24°54,2	Острая вершинка высотой 30 м на вершине сопки	Коркообразные обломки известковистых песчаников буровато-серых, плотных, крепких. Песчаники известковистые серо-бурые, плитчатые
36	I387	--"	--"	260-170	<u>26°34,9</u> I24°49,7	Несколько острых вершин у бровок щельфа	Ил алевро-лесчанистый серый, массивный. Коркообразные обломки известковистых песчаников тонко зернистых, буровато-серых. Песчаники известковистые средне-зернистые, плитчатые.

37	1388	II	драга	1450-1300	$\frac{26^{\circ}13,8}{125^{\circ}08,3}$	Крутой склон опущенного го шельфа	7	8
38	1389	-"	трубка	470	$\frac{26^{\circ}18,5}{125^{\circ}09,0}$	Пологий склон опущенного го шельфа	5	9

Ил серый алевритовый с примесью пест-
чанистого материала.
Один маленький кусочек пемзы светло-
серой, пористой.
Один малюсенький (1,5 см) кусочек
буровато-желтого алевролита (?)

0-5 крупный алеврит буровато-серый в
верхней части, желтовато-серый свет-
лый в нижней части, массивный, много-
фотаминифер, нижняя граница постепен-
ная.

5-22 Крупный алеврит с большим коли-
чеством голубовато-серого или, пятнист-
ый фотаминиферовий.
22-29,5 продолжение вышеописанного
интервала с включениями голубовато-
серого пелита, в интервале 24 см два
обломка раковин и обугленный (?)
обломок древесины (?)

29,5-50 продолжение предыдущего
интервала, но голубовато-серый пелит
обра зует полосу в 2 см под углом
5-7° к оси трубки.

50-58 - фотаминиферовый крупный
алеврит 58-85 - аналогичен интервалу 22-
29,5;
В интервале 77 см обломки тонкостен-
ных раковин (до 2 мм)

86-96 - продолжение вышеописанного
интервала, но здесь уже преобладает
алевро-пелит, а крупный алеврит

	1	2	3	4	5	6	7	8
39	II							
	Трубка							
39								
40								
41								
42								

составляет линзы вытянутой формы.

96-159 - алевро-пелит средней плотности, массивный, голубовато-серый; в интервале 117-128 сложной конфигурации линза среднезернистого алеврита.

159-164 - Крупный алеврит зелено-вато-серый с большим количеством фрагментов, массивный, с единичными обломками тонкостенной ракушки.

Пологий склон опущенного шельфа

Пустая

-"

-"

-"

Пологий участок материкового склона

Алевро-пелит серый, массивный, в ин-лах 15-15,5 и 37-37,5; 95-96 небольшие округлые включения, состоящие почти нацело из фрагментов; в ин-ле 68-70 вытянутое стяжение алевро-пелита большей плотности зеленоватой окраски, в ин-ле 59 встречена пелициподы (6мм)

1	2	3	4	5	6	7	8	9
43	1394	II	трубка	275	$\frac{26^0 19,2}{125^0 17,3}$	Пологий склон опущенного щельда	Пустая	
44	1395	-"	-"	280	-"-	-"-	Пустая (одна гравелинка)	
45	1396	-"	-"	565	$\frac{26^0 16,8}{125^0 14,0}$	Пологий участок материального склона	0-II Крупный алеврит с большим содержанием фрагментов и спикул губок, зеленовато-серый, массивный.	
46	1397	ВНЕ роли- гома	драга	800-620	$\frac{28^0 53,0}{128^0 27,0}$	Крутой северный склон небольшой возвышенности	Пустая, порвана сетька	
47	1398	-"	-"	650-600	$\frac{28^0 53,5}{128^0 26,0}$	-"-	Песчаники светло-серые тонкозернистые, слюдистые, слабо известковистые плитчатые.	
48	1399	-"	-"	190-170	$\frac{29^0 59,0}{128^0 24,0}$	-"-	Песчаники зелено-серые, мелкозернистые, слюдистые. Один кусочек бурого, изъеденного илюедами алевролита. Две обломочки светло-серой пористой гемзы.	
							Известняки органогенные, ноздреватые пористые, серые с бурыми разводами, пятнистые на свежем сколе.	
							Брекчия темно-бурая, почти черная, полуокатанные обломки cementированный карбонатным цементом	

			2	3	4	5	6	7	8	9
51	I402	ЯПОНСКОЕ МОРЕ	I100-I000	<u>39°08,5</u>	<u>I33°25,2</u>	средняя часть крутого склона "споки"	Туфопесчаники зелено-зато-серые сред- не зернистые слюдистые с включениями обломочков белых туфов (?). На одной из плоскостей отмечено зеркало сколь- жения. Туфоалевролиты светлые с зелено-ва- тым оттенком, массивные, с налетами глауконита и гидроокислов Fe и Mn по трещинам.	Цефилто-псаммитовые туфы липаритов светлые с буровато-зеленоватым оттенком. Базальты буровато-серые, выветрен- ные, гиалопилитовые, плотные или но здревато-пористые, с налетами гидроокислов Fe и Mn.	Один полуокатанный обломок кирпич- но-красного псаммитового туфа базальта (?). Несколько хорошо окатанных галек (до 3 см), состоящих из кремнистых алевролитов, кремней, серых базаль- тов.	Туфопесчаники (туффиты) среднезернистые светлые зелено-бурые, пят- нистые, некрепкие, пронизаны спикулами губок. Туфоалевролиты, аналогичные выше- описанным, но более юонкие, с редкими включениями гравелик.
52	I403	-" -	-" -	I100-I000	<u>39°09,0</u>	<u>I33°25,3</u>	Средняя часть крутого склона "споки"			

			2	3	4	5	6	7
53	I404	драга	1090-1050	<u>39°15,5</u> 133°29,0	обрывистый склон			
54	I405	-"	-" -	<u>39°15,0</u> 133°28,5	-" -			
55	I406	-"	930-900	<u>39°14,5</u> 133°29,0	обрывистый склон			
			700-720					

Псаммитовые туффиты зелено-вато-голубоватые, с включениями вулканических стекол в виде линзочек и мелких точек. Базальты бурые, темно-серые, плотные, пористые, ноздревато-пористые. Базальты полурастянутые залежи, со скорлуповатой отдельностью, с поверхности хлоритизированы, глауконитизированы. Базальты кирпично-красные миндалевые.

Диороксен-амфиболовые щелочные диориты средне-зернистые. Розовые сиенитоподобные породы. Розово-серые биотитовые граниты. Средне-зернистые и более лейкохроматовые мелко-зернистые граниты.

Розовые амфиболовые граносиениты с переходами до щелочных гранодиоритов. Серые амфибол-биотитовые среднекрупнокристаллические граниты. Граниты серо-розовые среднезернистые с порфировыми выделениями калишпатом извого калишпата.

Амфибол-биотитовые граниты с гнейзами

	2	3	4	5	6	7	8	9
56	I407	I4-A	драга	900-950	$\frac{39^{\circ}14,0}{133^{\circ}29,5}$	Обрывистый склон	Серые биотитовые среднезернистые граниты.	
							Розовые биотит-амфиболовые граниты с среднекристаллической основой массой и порфиритами выделениями калишпата.	
							Те же граниты с зеркалами скольжения	
							Один обломок темно-серых с зеленоватым оттенком андезитовых порфиритов.	
							Ил зелено-серый песчанистый с вклю- чениями гальки и гравия, неяснополос- чатой текстуры.	
							Один кусок черной сажистой пемзы.	
57	I408	-" -	-" -	II20-I050	$\frac{39^{\circ}12,1}{133^{\circ}30,7}$	Крутой уступ высотой 50 м	Граниты светло-серые лейкократовые, интенсивно катаклизированные и оквар- цованные.	F_{e-Mg} - конкремции брекчевидные, от
							Более мелкие обломки так же гра- нитов с корочками F_{e-Mg} окислов	ржаво-бурых рыхлых участков до рожко- коричневых блестящих.
				1250-I000	$\frac{39^{\circ}09,0}{133^{\circ}32,5}$	Крутой уступ на западном склоне		Один обломок ячеистой органогенной породой (с HCl реагирует слабо), покрытой налетом гидроокислов
								Кварцевые песчаники зеленовато- серые, мелкозернистые, плотные, мас- сивные, окварцованные, хлоритизиро- ванные, с зеркалами скольжения.
58	I409	-" -	-" -	III0-I000	$\frac{39^{\circ}13,5}{133^{\circ}36,0}$	Крутой уступ на склоне		
59	I410	-" -	-" -					

1	2	3	4	5	6	7	8	9
60	I4III	I4-A	драга	800-750	$\frac{39^{\circ}13,7}{133^{\circ}35,0}$	Крутой уступ на склоне	Песчаники светлые с ржавыми разводами кварц-мусковит-полевошпатовые, средне- зернистые, массивные.	
							Песчаники зеленовато-серые, поли- миктовые, среднезернистые, массивные Алевропесчаники пепельно-серые, слюдистые, полимиктовые со скорлупо- вой отдельностью.	
							Темно-серые тонко зернистые амфибо- литы (?), пироксен-амфиболовые диа- базы пропилитизированны.	
61	I4I2	-" -	-" -	920-870	$\frac{39^{\circ}19,0}{133^{\circ}32,0}$	" -	Песчаники серые полимиктовые средне- зернистые, слоистые, с обрывками углистого дегрита.	
62	I4I3	-" -	-" -	I400-I250	$\frac{39^{\circ}16,3}{133^{\circ}12,0}$	Крутой уступ на западном склоне грифки	Ил зелено-бурый с гравелинками кали- шпата и кварца. Граниты розовато-серые биотитовые среднезернистые. Граниты розовые среднезернистые катаклизированные.	
63	I4I4	-" -	-" -	I200-II00	$\frac{39^{\circ}17,3}{133^{\circ}15,3}$	Уступ на уди- ненной возвы- шенности	Пустая (вертулг был закручен, драга шла боком)	
64	I4I5	-" -	-" -	II50-II00	$\frac{39^{\circ}17,4}{133^{\circ}15,4}$	" -	Пустая	

1	2	3	4	5	6	7	8	9
65	I4I6	I4-A	Драга	I450-I420	$\frac{39^{\circ} 23,3}{133^{\circ} 10,4}$	Уступ высотой 50 м	Пустая (при подъеме перевернулась)	
66	I4I7	-" -	-" -	I450-I400	$\frac{39^{\circ} 23,0}{133^{\circ} 11,0}$	-" -	Пустая	
67	I4I8	-" -	-" -	I150-I000	$\frac{39^{\circ} 20,0}{133^{\circ} 15,3}$	-" -	Немного ила	
68	I4I9	-" -	-" -	I250-II00	$\frac{39^{\circ} 20,0}{133^{\circ} 15,3}$	-" -	Пустая	
69	I420	-" -	-" -	I300-I200	$\frac{39^{\circ} 20,5}{133^{\circ} 23,3}$	-" -	Кремнисто-карбонатные стяжения Алевролиты светлые с зеленоватым оттенком, пятнисто-полосчатые. Буровато-коричневые породы сложены шестоватым и радиально-лучистым минералом.	
70	I421	-" -	трубка	I245	$\frac{39^{\circ} 20,5}{133^{\circ} 18,0}$	Ravнина	O-I2- пелит голубовато-серый с вкраплением фораминифер, пятнистый.	

I	2	3	4	5	6	7	8
12-29-	алевро-пелит голубовато-серый, пятнистый						
29-42-	алевро-пелит голубовато-серый,						
42-43-	горизонтальный прослой более темного и зеленоватого алевро-пелита с большим содержанием фораминифер, границы прослоя постепенные.						
43-50-	светлый голубовато-серый пелит с незначительным количеством фораминифер, массивный аналогичный инт-лу 29-42, но наблюдается еле заметная тонкая горизонтальная слоистость						
50-64-	аналогичный инт-лу 42-43						
64-65-	аналог. инт-лу 43-50 с постепенным потемнением материала						
65-70-	Алевро-пелит голубовато-серый светлее вышележащего, неясно пятнистый.						
70-75-	Пелит пятнистый с незначительным количеством фораминифер						
75-84-	Пелит пятнистый с незначительным количеством фораминифер						
84-87-	Пелит с облачной текстурой						
87-92-	Пелит аналог. инт-лу 75-84						
92-95-	Пелит аналог. инт-лу 84-87, но с неясно пятнистой текстурой						
95-128-	аналогичный инт-лу 87-92. Пятна постепенно увеличиваются (до 5 мм), встречаются редкие песчинки, количество фораминифер незначительно.						
128-142-	Алевро-пелит темный зеленовато-серый, с четкими						

темная зеленовато-голубовато-серая, а светлые остались только пятна.
 51-53 - Алеврит пелит серо-вато-голубой с неяснопятнистой текстурой.
 53-54 - Алеврит мелкий зеленовато-серый, темный, более плотный чем окружающая масса.
 54-55 - Алеврит голубовато-серый, не-яснопятнистый
 55-70 - Аналогич. ии-ла 10-20 см; в интервале 66-66,5 полый ход илоеда.

70-87-

Пелит светлый зеленовато-серый массивный, с ед. гравелинками Алеврит средне зернистый тем-ный буро-вато-зелено-ватый, не-яснопятнистый. В центре интер-вала заплыший более жидким алевритом ход илоеда, в конце интервала гравелина пемзы

103-106-

Пелит светлый голубовато-серый, массивный, местами весь-ма плотный.
 106-117-Алеврит неяснопятнистый с постепенными пепелами трех оттенков: темный зелено-вато-серый, светлый, голубовато-серый и буровато-серый. Плотность в самом конце инте-рвала значительно больше чем во всей трубке.

Равнина

$$\frac{39^{\circ} 21,7}{133^{\circ} 25,8}$$

трубка
I4-A

1360

I4-A

72

Пелит бурый, массивный, влажно-насыщенный.
 Пелит темный голубовато-серый, неяснопятнистый, на 32 см открытый ход илоеда
 Основная масса та же, но пятна более темные зелено-зубые до почти черных. На 44 см открытый ход илоеда

0-3 см - Пелит бурый, массивный.
 3-40 - Пелит темный голубовато-серый, неяснопятнистый, на 32 см открытый ход илоеда
 40-45 - Основная масса та же, но пятна более темные зелено-зубые до почти черных. На 44 см открытый ход илоеда

0-7 мм. Преобладание более темного материала, материал пятен предыдущего ин-ла стал фоном
 Пелит анал. ин-ду 3-40, но массивной текстуры, на 52 см частично заплыший ход илоеда.
 На границе с вышележащим ин-тервалом очень высокая концентрация форманифер.
 Алеврит светлый голубовато-серый с большим количеством форманифер, пятнистый зелено-зарнистый зернистый; массивный, граница с вышеописанным ин-тервалом четкая горизонтальная, но неровная. В верхней части интервала (93-95 см) много форманифер.

0-10,5- Пелит бурвато-зеленый темный, массивный, нижняя граница четкая, горизонтальная

Равнина

$$\frac{39^{\circ} 21,0}{133^{\circ} 29,3}$$

трубка
I4-A

I4-A

73

трубка
I4-A

I4-A

73

8

7

6

5

4

3

2

1

9

- 10,5-13- Пелит светлый зеленовато-серый, массивный.
13-23- Пелит голубовато-серый светлый, неяснопятнистый.
23-47 - Пелит анал. вышеописанному с большим расплывчатым горизонтально вытянутыми пятнами темного зеленоватого пелита.
47-72 - Пелит темный зеленоватый, массивный.
72-80,5- тот же пелит с неяснопятнистой текстурой
80,5-93- Пелит светлый трех оттенков голубовато-серый, зеленовато-серый и серый, дающих неяснопятнистую текстуру.
Аналог. ин-лу 72-80,5, но с заметным количеством фораминифер.
93-98- Алевро-пелит светлый голубовато серый, массивный, с высоким содержанием фораминифер.
98-99,5- Алевро-пелит светлый голубовато серый, массивный, с высоким содержанием фораминифер.
99,5-107- Продолжение предыдущего ин-ла, но текстура неяснопятнистая более темные расплывчатые пятна.
Тот же материал, но пятна **стали** четкими, темные зеленовато-серые.
107-117- Пелит зеленовато-серый, темный с высоким содержанием

- 127-146 - Фораминифер. Пелит аналог. 53-72 с неяснопятнистой текстурой
- 0-30 - Пелит голубовато-серый, мас-
сивный, первые 15 см влагона-
сыщенные. В ин-лу 21-26 линза
крупного алеврита (форамини-
фировый). Нижняя граница пос-
тепенная.
- 30-32 - Более темный голубовато-се-
рый пеллит с обломком водорос-
ли (?)
- 32-35 - Аналог. ин-лу 0-30
- 35-37 - Аналог. ин-лу 30-32
- 37-38⁵- Аналог. ин-лу 0-32
- 38,5-41- Пеллит буровато-голубовато-
серый с вытянутыми непра-
вильными пятнами (до 8-9
мм).
- 41-51- Пеллит светлый голубовато-
серый неяснопятнистый
- 54-57 - Аналог. ин-лу 41-51
- 57-65 - Пеллит зеленовато-серый,
темный, неяснопятнистый,
пятна - пеллит, аналог,
ин-лу 41-51.
- 65-70 - Пеллит аналог. ин-лу 41-51,
в верхней части массивный,
ниже неяснопятнистый.
- 70-84 - Аналог. ин-лу 57-65
- 84-94 - Пеллит голубовато-серый с
зеленым тоненком, с пятна-
ми зеленовато-серого пели-
та с большим количеством

7

6

5

4

3

2

1

14-А

Равнина в милю
от обрыва

39° 20,6
133° 33,3

945

Трубка

74

1	2	3	4	5	6	7	8
95-I44	-						
Фораминифер.							
Пелит с неяснопятнистой							
текстурой, обусловленной							
смешением голубовато-серо-							
го пелита аналога. ин-лу							
41-51 и более темного,							
аналога. ин-лу 0-30. На							
10 см обломок водоросли							
(?), в ит. Г7-Г4 тем-							
ных пятен становится мало							
появляется большое коли-							
чество обломков водорос-							
лей (?).							
аналогич. ин-лу 70-84							
Пелит темно-голубовато-							
серый со светло-голубова-							
то-серыми пятнами.							
Пелит зелено-серый с боль-							
шим количеством форамини-							
фер							
Постепенный переход от							
предыдущего ин-ла, но с							
резким уменьшением содер-							
жания фораминифер, к голу-							
бовато-серому пелиту анал.							
ин-лу 0-30.							
0-II	-						
Пелит темный голубовато-							
буровато-серый, массивный.							
II-20	-						
Алеврит голубовато-серый,							
фораминиферовый, с пятнами,							
пелита ^{техниками} аналогич.							
ин-лу 0-II.							
Равнина							
трубка	970						
1426	I4-A						
39°20,5							
133°38,4							
75							

1	2	3	4	5	6	7	8	9
							20-21 - Алевро-пелит, аналогич. вышеописанному, но с меньшим содержанием феррифер и с линзой по чистых фераминифер.	
							21-36 - Пелит аналогич. ин-лу 0-11, но с большим содержанием фераминифер, в конце интервала пятнистый	
							36-45 - Алевро-пелит зеленовато-серый, массивный, фераминиферовый пелит голубовато-серый светлый, массивный, граница четкая, наклоненная под углом 5° к перпендикуляру к оси трубы.	
							45-48 - Аналогич. ин-лу 36-45, граница с вышележащим ин-лом постепенная	
							57-60 - Пелит зеленовато-серый Аналогич. ин-лу 45-48	
							60-69 - Аналогич. ин-лу 57-60, кондуит интервала наблюдается буроватый сттепонок	
							69-80 - Пелит голубовато-серый, массивный	
							80-83 - Пелит зеленовато-буровато-серый, неяснопятнистый	
							83-85 - Аналогич. ин-лу 80-83	
							85-87 - Пелит буровато-зеленый с большим количеством неправильных пятен голубовато-серого пелита.	
							87-90 - Аналогич. ин-лу 80-83. Пелит аналогич. ин-лу 80-83, с пятнами пелита аналогич.	
							90-100 - ин-лу 45-48	

1	2	3	4	5	6	7	8	9
77	I428	28	дФага	360	$\frac{39^003,5}{134^020,9}$	Небольшой (30м) уступ на плато	Пустая	
78	I429	-" -	-" -	400-370	$\frac{39^005,3}{134^021,1}$	-" -	-" - (порвана сетка)	
79	I430	-" -	-" -	440-400	$\frac{39^005,8}{134^020,7}$	Небольшой уступ на плато кекуры	Один полукатанный обломок ярко-зеленого гравелита	
80	I431	-" -	-" -	450-420	$\frac{39^005,4}{134^021,9}$	-" -	Два обломка зеленых гравелистых песчаников один обломочек (4 см ♂) светло-серой пемзы.	
81	I432	-" -	-" -	330-300	$\frac{38^055,2}{134^012,8}$	Крутой склон	Два обломочка (\varnothing 2 см) темно-серых стекловатых базальтов одна галька серого гранита	
82	I433	-" -	-" -	430-400	$\frac{38^055,3}{134^012,1}$	-" -	Хорошо окатанные валуны, представленные: туфоловая дацитового состава, вишнево-серая, каверзно-пористая, серые, стекловатые, флюидальные дайки; вишневые липарито-дацитовые порфиры. Несколько полуокатанных галек серых стекловатых андезитовых порфиритов.	
							Туфы литовитрокристаллочастические, хлоритизированные, эпидотизированные, глауконитизированные. Дацитовые порфиры серые, флюидальные и массивные	

1	2	3	4	5	6	7	8	9
83	I434	28	драга	320-280	<u>38°56,6</u> 134°10,6	Крутой склон	Лиларит-дацитовые порфирры вишиевые с вкрапленниками кварца, по левого шпата. Анделитовые порфирриты серые стекловатые и тонкораскаристаллизованные.	
84	I435	28			700-650	Уступ (40 м) на склоне	Светло-желтые, пепельно-серые кремни в виде "почковидных"натеков. Алевролиты желто-серые, зелено-вато-желтые, массивные, иногда слоистые. Туфопесчаники серые, буро-вато-серые, мелко зернистые в переслаивании в вышеописанными алевролитами. Валуны вулканических пород, аналогичных ст. I433.	
85	I436	-"		900-800	<u>38°56,7</u> 133°56,8	Крутой уступ высотой 500м	Один полукатанный обломок вишиево-серого фагита	
86	I437	-"		1050-950	<u>39°02,7</u> 133°59,0	Обрыв на склоне	Два обломка темно-серых андезито-базальтов пористых, полураскаристализованных	
					<u>39°03,0</u> 133°58,5		Алевролиты серые, зелено-вато-серые плитчатые Песчаники зелено-вато-серые, буро-ватые, тонко зернистые, слюдистые, тоно-слоистые Песчаники среднет, крупнозернистые, массивные, с корочкой окислов гематита базальтоидов, кремнистых алевролитов, пемзы.	

1	2	3	4	5	6	7	8	9
37	I438	28	драга	1200-II150	$39^{\circ}03,2$ $133^{\circ}58,7$	Обрыв на склоне	Два обломка углистых алевролитов зелено-серые с раковистым изломом, слоистые. Один обломок серых алевролитов трещиноватых, пропитанных гидроокислями $Fe_{2}O_{3}$	
38	I439	-"	-"	II150-II100	$39^{\circ}03,5$ $133^{\circ}59,6$	-"-	Кремнистые алевролиты серые, зелено-вато-бурые с раковистым изломом, слоистые Алевролиты серые, буро-серые, выветренные, покрыты корочкой гидроокислов Песчаники среднезернистые, желтовато-серые, слюдистые, массивные	
39	I440	-"	-"	1260-II200	$39^{\circ}03,3$ $133^{\circ}59,0$	Круглый уступ на склоне	Или уплотненные глинисто-песчанистые пестроцветные от буро-зеленого до зелено-вато-серого	
40	I441	-"	-"	1300-II200	$39^{\circ}03,3$ $133^{\circ}59,0$	-"-	Алевролиты темно-серые до черных, углистые, тонколитчатые, слоистые Алевролиты буро-серые до зеленых, массивные, кремнистые Песчаники зелено-ватые, тонко зернистые, тонкослоистые, слюдистые Один обломок песчаников среднезернистых, некрепких Несколько галек: алевролиты, песчаники, граниты, конкремции	
41	I442	-"	-"	1200-II100	$38^{\circ}53,2$ $133^{\circ}42,6$	-"-	Песчаники серые, некрепкие, с прослоями алевролитов. Конгломераты, гравелиты и гравелисы-	

тые песчаники желтовато-серые.
Граниты розовые окварцованные,
катаклизированные
Диориты серые, мелко зернистые,
амфиболовые, сланцеватые.

Крутой уступ
на склоне

$\frac{38^{\circ} 53,2}{133^{\circ} 42,6}$

I400-I300

драга

I443

28

92

Песчаники зеленовато-серые, средне-
зернистые, массивные, не крепкие.
Конгломераты, гравелиты, гравелис-
тые песчаники сильно выветренные.
Диатомовые алевролиты светлые,
желтоватые, **мягкие, мелкие**.
Анделито-базальты серые, стекловаты
Диориты серые, слегка разgneйован-
ные, мелко зернистые, амфиболовые.

1	2	3	4	5	6	7	8
93	I444	28	Драга	1550-1450	<u>38°53,0</u> 133°42,5	Крупный уступ на склоне	Песчаники серые среднезернистые, мас- сивные Гравелистые песчаники и конгломераты Алевролиты слойистые, некрепкие, легкие. Анделитовые порфиры буровато-серые Диориты серые, мелкозернистые
94	I445	-" -	-" -	1350-1250	<u>38°56,0</u> 133°47,8	Крутой склон	Ил зелено-вато-серый, вязкий, песчано- алевритовый
95	I446	-" -	-" -	1260-1200	<u>38°56,3</u> 133°48,2	-" -	Илевролиты диатомовые, светлые, массив- ные, иногда пятнистые, с налетом гидро- окислов Песчаники зелено-серые, мелко-средне- зернистые, океле兹ненные, с корочками гидроокислов Цемза, несколько черных округлых облом- ков, покрытых Гальки хорошей окатанности кистьих и умеренно-кристальных пород
96	I447	-" -	-" -	1190-1100	<u>38°56,3</u> 133°48,2	-" -	Пустая
97	I448	-" -	-" -	1050-1000	<u>38°59,8</u> 133°52,7	Обрыв (100 м) на крутом склоне	Алевролиты желто-зелено-вато-серые, океле兹ненные, покрыты корочками гидро- окислов Песчаники серые тонко-зернистые, пли- чные, диатомовые, слюдистые

1	2	3	4	5	6	7	8
98	I449	-" -	-" -	I350-I200	$\frac{39^000,6}{133^052,5}$	Обрыв (100 м) на крутом склоне	
99	I450	-" -	-" -	520-470	$\frac{39^002,1}{134^003,0}$	Анделиты темно-серые, с поверхности глауконитизированные	
100	I451	-" -	-" -	600-550	$\frac{39^002,1}{134^002,7}$	Плохо окатанные гальки: анделиты, пемза, туфы среднего состава, граниты.	
101	I452	-" -	-" -	I230-II50	$\frac{39^004,5}{134^001,5}$	Обрывистый склон	
102	I453	-" -	-" -	I400-I200	$\frac{38^053,5}{134^023,0}$	Обрыв на южном склоне во повышенности Ямато	
103	I454	-" -	-" -	I380-II00	$\frac{38^053,2}{134^023,7}$	Ил пелитовый зелено-вато-серый, пятнистый	

1	2	3	4	5	6	7	8	9
104	1455	28-Б	драга	350-340	$39^{\circ}03,5$ 134°23,0	Крутой уступ	Базальты буровато-серые, ноздреватые. Андеозиты-базальты темно-серые, афиевые. Базальты красно-бурые, пористые. Валуны и галька окварцованых песчаников II алевролитов	
105	1456	-"	-"	310	$39^{\circ}02,3$ 134°22,6	Горизонталь- ное неровно- дно ("щетки")	Буро-ватые лавобрекции базальтов	
106	1457	-"	-"	375-360	$39^{\circ}04,6$ 134°22,1	Кекуры	Пустая	
107	1458	-"	-"	390-370	$39^{\circ}04,8$ 134°19,6	Уступ на глубине 400- 370 м	Буро-ватые брекчевые лавы (спекшиеся туфы?) базальтового состава	
108	1459	-"	-"	340-320	$39^{\circ}02,7$ 134°19,1	Уступ на глубине 350-320 м	Темно-серые афиевые базальты (туф) основного состава ?)	
109	1460	28	-"	II60-II100	$39^{\circ}17,9$ 134°25,8	Крутой склон	Ил серый, зеленовато-серый, песчано-алеври- то вый, песчанистый. Несколько мелких галечек (I-I,5 см) хороший окатанности представлена квадратными пор- фирами, песчаниками и пемзами.	
110	1461	-"	-"	II80-II100	$39^{\circ}18,3$ 134°27,6	-" -	Пустая	

	1	2	3	4	5	6	7	8	9
III	1462	28	драга	325-300		<u>39°08,1</u> 134°32,7	Кекуры	Пустая	
III2	1463	28-В	-" -	330-300		<u>39°08,6</u> 134°32,2	Кекуры на плато	Обрыв драги	
III3	1464	-" -	-" -	350		<u>39°08,5</u> 134°33,4	Крутой уступ и кекуры на краю плоско- го плато	Пустая (расчищирована сетка)	
III4	1465	-" -	-" -	350		<u>39°08,6</u> 134°33,7	-" -	Галька и валуны (до 15-20 см) базальтов, андезито-базальтов и их туфов	
III5	1466	-" -	-" -	330-300		<u>39°08,6</u> 134°33,0	Кекуры на плато	Галька базальтов и андезито-базальтов, одна галька кварцевого порфира и одна ок- варцованные песчаника. Один обломок (от валуна) зеленовато-се- рого литеокристаллического туфа липа- рита.	
III6	1467	26	-" -	1300-1250		<u>38°36,0</u> 135°09,6	Обрыв на юж- ном склоне вулкана	Светлые зеленовато-желтоватые псаммитовые рого вообманко вые туфы липаритов. Два полука таных обломка серых пористых базальтов. Два округлых обломка серых пористых лемз.	

1	2	3	4	5	6	7
III7 I468	26	Драга	1800	$38^{\circ}35,1$ <u>135°09,7</u>	обрыв на склоне вулкана	
III8 I469	-" -	-" -	1600-1500	$38^{\circ}35,2$ <u>135°10,2</u>	-" -	
III9 I470	-" -	-" -	1580-1500	$38^{\circ}35,3$ <u>135°09,7</u>	-" -	
I20 I471	-" -	-" -	1570	$38^{\circ}36,5$ <u>135°11,5</u>	-" -	

Алевролиты светлые, желто-вато-бурые, слабо диагенетизированные, слегка охле зеленые.
 Базальты темно-серые, гиалопилитовые, плотные и но здревато-пористые.
 Шлако видные туфы базальтов, пропитанные гидроокисдами *Fe* и *Mn*.
 Туфы липаритов аналогичны I467

Базальты серые, пористые, гиалопилитовые. *Fe*-*Mn* конкреции в виде шаровидных стяжений и сажистых корок.
 Туфы литокристаллокластические липарито-дацитового состава.

Базальты гиалопилитовые, но здреватые.
 Туфы витрокристаллокластические липаритового состава, аналог обр. I467
 Туфы кристаллолитокластические умеренно-кислого среднего состава, зелено-вато-серые, сверху покрыты черным налетом гидроокислов.
 Щелочинные диориты сургучно-буроватые, мелко-среднекристаллические, измененные.

Серые мелко зернистые диориты.
 Тонко зернистый лейкократовый гранит.
 Окварцованные порфиры. Серые ороговинкованные песчаники.

Туфы желто-вато-бурые кислого состава, сильно измененные, выветренные, пропитанные гидроокисдами *Fe* и *Mn*, с большим количеством пемзы.
 Зелено-фиолетовые роговики по алевролитам (?)
 Кварцитовидная серая порода
 Зелено-вато-серые мелко зернистые диориты.

I21	I472	I4-A	драга	1340-1200	$\frac{39^{\circ} 13,1}{133^{\circ} 16,8}$	Обрывистый склон	7	Тубодиатомиты светлые, зеленоватые, легкие, массивные, не крепкие. Светлые пемзовые туфы. Пестроцветные псамmitовые литовитрохристаллические туфы, умеренно кислого среднего состава. Андезитовые порфиры с афировой основной массой и полурастекристаллизованной. Буро-вато-красные андезито-базальты. Серые среднезернистые биотитовые граниты.	8
I22	I473	27	-"	1800-1750	Крутой участок у вершины возвышенностей	Крутый участок у вершины возвышенностей	—	Алевролиты литомые зеленоватые, массивные и псевдополосчатые, слабо диагенезированные, иногда с редкой галькой пемзы. Песчаники средне зернистые кварц-полевошпатовые с сажистым налетом окисло в <i>Fe</i> и <i>Uln</i> Туфы (?) витрохлассические сильно измененные, прогиптанные гидроокислями <i>Fe</i> и <i>Uln</i> Базальты (?) возможно туф среднего состава. <i>Fe-Uln</i> конкреции.	9
I23	I474	..	-"	1800-1700	$\frac{40^{\circ} 37,0}{132^{\circ} 06,2}$	- " -	-	Туфы агломератово-песчанитовые витрохлассические светло-зеленоватые, иногда полосчатые, маккие, ломаются руками. Базальты серые, пористые. <i>Fe-Uln</i> корочки, вероятно, первоначально был базальт (?)	9
I24	I475	10-A	-"	400-370	$\frac{43^{\circ} 25,8}{135^{\circ} 20,9}$	Крутой склон	-	Ил зелено-серый, массивный, алевритовый Галька размером до 5-6 см, хорошо окатанная, преимущественно кислых и умеренно кислых вулканических пород.	9

		2	3	4	5	6	7	8	9
I		10-A	драга	1050-950	$\frac{43^{\circ} 25,3}{135^{\circ} 26,8}$	Крутой склон	Пустая		
125	I476	-" -	-" -	1100-1000	$\frac{43^{\circ} 27,7}{135^{\circ} 21,3}$	" —	Алевролиты серые, с зеленоватым оттенком, слабо диагенезированные; слабо слюдистые, песчанистые, с единичными гравинками, неяснопятнистые. Алевролиты песчанистые, серо-зеленные, буро-серые средними включениями ракуш. Алевролиты светло-коричневые, глинистые, воз- можно, диагенетомовые Алевролиты сильно измененные, глауконитизиро- ванные, изъеденные илодами, зеленые до буровато- серых.	Известковистый песчаник серый, мелкозернистый. Конгломераты с хорошо окатанной галькой размером до 7 см, цемент светло-серый, алевро-глинистый. Известковистое стяжение - серые тонкозернистые известковистые алевролиты (мергель ?)	
126	I477	—	—	—	—	—	Песчанистые алевролиты зеленые, серовато-зеле- ные, сильно изъеденные илодами, глауконитизирован- ные, в разной степени песчанистые, в виде коркообразных небольших обломков Один обломок менее измененного зелено-вато-се- рого алевролита, слабо диагенезированного	Алевролиты коричневато-зеленовато-серые, очень слабо диагенезированные, массивные, тонкопесчани- стые Алевролиты зеленые, серо-зеленные, глауконити- зированые, слюдистые, "коркообразные"	
127	I478	—" -	—" -	950-980	$\frac{43^{\circ} 28,8}{135^{\circ} 23,5}$	Склон под- водной вол- ны долины ту			
128	I479	10-A	драга	920-900	$\frac{43^{\circ} 28,7}{135^{\circ} 23,1}$	—" —			

1	2	3	4	5	6	7
129	I480	IO-A	драга	II150-II120	<u>43°</u> 28,9 <u>135°</u> 24,26	Склон под- водной долины
				-" -	<u>43°</u> 28,8 <u>135°</u> 24,3	-" -
130	I481	-" -		II20-II50		
131	I482	-" -		1050-1000	<u>43°</u> 28,0 <u>135°</u> 21,5	Пикообраз- ная возвы- шенность в пределах каньона
132	I483	-" -		-" -	<u>43°</u> 28,8 <u>135°</u> 22,1	Обрыв на крутом склоне
				850-800		

Известковистые алевролиты (мергель?) буровато-зеленовато-серые.
Угловатый обломок порфирированного гранита

Алевролиты тонкопесчанистые серые, слабо диагенезированые, неясно слойстые, с редкими гравинами, похожи на обр. I477/1

Алевролиты песчанистые коричневато-серые, слабо диагенезированные

Зеленые "коркообразные" алевролиты анал. I479/1

Хорошо окатанная галька кислых и средних эфузивов.

Алевролиты бурые; зеленые, сильно измененные, изъеденные илоедами, превращенные в корки

Один обломок серо-зеленого глинистого алевролита, слабо диагенезированного

Алевролиты светло-серые буроватые, глинистые, зеленовато-серые с примесью тонкогесчанистого материала, очень слабо диагенезированые. I477/9

Зеленые "коркообразные" алевролиты аналог. I479/1

Галька хорошей, реже средней окатанности умеренно кислых и средних эфузивов, ороговикованных алевролитов.

1	2	3	4	5	6	7	8	9
133	1484	10-A	драга	700-650	<u>43° 28,9</u> 135° 20,4	Верхняя часть круто- го склона	Алевролиты светло-серые с буро-ватым оттенком Песчаник серый, тонко зернистый, слюдистый, пятнистый, очень слабо диагенезированый Алевролиты с примесью тоночесчанистого материала, глауконитизированные, ожелезненные Песчаники голубовато-серые среднезернистые слабо сцементированные Большое количество гальки и гравия	
134	1485	-"	-"	800-850	<u>43° 28,85</u> 135° 20,55	-" -	Алевролиты анал. обр. I483, I484/I Песчаники мелко, средне зернистые, плохо сор- тиро ванные, слюдистые, ожелезненные, глауко- нитизированные, слабо диагенезированные. Алевролиты глинистые серые, буровато-серые, неясно слюдистые. Небольшие плоские обломки светло-зеленых слюдистых алевролитов Хорошо окатанныя галька различных пород.	
135	1486	-"	-"	880-850	<u>43° 29,2</u> 135° 23,9	-" -	Алевролиты анал. обр. I483 Алевролиты песчанистые серо-зеленые, слю- дистые, изъеденные иллюедами.	
136	1487	-"	-"	650-600	<u>43° 29,6</u> 135° 23,5	-" -	Глыбы слегка окатанная дешитового порфирита серо-зеленая, основная масса с белыми вкра- ленниками плагиоклаазом. Хорошо окатанная галька преимущественно кислых и средних эффицизов и их туфов	

1	2	3	4	5	6	7	8
I37	I488	10-A	драга	930-900	$43^0 29,1$ I35° 24,0	Верхняя часть кру- того склона зернистые, сильно изогну- тыми ходами иллюдов (?). Песчаники зеленые анал. обр. I485/2 Алевролиты глинистые светло-зеленые до зедено- серых.	Алевролиты анал. обр. I483 Песчаники буро-серые, бурые, мелко, средне- зеленые, слабо диагенезированные с гигантски- ми ходами иллюдов. Алевролиты светло-зеленые до зелено-зато-серых глауконитизированные
I38	I489	-" -	-" -	1050-1000	$43^0 29,05$ I35° 24,2	" - " -	Песчаники буро-серые, слабо диагенезирован- ные, с крупными ходами иллюдов. Алевролиты светло-зеленые до зелено-зато-серых глауконитизированные
I39	I490	-" -	-" -	1300-1250	$43^0 28,5$ I35° 25,1	Нижняя ча- сть крутого виноградного склона	Алевролиты анал. обр. I483, с единичными гра- нициами. Такие же алевролиты, но плитчатые.
I40	I491	-" -	-" -	750-700	$43^0 29,3$ I35° 23,8	Крутой склон подвод- ной долины	Алевролиты светло-серые желтоватые, изъеден- ные иллюдами, очень мягкие, иногда с мелкими белыми крахмальными. Серо-зеленые глауконитизированные "коркообраз- ные" алевролиты
I41	I492	-" -	-" -	1210-II150	$43^0 28,7$ I35° 24,3	" -	Алевролиты анал. обр. I491 Алевролиты серые, коричневато-серые, массив- ные, более плотные, изъеденные иллюдами, слабо диагенезированные Зеленые, зелено-серые "коркообразные" обломки глауконитизированные алевролитов. Один ооломок светло-серого туфа литокристалло- классического кислого состава

I	2	3	4	5	6	7	8	9
I42	I493	10-A	драга	II00-II050	$\frac{43^0}{135^0} 28,7$	Крутое склон подводной долины	Алевролиты зелено-вато-серые иллистые, нейансно-слоистые.	
					$\frac{23,2}{23,15}$		Алевролиты, буро-вато-коричневато-серые анал. I492/I.	
I43	I494	-" -	-" -	1000-950	$\frac{43^0}{135^0} 28,6$	-" -	Уплощенные лепешко-видные карбонатные стяжения.	
					$\frac{23,15}{}$		Алевролиты оуровато-коричневато-серые, анал. I492/I	
I44	I495	-" -	-" -	1280-1200	$\frac{43^0}{135^0} 28,1$	-" -	Алевролиты песчанистые серые и желто-бурые нейанснопятнистые или массивные.	
					$\frac{22,8}{}$		Тонко зернистые песчаники зелено-вато-серые, массивные, некрепкие	
I45	I496	-" -	-" -	650-620	$\frac{43^0}{135^0} 29,15$	Верхняя часть крутого склона	Алевролиты буро-серые анал. обр. I494/1	
					$\frac{21,8}{}$	Песчаник мелко зернистый, серо-зеленый, глауко-лит	Небольшая "сосиска образна" известковистая конкреция	
I46	I497	-" -	-" -	500-460	$\frac{43^0}{135^0} 29,2$	-" -	Алевролит зелено-серый, нейанс-пятнистый, иллистый.	
					$\frac{21,6}{}$		Туфлитокристаллокластический дацито-вого состава, полукоктанный обломок	

1	2	3	4	5	6	7	8	9
I47	I498	IO-A	драта	540-500	<u>43°29,25</u> I35°21,75	Верхняя часть кру- того склона	Ил голубовато-серый с черными пятнами орга- ники Галька хороший и средней окатанности пред- ставлена в основном лавами и туфами кисло- го и умеренно кислого состава, реже встречают- ся андезиты, порфиры.	
I48	I499	-" -	-" -	440-400	<u>43°29,3</u> I35°21,5	Крутой ус- тупчив уса- мой вершины острой гривы	Ил голубовато-серый, алевритовый Галька анал. I498	
I49	I500	II-A	черпак	I34	<u>43°58,3</u> I35°48,6	Шельф	Песок серый с зелено-ватным оттенком с много- численными раковинами фораминифер и несколь- ко гравелином ортогранитовых алевролитов и кварцевых порфиров	
I50	I501	-" -	-" -	I30	<u>43°59,2</u> I35°48,1	-" -	Аналог. ст. 1500	
I51	I502	-" -	-" -	I06	<u>43°59,6</u> I35°46,45	-" -	Зелено-вато-серый разнозернистый сильно иллис- тый песок с раковинами фораминифер, с гра- вием алевролитов и эфузызов кислого состава	

I	2	3	4	5	6	7	8	9
I52	I503	II-A	Черпак	115	<u>43°58,8</u> 135°46,1	Шельф	Две мелкие галечки фельзитов и щепотка фораминиферового песка, анал. ст. I500	
I53	I504	-"	-"	120	<u>43°58,3</u> 135°46,5	-" -	Разно зернистый илистый песок с раковинами фораминифер с гравием и мелкой хорошо окатанной галькой эфузивов кислого состава, ороговиковых алевролитов и кремнистых пород. Обломки раковин двусторонок.	
I54	I505	-"	-" -	130	<u>43°57,85</u> 135°46,9	-" -	Пустой	
I55	I506	-"	-" -	150	<u>%43°57,45</u> 135°47,2	-" -	Немного средне,-крупно зернистого фораминиферового песка и хорошо окатанным гравием эфузивов кислого (?) состава.	
I56	I507	-"	-" -	410	<u>43°57,07</u> 135°47,8	Материковый склон	Около 1 см темно-серого с зеленоватым оттенком алеврита во ила с хорошо окатанным гравием и мелкой галькой	
I57	I508	-"	-" -	580	<u>43°56,55</u> 135°48,2	-" -	Немного хорошо окатанных гравия и мелкой гальки андезитов и песчаников	
I58	I509	-"	-" -	310	<u>43°57,4</u> 135°49,5	-" -	Песчанистый алеврит темно-серый с зелено-ватым оттенком, фораминиферовый с гравием и галькой (до 9 см) преимущественно фельзитов и кварцевых породиров, реже андезитов и гранитов.	
I59	I510	-"	-" -	585	<u>43°56,75</u> 135°50,1	-" -	Ил зелено-вато-серый, слабо слизистый и песчанистый. Гравий и мелкая галька ороговиковых эфузивов.	

I	2	3	4	5	6	7	8	9
160	1511	II-A	Черпак	560	<u>43°</u> 57,60 I35,52,65	Материко- вый склон	Гравий и мелкая хорошо окатанная галька кислых эфузивов и ороговиковых песчаников	
161	1512	-" -	Драга	420-400	<u>43°</u> 57,1 I35°48,0	Склон под водной долиной	Алеврит песчанистый зелено-серый слоистый (с миллиметровыми прослоями песка) Алевролиты зелено-буро-серые, слоистые, глау- конитизированные Известковистые стяжения округлой несколько уплощенной формы.	
162	1513	-" -		-" -	<u>43°</u> 56,8 I35°48,6		Алевролиты песчанистые, зелено-серые, глауко- нитизированные Хорошо окатанная галька разного состава.	
163	1514	-" -		-" -	<u>43°</u> 57,1 I35°47,7		Известковистые стяжения неправильной формы (известковистые песчаники) Один неокатанный обломок светлого зеленовато- желтых липаритов. Много гальки и небольших валунов (до 15 см) преимущественно эфузивов кислого состава и их туфов, реже андезиты, порфиры.	
164	1515	-" -		270-250	<u>43°</u> 57,1 I35°47,15		Известковистые песчаники серые с примесью мел- когравийного материала (известковистые стяжения) Конгломераты буро-серые с хорошо окатанный галькой и гравием, спементированными различными стяжками известковистым песчаником. Много гальки и валунов различного состава.	

	2	3	4	5	6	7	8	9
I65	1516	II-A	драга	250-200	<u>43°57,7</u> 135°48,1	Склон под- ходной долини	Алеврит зелено-серый песчанистый гравийно-га- лечный, пятнистый. Конгломерат с хорошо окатанным гравием и таль- кой, сцепментированными известковистым песчаником Большое количество хорошо окатанных гальки и валунов различного состава	
I66	1517	-" -	-" -	450-425	<u>43°56,9</u> 135°47,9	-" -	Алеврит песчанистый с гравием и мелким галь- кою, серо-зеленым, неясно- пятнистым. Алеврит серый с голубоватым оттенком, тонко- песчанистый, со следами взмучивания. Конгломерат с хорошо окатанным гравием и галькой, сцепментированными разнозернистым из- вестковистым песчаником Известковистые песчаники (стяжения)	
I67	1518	-" -	-" -	650-620	<u>43°56,8</u> 135°48,3	-" -	Алеврит тонкопесчанистый от зеленовато-серого до буро-серого Алевролиты тонкопесчанистые зеленовато-серый, сильно "изъеденный иллюедами, глауконитизирован- ные Галька и гравий хорошей окатанности: гравий- порфир, порфирит, кварцит, орногранит, але- вролит, трахитовый порфир, андезит, кремнистая порода	
I68	1519	-" -	-" -	400-370	<u>43°57,2</u> 135°47,9	-" -	Алеврит анал. 1518/1 Алевролит тонкопесчанистый: палево-серый, с мелким растительным детритом Известковистые стяжения	

1	2	3	4	5	6	7	8	9
169	I520	III-A	прага	500-450	$\frac{43^0 56,8}{135^0 48,0}$	Склоны под- водной долины	Небольшое количество крупной гальки и валунов хорошей окатанности: ортогранитовый порфирит, окварцо-ваний песчаник, кварц-полевошпатовый порфир, ортогранитовый алевролит.	
170				-" -		-" -	Известковистые песчаники с примесью мелкогра- вийного материала, серые, сверху зеленые (глау- конитизированные). Большое количество гальки и небольших валунов (до 20 см в Ø) хороший окатанности, преимуществ- енно эфузивы кислого состава, реже граниты, андезиты, роговики. Один плохо окатанный обломок туфа липарита.	
171	I521			370-350	$\frac{43^0 57,4}{135^0 48,0}$	-" -	Известковистые песчаники серые, массивные с большим количеством мелкого (до 1 мм) раститель- ного детрита. Алевролиты буровато-серые, комковатые обломки Хорошо окатанная галька: туФ липаритов, Фельзит порфир, кварц-полевошпатовый порфир, кремнистая порода.	
172	I522			-" -	$\frac{43^0 56,9}{135^0 48,1}$	-" -	Ил алевро-песчанистый зелено-серый с гравием и галькой (до 3 см), с черными примазками орга- ническими. Большое количество гальки, преимущественно эфузивы кислого состава, реже граниты, туФы, окварцо-ваний песчаник.	
173	I523			-" -	$\frac{43^0 56,9}{135^0 48,6}$	-" -	Два кусочка буровато-серых алевритов "избен- ных" иллюедами, ожелезненных Галька анал. ст. 1522	

I	2	3	4	5	6	7	8	9
173	1524	II-A	драта	550-500	<u>43°57,08</u> 135°48,4	Склон под- водной долиной	Алевриты от серых до светло-бурых, песчанистые, массивные Галька анал. ст. 1522.	
174	1525	-" -	-" -	600-550	<u>43°56,25</u> 135°48,4	-" -	Алевриты серые с зелено-ватым оттенком, песча- нистые, массивные Галька анал. ст. 1522.	
175	1526	-" -	-" -	300-250	<u>43°57,50</u> 135°48,48	Верхняя часть склона	Известковистые песчаники, серые, массивные, мелкозернистые	
176	1527	-" -	черпак	305	<u>43°57,88</u> 135°49,40	Чуть ниже брюки шельфа	Песок темный зелено-ватый разнозернистый, иллис- тий, фрагментированный с хорошо окатанным гравием ороговиковых алевролитов и зеленокаменных пород, встречаются обломки раковин	
177	1528	-" -	-" -	150	<u>43°56,10</u> 135°45,81	шельф	Песок темный зелено-ватый, разнозернистый, иллис- тий, с большим количеством гравия и обломками раковин.	
178	1529	-" -	-" -	112	<u>43°55,2</u> 135°43,7	-" -	Гравий и галька (до 2,5 см) с разнозернистым темным песком и немного пелитового или зелено-вато- серого с неизначительным содержанием фрагментов большое количество обломков ракушки.	
179	1530	-" -	-" -	114	<u>43°56,8</u> 135°45,2	-" -	Гравий и гальки средней и хорошей окатанности ороговиковый алевролит, песчаник, песчаник, кварцевый порфир. Крупнозернистый песок с обломками брахиопод	

I	2	3	4	5	6	7	8
180	1531	II-A	черпак	102	$\frac{43^0 57,4}{135^0 44,8}$	шельф	Алеврит зелено-вато-серый Галька хорошей окатанности от 6 до 1 см; орого викованый песчаник, кварц-полевошпатовый порфир большое количество брахиопод
181	1532	-"	трубка	110	$\frac{43^0 59,2}{135^0 46,4}$	-"	0-21 Алевропеллит голубовато-зеленый с высоким содержанием фтороминифер. Линзы с расплывчатыми границами разно зернистого песка с гравием и галькой. 21-23 Песок заиленный темный зелено-вато-серый, разно зернистый, хорошо окатанности с песком и гравием 21-23.
182	1533	-"	-"	125	$\frac{43^0 58,3}{135^0 47,0}$	-"	0-17 Алевролит зелено-вато-серый, первые 2 см раз- жинены, с повышенным содержанием фтороминифер, в ин-ле 4-10 см линза песка; к концу интервала увеличивается количество гравия и гальки. Со- держится небольшое количество мелких обломков ракушки.
183	1534	-"	-"	210	$\frac{43^0 57,5}{135^0 47,8}$	материко- вый склон	0-12 Песок темный зелено-вато-серый разно зернистый, с галькой и гравием (до 2,5 см) различ- ного состава, с динзамами илистого песка. 12-60 Алевропеллит зелено-вато-серый массивный, с линзами илистого разно зернистого песка той же окраски, с большим количеством гравия и мелкой гальки. Обломки ракуши единичны
184	1535	IO-A	драга	1800-1700	$\frac{43^0 26,75}{135^0 26,4}$	нижняя ча- сть круто- го матери- ко-вого ск- лона	Один обломок розового-буровато-серого кристал- локластического туфа длиной 10 см (?)

8

9

1	2	3	4	5	6	7	8	9
185	1536	10-А	драта	I300-I250	<u>43° 25,7</u> I35° 24,9	Склон под- водной долины	Ил алевритовый серо-зеленый с темно-серыми пятнами Алевролиты буровато-серые, серые с желено- ватым оттенком, тонкопесчанистые, массивные, с распыленным растительным детритом.	
186	1537	-" -		-" -	I050-I000	<u>43° 25,3</u> I35° 25,65	-" -	Пустая
187	1538	-" -		-" -	I300-I250	<u>43° 25,65</u> I35° 24,7	-" -	Ил алевритовый зелено-ватый с темными пят- нами органики
188	1539	-" -		-" -	I400-I350	<u>43° 26,3</u> I35° 25,5	-" -	Ил серый с зелено-ватым оттенком алевритис- тый; массивный Тuffоконгломераты бурые, коричнево-бурые, буро-серые с хорошо окатанной галькой $\frac{1}{2}$ диаметром до 15 см), спементированными сильно измененным туфопесчаником.
189	1540	-" -		-" -	I450-I400	<u>43° 26,1</u> I35° 26,5	-" -	Оборвана
190	1541	-" -		-" -	I550-I450	<u>43° 26,3</u> I35° 26,5	-" -	Конгломераты анал. ст. I539 Алевролиты светлые зелено-серые, глинистые, диатомовые (?) Алевролиты ржаво-бурые, птичтальные, сильно ожелезненные, на свежем сколе серые, кремни- стые, крепкие (возможно обломок из конгло- мератов).

I	2	3	4	5	6	7	8	9
191	1542	район 12	трубка	II2	$\frac{43^0 41,8}{135^0 28,8}$	шельф	0-4 Песок зелено-вато-серый разнозернистый с единичными обломками ракуш и гравием и галькой хорошей окатанности орого викованых песчаников и порфиров.	
					4-18 Песок зелено-вато-серый иллистый с гравием и галькой, содержание их увеличивается к концу интервала, с неизначительным количеством фрагментов и обломков ракушки.			
192	1543	-" -	-" -	II6	$\frac{43^0 40,3}{135^0 27,3}$	-" -	0-3 Гравий и галька до 2 см в \varnothing , преимущественно орого викованых песчаников и неизвестительное количество разнозернистого песка.	
					3-20 Алеврит крупный, массивный, зелено-вато-серый, с редкими обломками ракушки и неизвестительным содержанием фрагментов.			
					20-22 Песок разнозернистый зелено-вато-серый с мелким гравием			
					22-27 Алеврит анал. ин-лу. 3-20, но с повышенным содержанием песчанистых частиц и гравия			
193	1544	-" -	-" -	II7	$\frac{43^0 38,4}{135^0 26,2}$	-" -	Галька хорошей окатанности до 3 см в \varnothing , уплощенная, представленная тuffами лигнитов, порфрами. Большое количество обломков ракушки.	
					4-20 Алеврит крупный зелено-вато-серый, массивный, с неизвестительным количеством фрагментов и редким гравием			
194	1545	-" -	-" -	II8	$\frac{43^0 38,9}{135^0 26,2}$	-" -	0-3 Галька до 3,5 см в \varnothing различного состава с разнозернистым зелено-вато-серым песком и гравием.	

1	2	3	4	5	6	7	8	9
195	1546	район 12	трубка	199	$\frac{43^0}{135^0} \frac{37,1}{23,4}$	шельф	3-8 Песок анал. вышеописанному, но без гальки. 8-14 Алеврит крупный анал. описанному в ст. 1544	
							14-19 Песок анал. ии-лу 3-8, но с большим количеством гравия. Все границы колонки постепенные	
							0-3 Галька различного состава от слабо окатанной до хорошо окатанной с гравием и неизначительным количеством песка или стого, разно зернистого, зелено-вато-серого, с обломками ракуши	
							3-6 Гравий преимущественно орого викованых песчаников и алеврит крупный зелено-вато-серый, песчанистый, массивный, фрагментарный, зелено-вато-серый, неясно- пятнистый. Незначительное количество гравия, возможно внесенного при отборе колонки из окружающих горизонтов.	
							6-22 Алеврит средний зелено-вато-серый неясно- пятнистый. Незначительное количество гравия, возможно внесенного при отборе колонки из окружающих горизонтов.	
							22-25 Продолжение вышеописанного ии-ла 3 высоким содержанием гравия и обломков ракушек. Все границы постепенные	
							0-3 Гравий мелкий (до 3-4 мм в \varnothing), хорошо и среднеокатанный, различного состава 3-15 Алеврит крупный, массивный, зелено-вато-серый с редкой галькой	
							15-25 Алеврит крупный песчанистый с большим количеством мелкого гравия и обломков ракуши. Все границы постепенные	
							-"-" -" -"	
	196	1546/2 (дубль)		99	$\frac{43^0}{135^0} \frac{37,1}{23,4}$			

	1	2	3	4	5	6	7	8	9
197	1547/1	-" -	-" -	-" -	III0	$\frac{43^0 36,4}{135^0 24,4}$	-" -	0-4 Галька и гравий различного состава и неизначительное количество разнозернистого илистого фрагментов песка 4-18 Алеврит зеленовато-серый, массивный с неизначительным количеством фрагментов гравия и редким гравием 18-22 Песок различинистый илистый зелено-серый с гравием и обломками ракушки 21-25 Алеврит крупный песчанистый с редкой галькой 25-28 Аналогичный ил-лу 18-21 28-30 Аналогич, ил-лу 21-25 30-36 Мелкий гравий с разнозернистым илистым песком, обломками ракушки и единичной галькой \varnothing до 2 см. 36-46 Алеврит крупный до мелкого песка зелено-вато-серый массивный с единичной ракушей и галькой. Все границы постепенные	
198	1547/2 (ДУБЛЬ)	-" -	-" -	-" -	III2	$\frac{43^0 34,7}{135^0 23,5}$	-" -	0-4 Галька \varnothing до 3 см уплощенная, хорошо окатанная, ная с неизначительным количеством илистого разнозернистого песка 4-18 Алеврит крупный до мелкого песка зелено-вато-серый массивный, с редкими обломками ракушки и гравия 18-22 Песок различинистый илистый с большим количеством гравия и редкими фрагментами Границы интервалов в постепенные	

I	2	3	4	5	6	7	8	9
199	1548	-" -	-" -	110	$\frac{43^0 35,4}{135^0 22,5}$	-" -	0-18 18-21	Алеврит крупный, массивный, зелено-вато-серый с гравием и мелкой галькой Песок крупный илистый с редким гравием
200	1549	-" -	-" -	100	$\frac{43^0 35,4}{135^0 22,5}$	-" -	0-3 3-29	Шелкий гравий с единичной галькой и небольшим количеством ракуши. наполнитель алеврит анал. нижележащему Алеврит крупный зелено-вато-серый массивный с большим количеством мелкого гравия плохо окатанного
201	1550	-" -	-" -	92	$\frac{43^0 35,2}{135^0 21,5}$	-" -	0-3 3-5 5-8 8-16 16-18 18-21	Галька до 4 см в \varnothing различного состава и крупный алеврит с большим количеством фрагментов гальки и обломками ракуши. Алеврит крупный зелено-серый, массивный с галькой и обломками ракуши. Тот же алеврит, но с меньшим количеством ракуши и почти без гальки Крупный алеврит с большим количеством песчанистых частиц, мелкого гравия и редкой галькой Анал. ин-лу 5-8 Анал. ин-лу 8-16
202	1551	-" -	-" -	89	$\frac{44^0 34,1}{135^0 19,7}$	-" -	0-23	Песок зелено-вато-серый, разнозернистый, илистый, массивный, с мелкими обломками ракуши. В ин-ле 0-6 много больших обломков двусторонок и гельки, в ин-ле 15-20 много гравия и гальки

I	2	3	4	5	6	7	8	9
203	1552	-" -	-" -	100	<u>43°33,4</u> 135°20,7	-" -	0-6 Галька (до 5 см \varnothing), гравий, обломки ракушки, наполнитель крупный алеврит зелено-серый, фрагменты бороминифера вый 6-24 Продолжение предыдущего интервала, но количество гальки и гравия резко уменьшилось. Текстура неясноплитистая. Песок разнозернистый илистый, с большим количеством мелкого гравия и обломков ракушки 30-33 Анал. ин-лу 6-24, но с большим количеством песчаниковых частиц 33-42 Анал. 24-30, встречается крупный гравий Границы интервалов постепенные	
204	1553	-" -	-" -	103	<u>43°32,6</u> 135°21,8	-" -	0-6 Песок крупный илистый с большим количеством гравия, гальки и мелких обломков ракушки. 6-13 Крупный алеврит зелено-серый, массивный, с большим количеством фрагментов и песчаниковых частиц 13-15 Тот же алеврит, но с большим количеством песчанистых частиц и мелкого гравия 15-21 Анал. ин-лу 6-13 21-23 Разнозернистый песок с гравием и неизвестным количеством ракушки. Границы интервалов четки 23-30 Анал. ин-лу 6-13 30-40 Разнозернистый песок с редкой галькой и гравием	
205	1554	-" -	-" -	120	<u>43°31,1</u> 135°21,0	-" -	0-10 Песок разнозернистый илистый с мелким гравием, с обломками ракушки. 10-20 Крупный алеврит с большим количеством песчаниковых частиц, редким гравием, мелкими обломками ракушки и фрагментами	

I	2	3	4	5	6	7 _Б	8	9
206	1555	-"	-"	90	$\frac{44^0 32,2}{135^0 19,3}$	-"	20-27	Песок иллистый, разнозернистый с редкими обломками ракуши.
207	1556	-"	-"	90	$\frac{44^0 33,05}{135^0 18,0}$	-"	0-3	Песок иллистый разнозернистый с неизначительным количеством гравия и мелких обломков ракуши.
208	1557	-"	-"	42	$\frac{43^0 26,4}{135^0 02,6}$	-"	3-13	Крупноалевритовый ил с большим количеством гравия, гальки (φ до 5 см) и обломков ракуши.
209	1558	-"	-"	52	$\frac{43^0 25,6}{135^0 02,4}$	-"	0-13	Крупноалевритовый ил с большим количеством гравия, гальки (φ до 5 см) и обломков ракуши.

I	2	3	4	5	6	7	8
210	1559	-" -	-" -	68	$\frac{43^0 24,6}{135^0 03,4}$	-" -	Поднято 5 галек различного состава средней и хорошей окатанности
211	1560	-" -	-" -	72	$\frac{43^0 24,0}{135^0 04,2}$	-" -	0-14 Песок разнозернистый, иллистый с гравием и единичной галькой, в конце интэрвала много обломков ракушки
212	1561	-" -	-" -	90	$\frac{43^0 23,2}{135^0 05,1}$	-" -	0-17 Песок разнозернистый, иллистый, с гравием постепенно переходящий в алеврит, в начале интервала несколько галек до 3 см.
213	1562	-" -	-" -	104	$\frac{43^0 22,4}{135^0 06,0}$	-" -	0-7 Галька и гравий различного состава, хорошо окатанные и разнозернистые, зелено-серые или иллистые пески с обломками ракушки и фораминиферами. Алеврит крупный зеленовато-серый, масливый с редким гравием и пебольшим количеством фораминифер.
214	1563	-" -	-" -	110	$\frac{43^0 21,5}{135^0 06,8}$	-" -	7-14 Алеврит крупный зеленовато-серый, масливый с редкими фораминиферами, в верхней части с гравием и галькой.
215	1564	-" -	-" -	120	$\frac{43^0 20,8}{135^0 07,8}$	-" -	16-25 Гравий и единичная галька с разнозернистым иллистым песком
216							0-3 Галька и гравий хорошей окатанности без наполнителя, с обломками ракушки, одногранного оползня
217							3-16 Крупный алеврит массивный с редкими фораминиферами и редким гравием
218							16-22 Тот же материал, но гравий значительно больше, появляются песчанистые частицы и обломки ракушки

I	2	3	4	5	6	7	8	9
216	1565	-"	-"	116	$\frac{43^0 20,0}{135^0 08,7}$	-"	0-17	Песок разнозернистый иллистый зелено-вато-серый, массивный, с гравием, обломками ракуш и редкими фораминафераами.
217	1566	-"	-"	206	$\frac{43^0 19,3}{135^0 09,6}$	-"	0-2	Галька различного состава с иллистым заполнителем
						2-24	Крупный алеврит с редкими песчанистыми частичками и фораминаферами, зелено-вато-серый с темными пятнами органического вещества, в ии-ле 15-16 прослой более зеленого алеврита.	
218	1567	драга	1820-1750	23	Крутой склон у ве-ршины воз-вышенности	$\frac{42^0 07,9}{133^0 44,2}$	Базальты серые, но здравато-пористые до стекловатых туфы литовитрохластические зеленые, среднего состава, очень выветренные, некрепкие несколько галек хорошо окатанных, уплощенных представлена липаритовыми порфирами, их туфами, кварцитами.	
							Одна плохо окатанная галька и где зито вого порфириата.	
219	1568	-"	-"	2000-1800	$\frac{42^0 06,3}{133^0 44,9}$	-"	Два маленьких полуокатаанных обломочка светло-серых алевролитов диатомовых, глинистых.	
220	1569	-"	-"	1550-1700	$\frac{42^0 07,0}{133^0 44,0}$	-"	Один полуокатанный обломок базальта измененного (глауконик эиророванного, хлоритизированного)	
							Глыбы и обломки базальтов анал. ст. 1567 ТуФоконгломераты интенсивно ожелезненные, покрыты сажистым налетом гидросокислов	

	1	2	3	4	5	6	7	8	9
221	1570	-" -	1600-1530	<u>42°07,7</u> 133°44,2					

Один обломок белых лав липаритовых порфиритов
один обломок серых андезито-дацитовых (?)
порфиритов.
один обломок светлых некрепких диатомовых
песчаников
Большое количество валунов и гальки.

Базальты пористые, но здреватые, гиалопилилитовые
со стекловатыми корками заноски
тудо- и лаборекий базальты в одной глыбе с
постепенными переходами до стекловатых базальтов
несколько небольших обломков светлых зелено-
ватых диатомовых алевролитов и алевропесчаников
с включениями мелкой гальки.
несколько хорошо окатанных галек различного
состава

Составила Ващенкова Н.Г.

МУРМАНСКИЙ ОБЩЕСТВОЗНАНИЯ

п/п.	Дата установки - числи- тель, боя - наме- натель подъема- тель	Время установки - числи- тель, подъема - наменатель начало конец	длина троса числи- тель, глубина эхолоту- зnamena- тель	Рельеф дна	Время и дата обсер- вации 1977 г.	Способ и результаты наблюдений	координаты	
							ширина север.	долго- восто-
1	21	3	4	5	6	7	8	9
1	7.04 68	15.30 07.40	17.22 утонул	320 276	Плоская по- верхность опущенного шельфа	07.40; 7.04.	Привязок галсов и станций к бую не было	26°22,6 125°22
2	6.05 69	09.34 13.20	09.55 14.10	730 630	Почти плас- кая поверх- ность пла- то	09.37; 6.5. 05.37; 5.5.	РНС "Лоран" 2S 3-2777, 2S 4-2712, 2 S 5-1443 Звезды: Ихр=+2°42', ИК=285° $\ell_n=5^{\circ}$; $\varphi_n=38^{\circ}58',0$ $\lambda_c=133^{\circ}59'0E$. Арктур: Мхр=7°26.50; ос=21°46'3; Альтаир: Мхр=	38°58,1 133°5
7.5	07.10 08.18						7°30°07; ос=59°27'9; Венера: Мхр= 7°34°32, ос=14°16,6 ИШ=300°, Др=Г, I РНС "Лоран-A" 2 S 3-2776, 2 S 4- 2712, 2 S 5-1442 РНС "Лоран-A" 2 S 3-2776, 2 S 4- 2712, 2 S 5-1442	=38°56'5 =133°5 =38°51,1 =133°5 =38°58'2 =133°5 =38°58'2 =133°5

ЖУРНАЛ ВУДВ 1977 г.

Дата установки	Время установки - числи-тель,	длина троса - числи-тель,	рельеф дна	время и дата обсервации 1977 г.	координаты широта северн. восточ.	
					север.	долгота восточ.
2	3	4	5	6	7	8
7.04 8.04	15.30 07.40	17.22 утонул	320 276	плоская по- верхность опущенного шельфа	07.40; 7.04.	Привязок галсов и станций к бую не было
6.05 7.05	09.34 13.20	09.55 14.10	730 630	почти плос-кая поверх-ность пла-то	09.37; 6.5. 05.37; 7.5.	RHC "Лоран" 2S3-2777, 2S4-2712, 2S5-1443 звезды: Ихр=+2°42', ИК=285° $\epsilon_n=5^{\circ}$; $\varphi_c=38^{\circ}58'0$ $\lambda_c=133^{\circ}59'0E$. Арктур: Мхр=7°26.50; ос=21°46'3; Альтаир: Мхр#
07.5	07.10 08.18 7.5					7°30'07'; ос=59°27'9; Венера: Мхр= 7°34'32', ос=14°16,6 ИП=300°, Др=I, I RHC "Лоран -A" 2S3-2776, 2S4- 2712, 2S5-1442 RHC "Лоран-A" 2S3-2776, 2S4- 2712, 2S5-1442
						=38°56'5 =38°51,I =38°58'2 =38°58'2
						=133°59'9 =133°58'7 =133°58'6 =133°58'6

	2	3	4	5	6	7	8	9	10
Сатурн $M_{\bar{v}p}$ =10°33.10; $0c=59°31'7$; $A=235^03'$, $\Pi=+2,0$									
Конас $M_{\bar{v}p}$ =10°36°19; $0c=44°47'3$; $A=19^07$, $\Pi=-2,3$									
Капелла $M_{\bar{v}p}$ =10°38°49; $0c=31°49.2$; $A=306^0$, $\Pi=-0,3$									
Спика $M_{\bar{v}p}$ =10.41.12; $0c=27°55'5$; $A=135^01$;, $\Pi=-4,9$									
Звезды: $i_c+S=\pm0,0$; $\ell_n=5$ м. $\varphi_p=+2,50$ 9.05 $\varphi_c=39^002,0$ N; $\lambda_c=134^024'7$ E.									
Кокар, $M_{xp}=7°14'55$, $0c=43°26'1$, $A=339^07$ $\Pi=+0,8$									
Альтаир $M_{\bar{v}p}$ =7°17.01, $0c=59°16'1$, $A=167^03$; $\Pi=-0,9$									
Арктиру $M_{\bar{v}p}$ =7°22.50, $0c=20°44.6$, $A=278^07$; $\Pi=+0,8$									
Венера $M_{\bar{v}p}$ =7°32.24, $0c=15°05.4$, $A=95^08$ $\Pi=-1,8$									
PHC "Лоран-А" 2 S 3-2769, 2 S 4-2877, 2 S 5-1388, 8.05									

$-134^023,5$
 $=39^001,8$
 $=134^025,3$
 $=39^002,3$
 $=134^025,3$
 $=39^002,5$
 $=134^023,$
 $=39^002,3$
 $=134^024,$

	1	2	3	4	5	6	7	8	9	10
4	<u>10.05</u>	<u>15.50</u>	<u>16.10</u>	<u>380</u>	Ровная по- верхность плато	16.10; 10.05	РН6 "Лоран-А"	<u>2 S 3-2752, 2 S 4-2952,</u>	<u>=39°02'4</u>	<u>=134°2</u>
7I	<u>II.05</u>	<u>19.20</u>	<u>19.45</u>	<u>320</u>		05.28;III.05.	Звезды: $\ell_c = 5^{\circ}$ м. $\varphi_c = 39^{\circ}07'0\text{N}$	<u>2 S 5-1376.</u> $U_{xp}=+2^{\circ}58.$ $\lambda=134^{\circ}34'0\text{E}.$	<u>=39°06'8</u>	<u>=134°3</u>
							Конаб	$Mxp=7^{\circ}12'14$, $oc=43^{\circ}05'7$ $A=339^{\circ}7$, $\pi=-0^{\circ}5$		

	2	3	4	5	6	7	8	9	10
								осредненные	
								$=39^0 02' 4 = 134^0 24' 3$	
10.05	15.50	16.10	380	Ровная по- верхность плато	16.10; 10.05		RHO "Лоран-А"	233-2752,	234-2952,
11.05	19.20	19.45	320					235-1376.	
							05.28; II.05.	Звезды: $i_c + s = \pm 0' 0$. $\epsilon_n = 5$ м.	$U_{xp} = +2' 58$. $\varphi_c = 39^0 07' 0$ N; $\lambda_c = 134^0 34' 0$ E.
							Kонас	$Mxp = 7^{\circ} 12' 14'$, $oc = 43^{\circ} 05' 7$ $A = 339^0 7$, $\Pi = -0^{\circ} 5$	
								Алтайи $M_{xp} = 7^{\circ} 15' 58$, $oc = 59^{\circ} 28' 6$, $A = 170^0 9$	
								$n = -0^{\circ} 2$	
							Арктур $M_{xp} = 7^{\circ} 19' 18$, $oc = 19^{\circ} 42' 5$, $A = 279^0 4$		
								$n = -3^{\circ} 6$	
							Венера $M_{xp} = 7^{\circ} 25' 01$, $oc = 14^{\circ} 39' 0$	$A = 95^0 4$ $n = -0^{\circ} 2$	
									$= 39^0 07' 3$
							15.06, II.05	Голиаф $T_c = 08^{\circ} 33$ $i_c + s = +2^{\circ} 1$ $Mxp = 10^{\circ} 29' 55$ $U_{xp} = +2^{\circ} 59$ $\varphi_c = 39^0 06' 8$ N, $\lambda_c = 154^0 33' 9$ E. $oc = 29^0 05' 9$, $e_{vn} = 5$ м. $N = 10$ E $A = 90^0 2$, $\Pi = -1^{\circ} 0$	$= 134^0 36' 2$
								$T_c = 11^{\circ} 18$ $i_c + s = +1^{\circ} 5$. $Mxp = 01^{\circ} 14' 50$ $\varphi_c = 59^0 8' 9$. $U_{xp} = +2^{\circ} 59$, $\varphi_c = 39^0 06' 8$ $\lambda_c = 134^0 33' 9$ E. $A = 129$ $\Pi = -1^{\circ} 7$.	

1	2	3	4	5	6	7	8	9	10
						$\Gamma_c = 15.08$ $M_{xp} = 5^{\circ}04'53''$ $A = 242^{\circ}3$	$i_e + S = +1^{\circ}1.$ $U_{xp} = +3'00.$ $n = +0.7$	$e_u = 5$ м. $oc = 54^{\circ}31'3$	$= 39^{\circ}09'0$ $= 134^{\circ}3$
16.30; II.05	RHC "Лоран-А"					$2 S 3-2752,$ $2 S 5-1376$		$= 39^{\circ}06'8$ $= 134^{\circ}3$	
							$= 39^{\circ}07'2$ $= 134^{\circ}2$	осредненные	
5 72	19.05 19.05	$\frac{14.25}{21.27}$	$\frac{14.55}{21.55}$	$\frac{1140}{850}$	Полого-наклоненная поверхность подводной части	15.00; 19.05	"Лоран-А": $2 S 3-2786,$ $2 S 5-2263,$ $i_e + S = +3'7.$ $U_{xp} = +3'27.$ $\varphi_c = 38^{\circ}23'0$ N, $\lambda_c = 130^{\circ}07'0$ E $A = 103^{\circ}9$ ' п±2,5	$= 38^{\circ}23'3$ $= 130^{\circ}0$	
							Сатурн $M_{xp} = 10^{\circ}51'56$ $oc = 52^{\circ}09'2$ $A = 248^{\circ}4$ $n = -1^{\circ}6$ Поллукс $M_{xp} = 10^{\circ}58'20$ $oc = 42^{\circ}17'9$ $A = 275^{\circ}2$ $n = 2^{\circ}0$		
							Дуббе $M_{xp} = 11^{\circ}01'54$ $oc = 66^{\circ}00'1$ $A = 350^{\circ}8$ $n = -1^{\circ}4$		
							Конац $M_{xp} = 11.04.25$ $oc = 47.37.5$ $A = 17^{\circ}5$ $n = +1^{\circ}1$		

2	3	4	5	6	7	8	9	10
19.05	<u>14.25</u>	<u>14.55</u>	<u>1140</u>	Долого-наклоненная поверхность подводной воздушно- воздушности	15.00; 19.05	"Лоран-А": 2 S 3-2786, 2 S 4-1760, 2 S 5-2265,	$=38^{\circ}23'3$	$=130^{\circ}07'3$
19.05	<u>21.27</u>	<u>21.55</u>	<u>850</u>	Звезды: $U_{xp}=+3^{\circ}7$, $\lambda_c=+3^{\circ}27$. $\varphi_c=38^{\circ}23'0$ N , $A=103^{\circ}9$	$\ell_e+S=+3^{\circ}7$, $\ell_w=5$ M.			
16.30; II.05	PNC "Лоран-А"					Арктур $M_{xp}=10^{\circ}46'10$ OC= $47^{\circ}22'5$ $A=103^{\circ}9$		
						Сатурн $M_{xp}=10^{\circ}51'56$ OC= $52^{\circ}09'2$ A= $248^{\circ}4$		
						Поллукс $M_{xp}=10^{\circ}58'20$ OC= $42^{\circ}17'9$ A= $275^{\circ}2$		
						Дубос $M_{xp}=11^{\circ}01'54$ OC= $66^{\circ}00'1$ A= $350^{\circ}8$		
						Конас $M_{xp}=11^{\circ}04.25$ OC= $47.37.5$ A= $17^{\circ}5$		
							$n=+1,1$	

1	2	3	4	5	6	7	8	9	10
							Спика № <u>II</u> .06·52 0с=34·49·4 А=148°0 $n=-0,6$		
							Регул № <u>II</u> .09·00 0с=56·25·2 А=224°7 $n=-1,3$		
							=38°23'4 осредненная	=130°	
							=38°23'4 осредненная	=130°	
							Карта №705		
							РЛС "Дон" 0. Чихачева Др=15°0, м. Нахвалинского Др=14°8, м. Низменный Др=8°8, м. Кекурный Др=9°9. В дрейфе около 15 миль =43°25'8 буя № 73. Д рлс=±0,0. Шкала 0. Шкала 15 миль =135		
							РЛС "Дон". Шкала 15 миль. Δ Дрлс=±0,0. м. Низменный Др=90; м. Кекурный Др=10,0, м. Маневского Др=12,9. м. Нахвалинского Др=15,0, о. Чихачева Др=14,9. =43°25'9		
							23.58;23.05 РЛС "Дон" Шкала 15 миль. Δ Дрлс=±0,0. м. Нахвалинского - Др=15,0 мили; 0. Чихачева-Др=15,0 мили; м. Маневского-Др=12,9 мили; См. Средняя Скала-Др=11,3 мили; м. Кекурный-Др=10,1 мили; м. Низменный-Др=9,0 мили; Шкала 50 миль - м. Содора-Др=20,5 мили		
							08,20;24.05 РЛС "Дон". Шкала 15 миль. Δ Д рлс=±0,0. о. Чихачева-Др=15,0 мили; м. Нахвалинского -Др=15,0 мили; м. Маневского-Др=19,9		
<u>6</u>	<u>22.05</u>	<u>13.07</u>	<u>13.33</u>	<u>280</u>	<u>Бровка</u>				
<u>75</u>	<u>24.05</u>	<u>08.35</u>	<u>09.00</u>	<u>212</u>	<u>шельфа</u>				

2	3	4	5	6	7	8	9	10
						мили; См.Средняя Скала-Др=II,3 мили; М.Кекурный-Др=10,1 мили, м.Низменный -Др=9,0 мили; Шкала 30 миль- Собо ра-Др=20,2 мили	=43°25,9 осредненная 43°25,9	=135°19,1 135°19,10
24.05	10.26	12.06	<u>170</u>	<u>126</u>	Плоская поверхность шельфа	12.08; 24.05		
25.05	00.20	00.40				Δ Дрлс=±0,0. М.Кекурный Др=8,5, м.Низменный Др=8,8, м.Маневского Др=8,9, о-в Чихачева Др=10,0, м.Ска- листый Др=II,7	=43°31,0	=135°21,3
						ВЛС "Дон". Шкала 15 миль, Δ Дрлс=± 0,0. м.Собора Др=14,7 мили; м.Скалис- тый-Др=II,8 мили; о.Чихачева-Др= 10,0 мили; м.Маневского-Др=8,9 мили. Средняя Скала-Др=8,7 мили; м.Кекур- ный-Др=8,5 мили; м.Низменный-Др=8,9 мили.	=43°31,2	=135°21,3
						ВЛС "Дон". 15-мильная шкала дальности Δ Дрлс=±0,0. м.Низменный Др=8,9 м.Маневского Др=8,9, м.Кекур Др=8,5, о-в Чихачева Др=10,0, м.Скалистый Др=II,7	=43°31,1	=135°21,2
							осредненная	
							43°31,1	135°21,3

2	3	4	5	6	7	8	9	10
226.05 1229.05	09.32 12.40	09.49 12.40	170 133	Плоская поверхность шельфа	09.51;26.05	РЛС "Дон"; $\Delta \text{Дрлс} = \pm 0,0$. Шкала 15миль. N мыс Д.Лафулэ-Др=14,2 мили. М.ВатовскогоДр=13,1 мили. N мыс б.Нерпа- -Др=10,6 мили; М.Южный-Др=8,6 мили; Wмыс р-на №17 -Др=12,1 мили.		
					I4.35;26.05	РЛС "Дон", 15-мильная шкала дальности. $\Delta \text{Др} = \pm 0,0$. М.Южный Др=8,7, М.Ватовского Др=13;2, М.Лафулэ Др= =14;1, М.4 ^х Скал Др=15;3.	$=43^0 58,5$	$=134^0 48,7$
					I4,45;27.05	РЛС "Дон", 15-мильная шкала дальности. $\Delta \text{Др}=0,0$. М.Южный Др=8;8, М. Ватовского Др=13;2, М.Лафулэ Др=14,3, М. 4 ^х Скал Др=15,4	$=43^0 58,3$	$=135^0 48,9$
					01.00;29.05	РЛС "Дон", 15-мильная шкала дальности. $\Delta \text{Др}=0,0$. М.Южный Др=8,7, М. Ватовского Др=13,2. М.Лафулэ Др=14,2	$=43^0 58,4$	$=135^0 48,8$
					I2.20;29.05	РЛС "Дон". $\Delta \text{Дрлс} = \pm 0,0$. М.Южный Др=8,7 (15), М.Ватовского Др=13,1 (15). М. б/х Ладулэ Др=14,2 (15)	$=43^0 58,4$ осередненныe $=43^0 58,4$	$=135^0 48,7$

1	2	3	4	5
9	29.05	19.40	19.54	
76	31.05	08.52	09.12	
	Площадь подводной длины на материиковом склоне	1000 840		
20.00129.05	РЛС "Дон"; А.Дрлс=±0'0; Шкала 30 миль - 5 м. Собора - Др=20,9 миль; о. Чихачева - Др=16,9 миль, м. Нахвалного - Др=17,8 миль; - м. Средний Скала - Др=13,6 мили.			
20.37;29.05	РЛС "Дон"; Δ Дрлс=±0'0; Шкала 30 миль - 5 м. Собора - Др=20,9 миль; о. Чихачева - Др=16,9 миль, м. Нахвалного - Др=17,8 миль; - м. Средний Скала - Др=13,6 мили.			
06.45;31.05	РЛС "Дон". Δ Дрлс=±0'0 м. Низменный Др=12,65 (15), м. Кекурный Др=12,5 (15), м. Нахвального Др=17,6 (30), м. Скалистый Др=18,2 (30), м. Маневского Др=14,82, (30), о. Чихачева Др=16,5 (30).			
08.45;31.05	РЛС "Дон", Дрлс=±0'0; шкала 30 миль. 5 м. Собора - Др=20,96 мили; м. Нахвального - Др=17,72 мили; о. Чихачева - Др=16,5 мили. м. Скала 15 миль; м. Низменный - Др=12,65 мили;			

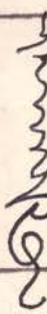
2	3	4	5	6	7	8	9	10
29.05 31.05	19.40 08.52	19.54 09.12	1000 840	Плоское днище подводной долины на материиковом склоне	20.00;29.05	РЛС "Дон". Δ Дрлс= $\pm 0^{\circ}0'$; м. Кекурный Др=12 $^{\circ}$ 6 (15), м. Маневского Др=14 $^{\circ}9$ (15). м. Скалистый Др=18 $^{\circ}2$ (30). м. Нахвального Др=17 $^{\circ}8$ (30)	=43 $^{\circ}$ 24 $'$ 9	=135 $^{\circ}$ 22 $'$ 6
						РЛС "Дон"; Δ Дрлс= $\pm 0^{\circ}0'$; Шкала 30 миль - 5 м. Собора- Др=20 $^{\circ}9$ миль; о. Чихачева - Др=16 $^{\circ}9$ миль, м. Нахвального- Др=17 $^{\circ}8$ мили; Шкала 15 миль: - м. Средняя Скала - Д.р =13,6 мили.	=43 $^{\circ}$ 24 $'$ 9	=135 $^{\circ}$ 22 $'$ 7
					20.37;29.05	РЛС "Дон". Δ Дрлс= $\pm 0^{\circ}0'$; Шкала 30 миль - 5 м. Собора- Др=20 $^{\circ}9$ миль; о. Чихачева - Др=16 $^{\circ}9$ миль, м. Нахвального- Др=17 $^{\circ}8$ мили; Шкала 15 миль: - м. Средняя Скала - Д.р =13,6 мили.	=43 $^{\circ}$ 24 $'$ 9	=135 $^{\circ}$ 22 $'$ 7
					06.45;31.05	РЛС "Дон". Δ Дрлс= $\pm 0^{\circ}0'$ м. Низменный Др=11 $^{\circ}65$ (15), м. Кекурный Др=12 $^{\circ}5$ (15), м. Нахвального Др=17 $^{\circ}6$ (30), м. Скалистый Др=18 $^{\circ}2$ (30), м. Маневского Др=14 $^{\circ}82$; (30), о. Чихачева Др= 16 $^{\circ}5$ (30).	=43 $^{\circ}$ 24 $'$ 4	=135 $^{\circ}$ 22 $'$ 4
					08.45;31.05	РЛС "Дон", Дрлс= $\pm 0^{\circ}0'$; шкала 30 миль. 5 м. Собора- Др=20 $^{\circ}96$ мили; м. Нахвального- Др=17 $^{\circ}72$ мили; о. Чихачева- Др=16 $^{\circ}5$ мили. Шкала 15 миль. м. Низменный - Др=11 $^{\circ}65$ мили;	=43 $^{\circ}$ 24 $'$ 9	=135 $^{\circ}$ 22 $'$ 6

1	2	3	4	5	6	7	8	9	10
<u>10</u> 77	<u>31.05</u> 31.05	<u>10.48</u> 18.20	<u>III.00</u> 18.35	<u>130</u> 100	Плоская поверхность шельфа	II.04;31.05	РЛС "Дон", ΔДрс=±0,0; м. Низмен- ный - Др=9 ⁵ / ₁₅ ; м. Кекурный - 8 ⁴ / ₄ (15); м. Шкала - 4 ⁵ / ₇ ⁹ ₁₅ ; м. Скали- стый - Др=8 ⁸ / ₁₅ ; м. Маневского - - Др =7 ¹ / ₁ ¹⁵ ;	=43°24'9 осредненные =135°	=43°34'2 осредненные =135°
						18.24;31.05	РЛС "Дон", ΔДрс=±0,0; м. Низмен- ный Др=9,5 (15); о. Чихачева Др=7,4 (15); м. Маневского Др=7 ¹ / ₁ ¹⁵ ; м. Скалистый Др=8,8 ⁸ / ₁₅ ; м. Кекурный Др =8,4 ⁴ / ₁₅	=43°34'2 осредненные =135°	=43°34'2 осредненные =135°

Составили: руководители работ: кандидаты Т.-м. Н.
 Е.П. Леликов, И.К. Пущин; штурманы:
 В.И. Кричко, В.С. Ганский, Л.Г. Моргун
 Проверил: начальник экспедиции доктор Г.-м. Н.
 И.И. Берсенев

	2	3	4	5	6	7	8	9	10
								осередненныe $=43^0 24,9$	$=135^0 22,6$
								$=43^0 34,2$	$=135^0 21,30$
								$=43^0 34,2$	$=135^0 21,3$

Составили: руководители работ: кандидаты Т.-М. Н.
Е.П.Леликов, И.К.Пущин; штурманы:
В.И.Кричко, В.С.Ганский, Л.Г.Моргун
Проверил: начальник экспедиции доктор Г.-М.Н.
И.И.Берсенев



ПРИЛОЖЕНИЕ № 5

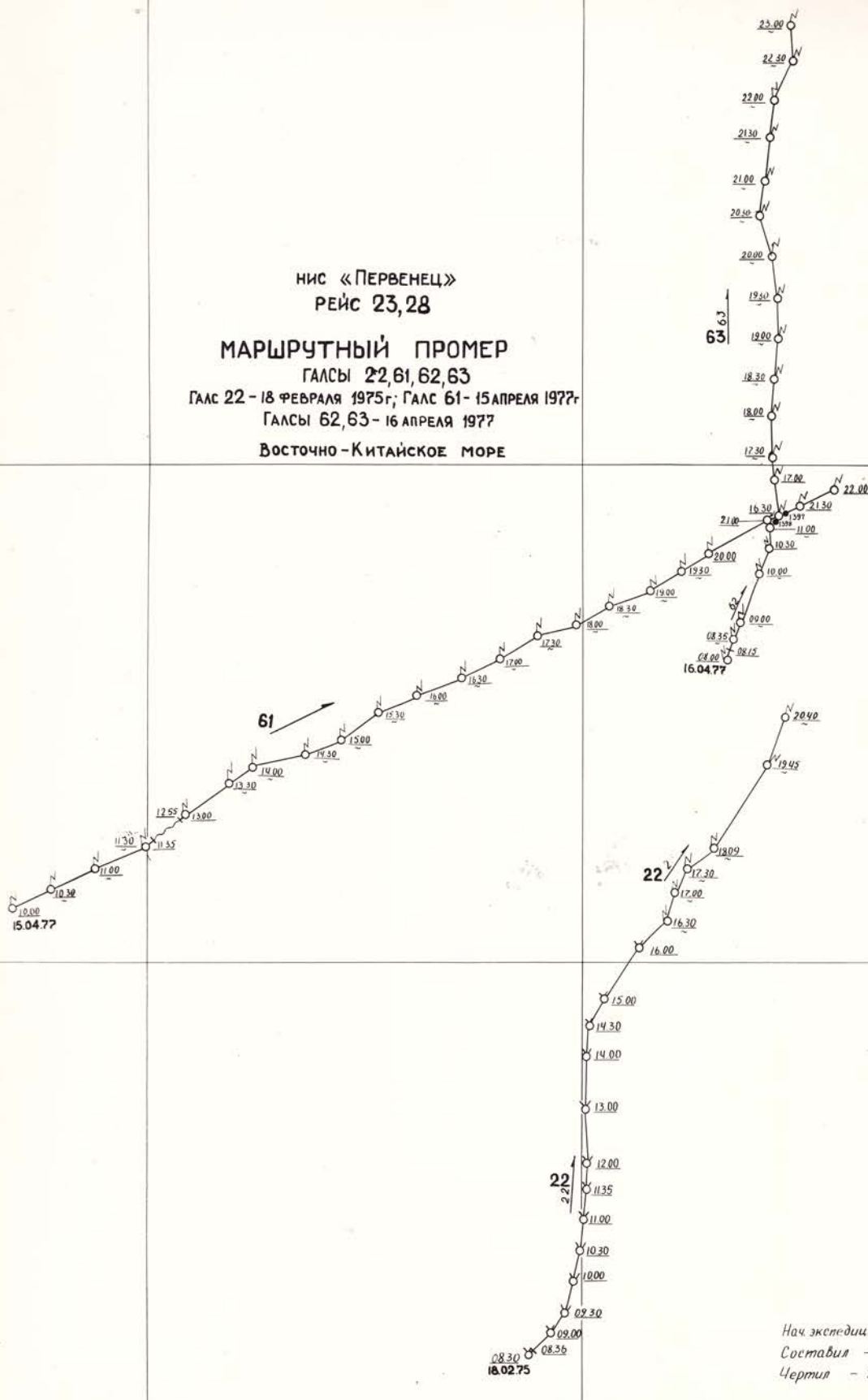
НИС «ПЕРВЕНЕЦ»
РЕЙС 23, 28

МАРШРУТНЫЙ ПРОМЕР

ГАЛСЫ 22, 61, 62, 63

ГАЛС 22 - 18 ФЕВРАЛЯ 1975г; ГАЛС 61 - 15 АПРЕЛЯ 1977г;
ГАЛСЫ 62, 63 - 16 АПРЕЛЯ 1977

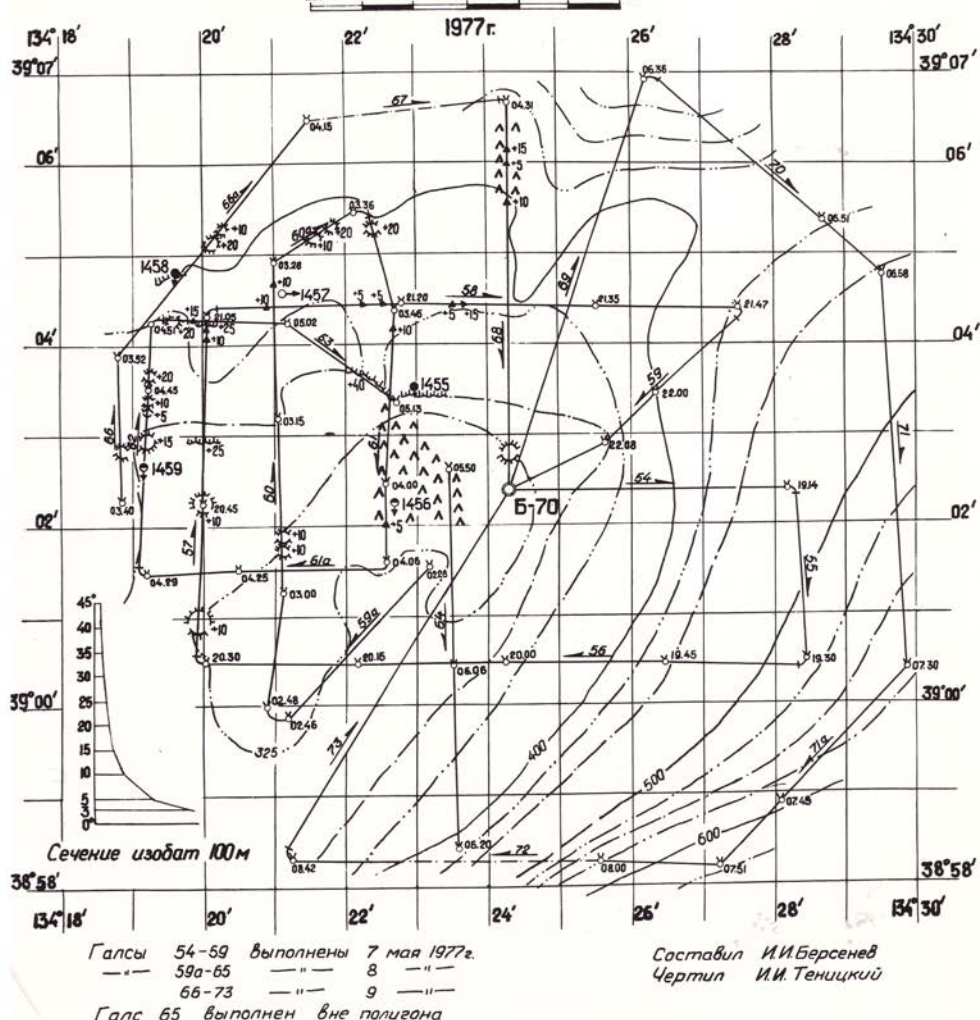
Восточно-Китайское море



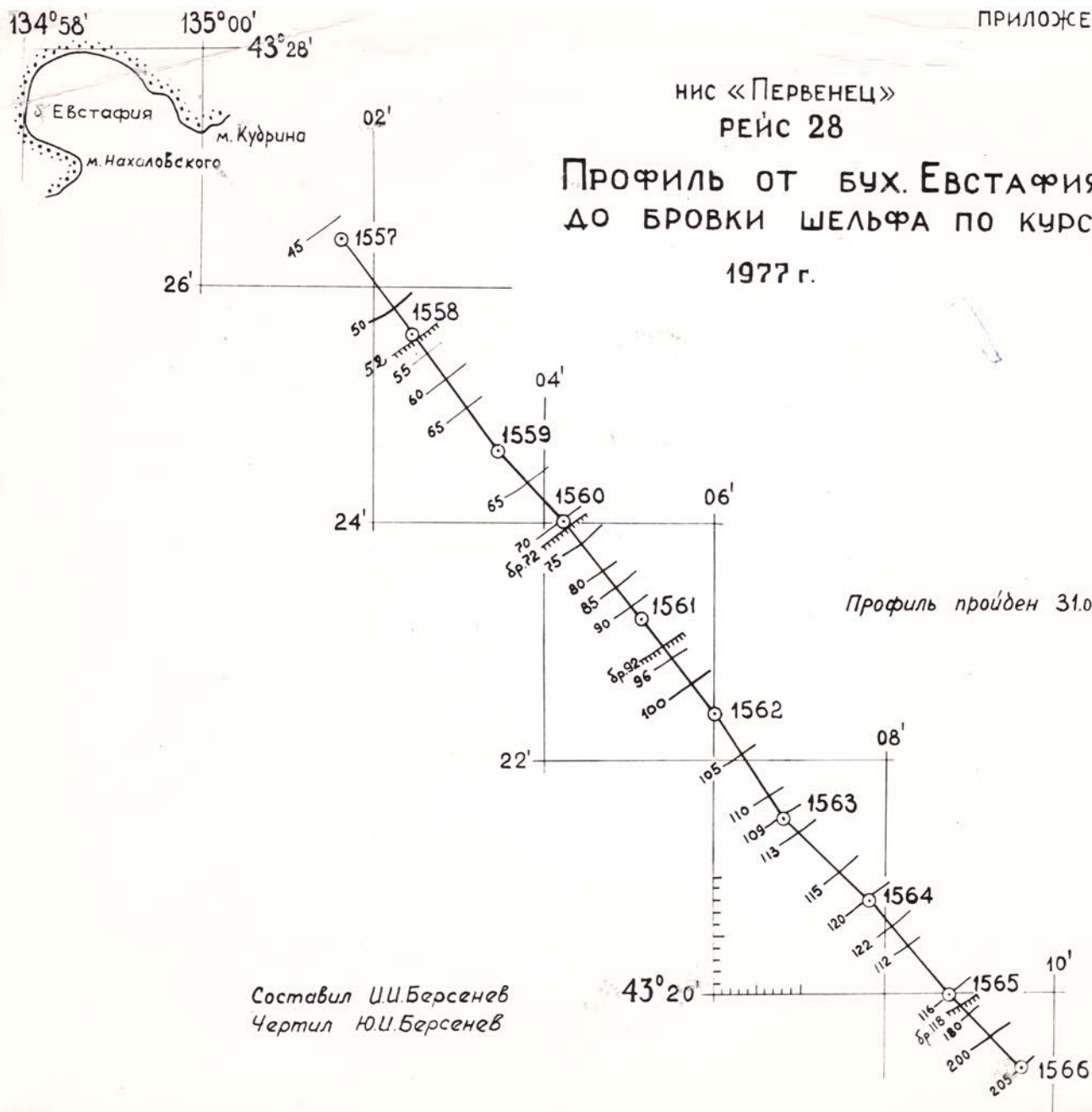
Нач. экспедиции - ИИ Берсенев.
Составил - В.Т. Съедин.
Чертит - В.Т. Съедин.

ПРИЛОЖЕНИЕ 10

28 рейс
нис "Первениц"
Полигон 28-Б
Японское море
КАРТА ФАКТИЧЕСКОГО МАТЕРИАЛА



ПРИЛОЖЕНИЕ 17



НИС «ПЕРВЕНЕЦ»
РЕЙС 28

ПРОФИЛЬ ОТ БУХ. ЕВСТАФИЯ
ДО БРОВКИ ШЕЛЬФА ПО КУРСУ 140°

1977 г.

Профиль пройден 31.05.77.

для служебного пользования экз. № 1

Приложение 16

43°

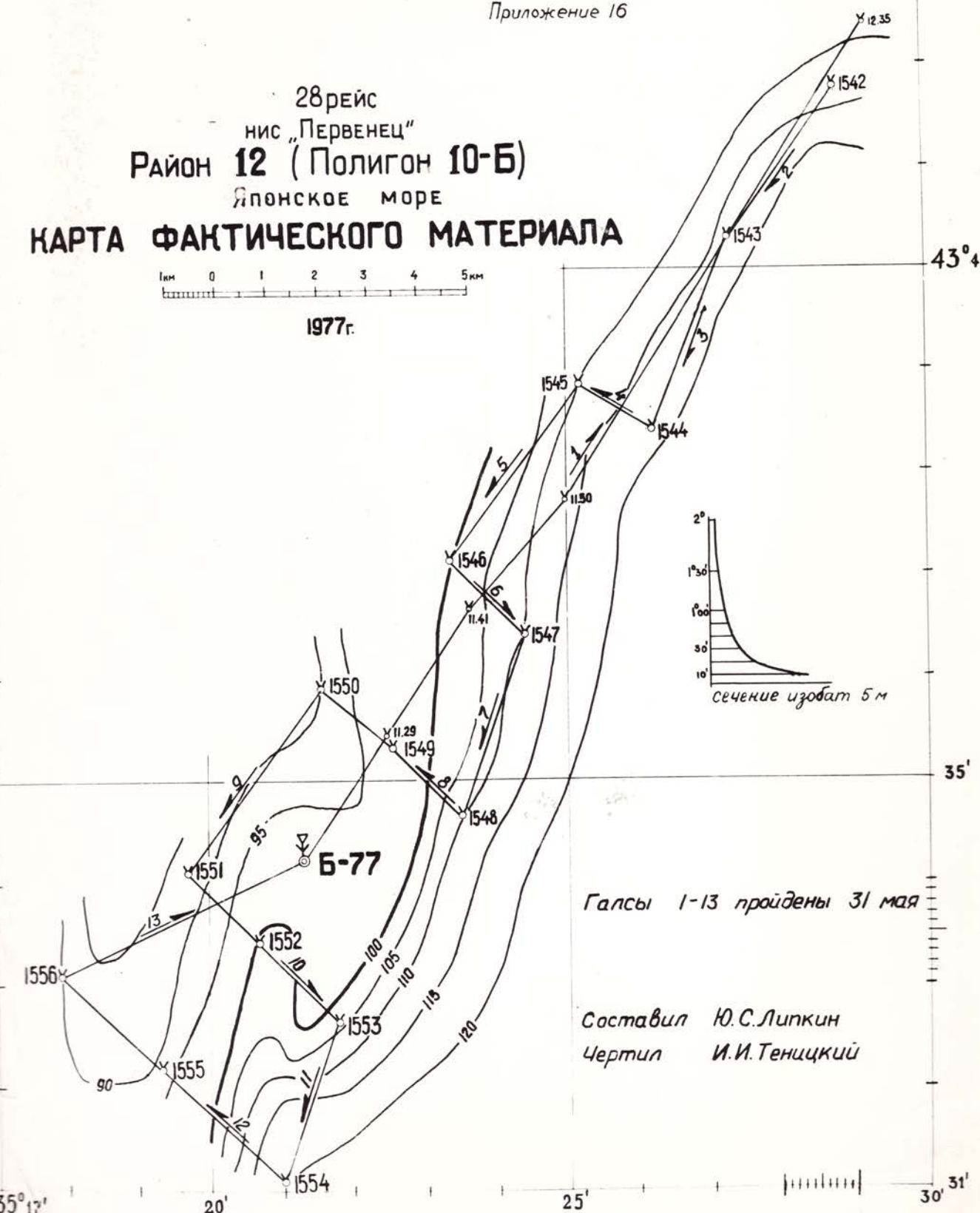
28 рейс
НИС "Первенец"
Район 12 (Полигон 10-Б)
Японское море

КАРТА ФАКТИЧЕСКОГО МАТЕРИАЛА

0 1 2 3 4 5 км

1977 г.

43°40'



УСЛОВНЫЕ ОБОЗНАЧЕНИЯ КАРТ ФАКТИЧЕСКОГО МАТЕРИАЛА



БУЙ И ЕГО НОМЕР

ГАЛСЫ ЭХОЛОТНЫХ ПРОМЫРОВ, ИХ НАПРАВЛЕНИЕ, НОМЕР,
ВРЕМЯ ОПРЕДЕЛЕНИЯ МЕСТА

ТО ЖЕ, ПРИ ПРИБЛИЗИТЕЛЬНОЙ ПРИВЯЗКЕ



ИЗОБАТЫ ЧЕРЕЗ 500 М УСТАНОВЛЕННЫЕ И ПРЕДПОЛАГАЕМЫЕ



ТО ЖЕ, ЧЕРЕЗ 100 М



ДОПОЛНИТЕЛЬНЫЕ ИЗОБАТЫ (ЧЕРЕЗ 50 М)



ТО ЖЕ, ЧЕРЕЗ 25 М



ВРЕМЯ (ЧИСЛИТЕЛЬ) И ГЛЮЧЕНА (ЗНАМЕНИТЕЛЬ)



КОНТУРЫ ПОЛИГОНОВ СЪЕМКИ КРУПНОГО МАСШТАБА



ОБРЫВЫ И УСТУПЫ

ПОДВОДНЫЕ СКАЛЫ (КЕКУРЫ), ВЫРАЖАЮЩИЕСЯ В
МАСШТАБЕ КАРТЫ

ТО ЖЕ, НЕ ВЫРАЖАЮЩИЕСЯ В МАСШТАБЕ КАРТЫ

МЕСТО (СТАНЦИЯ) ОТБОРА ПРОБ ГОРНЫХ ПОРОД
ПРИМОТОЧНОЙ ТРУБКОЙ

ТО ЖЕ, ДНОЧЕРПАТЕЛЕМ

ТО ЖЕ, АДАПИРОВАНИЕМ; СТАНЦИИ, ГДЕ ПОДНЯТЫ ДОЧЕТВЕРТИЧНЫЕ
ПОРОДЫ ИЗ КОРЕННЫХ ОБНАРУЖЕНИЙ

ТО ЖЕ, ИЗ СВАЛОВ



ТО ЖЕ, ПОДНЯТЫ ТОЛЬКО ЧЕТВЕРТИЧНЫЕ ОСЛОЖНЕНИЯ



ТО ЖЕ, БЕЗРЕЗУЛЬТАТНЫЕ

СПОСОБЫ ОПРЕДЕЛЕНИЯ МЕСТА СУДНА



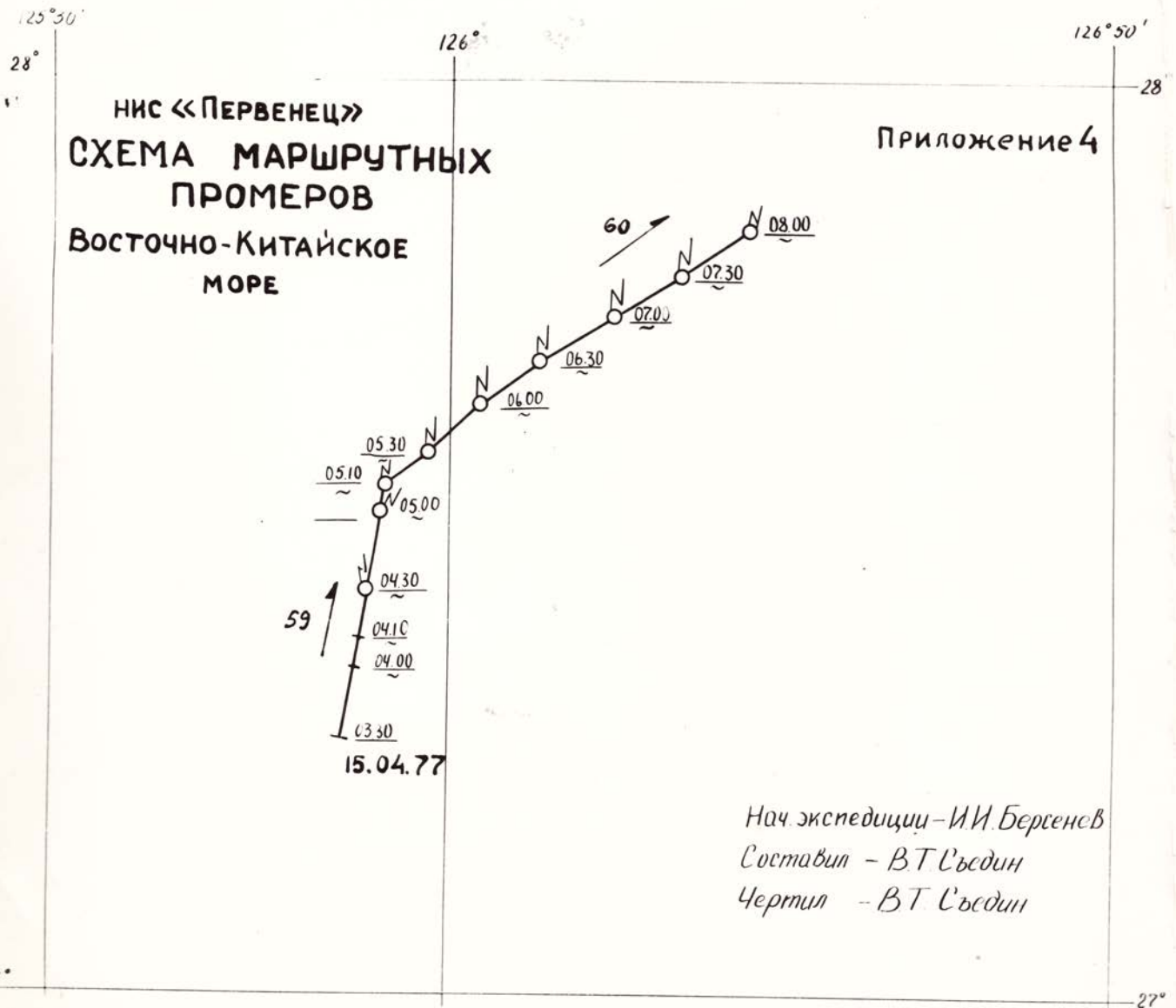
ПО РИС "ДОРАН - А"



ПО СЧИСЛЕНИЮ



ПО РИС "ДОН"



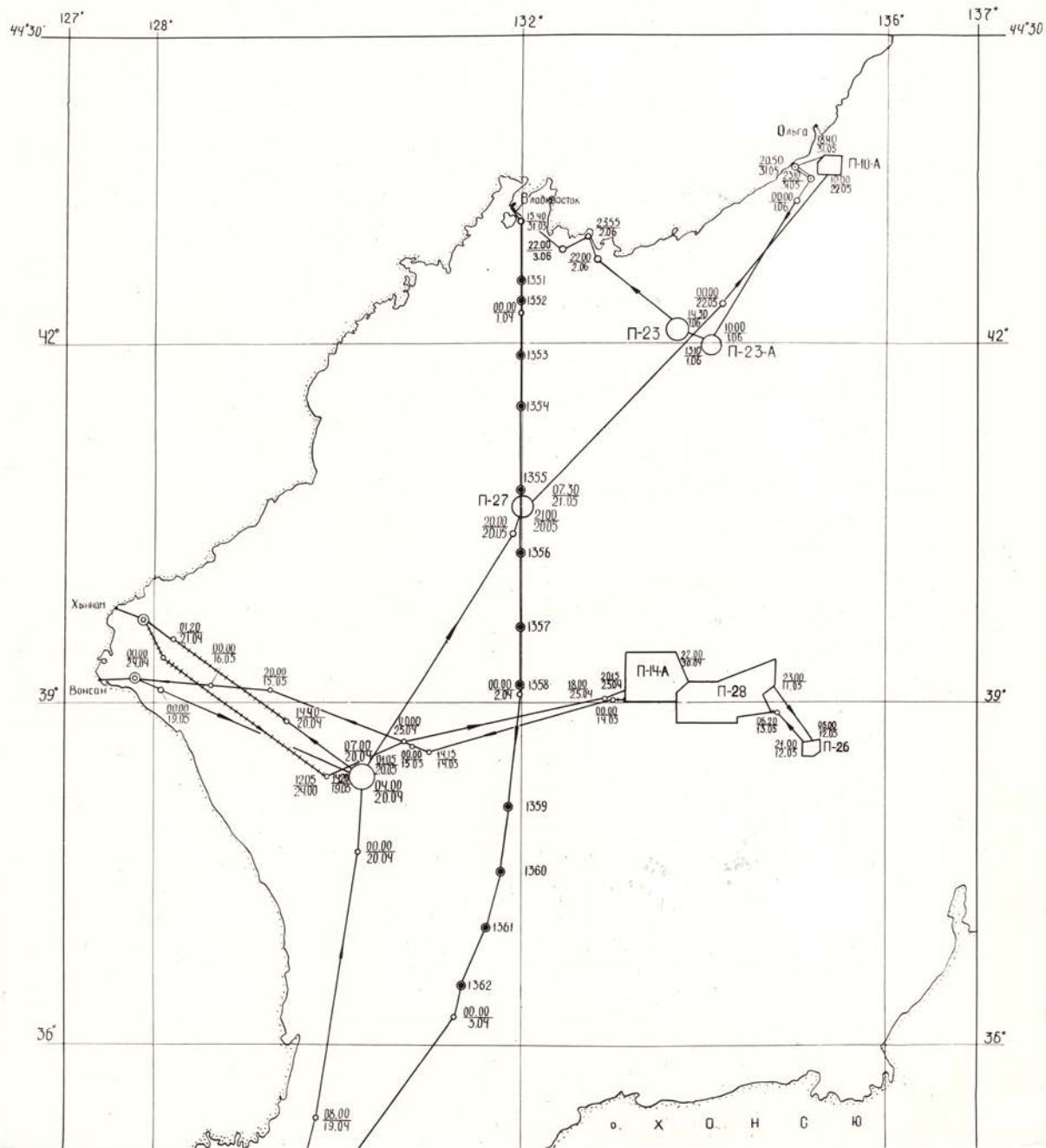
КАРТА-СХЕМА

28 рейса НИС „Первенец”

с 31 марта по 3 июня

1977 г.

ПРИЛОЖЕНИЕ 1
лист 1



ДЛЯ СЛУЖЕБНОГО ПОЛЬЗОВАНИЯ
ЭКз. № 4

ПРИЛОЖЕНИЕ 14
лист 1

НИС "Первенец"

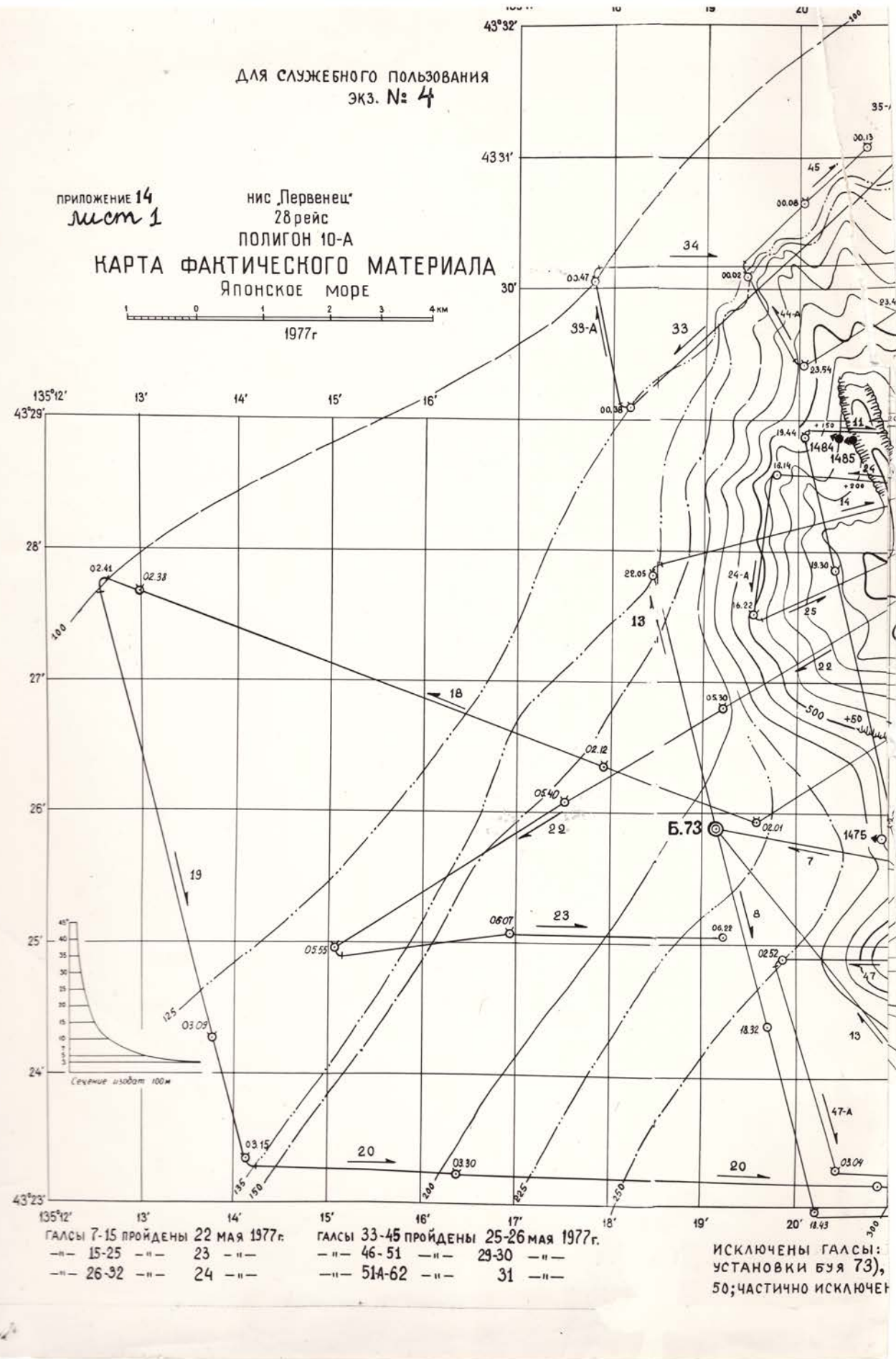
28 рейс

ПОЛИГОН 10-А

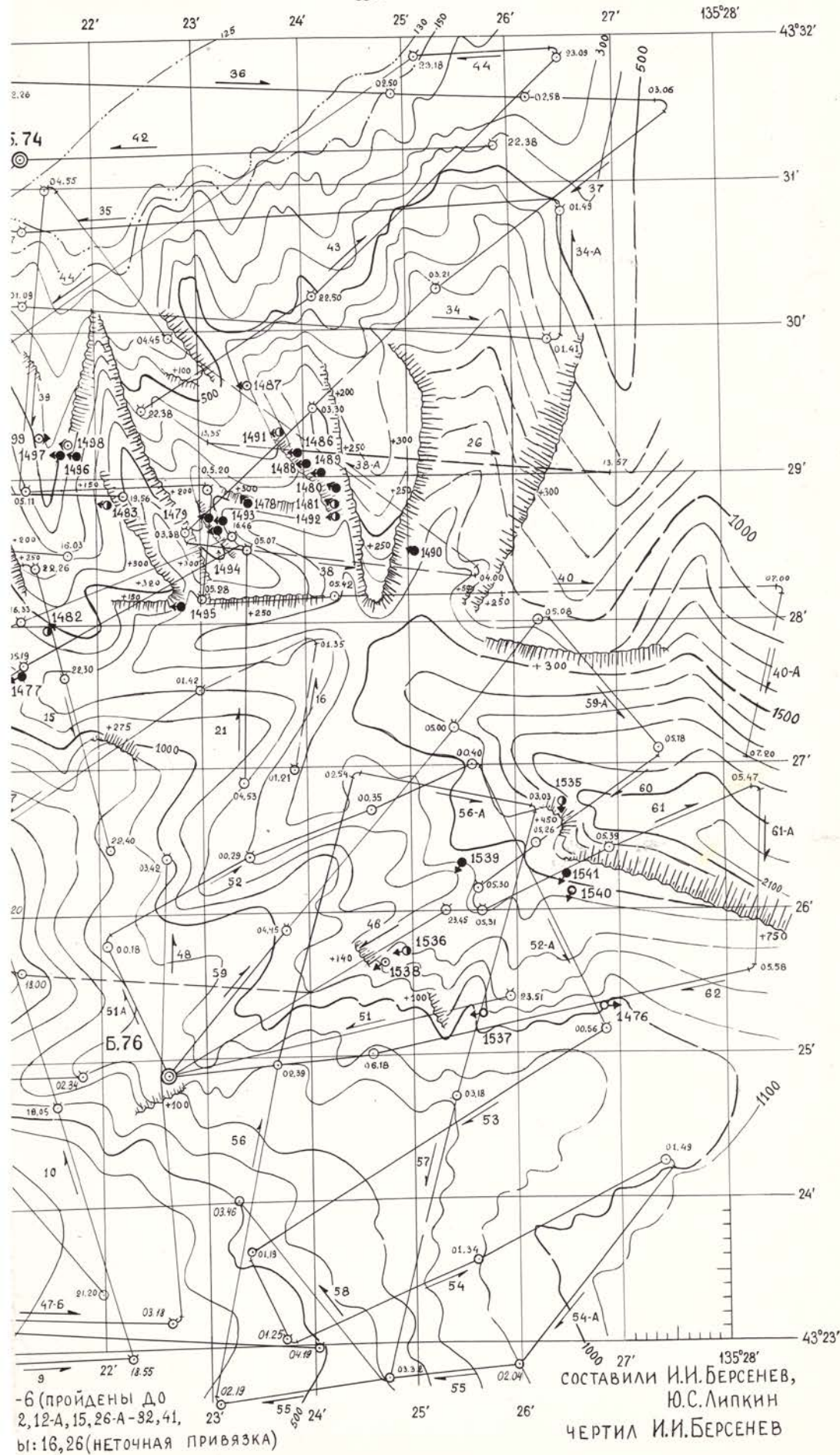
КАРТА ФАКТИЧЕСКОГО МАТЕРИАЛА

Японское море

1 0 1 2 3 4 км
1977г



лист 2



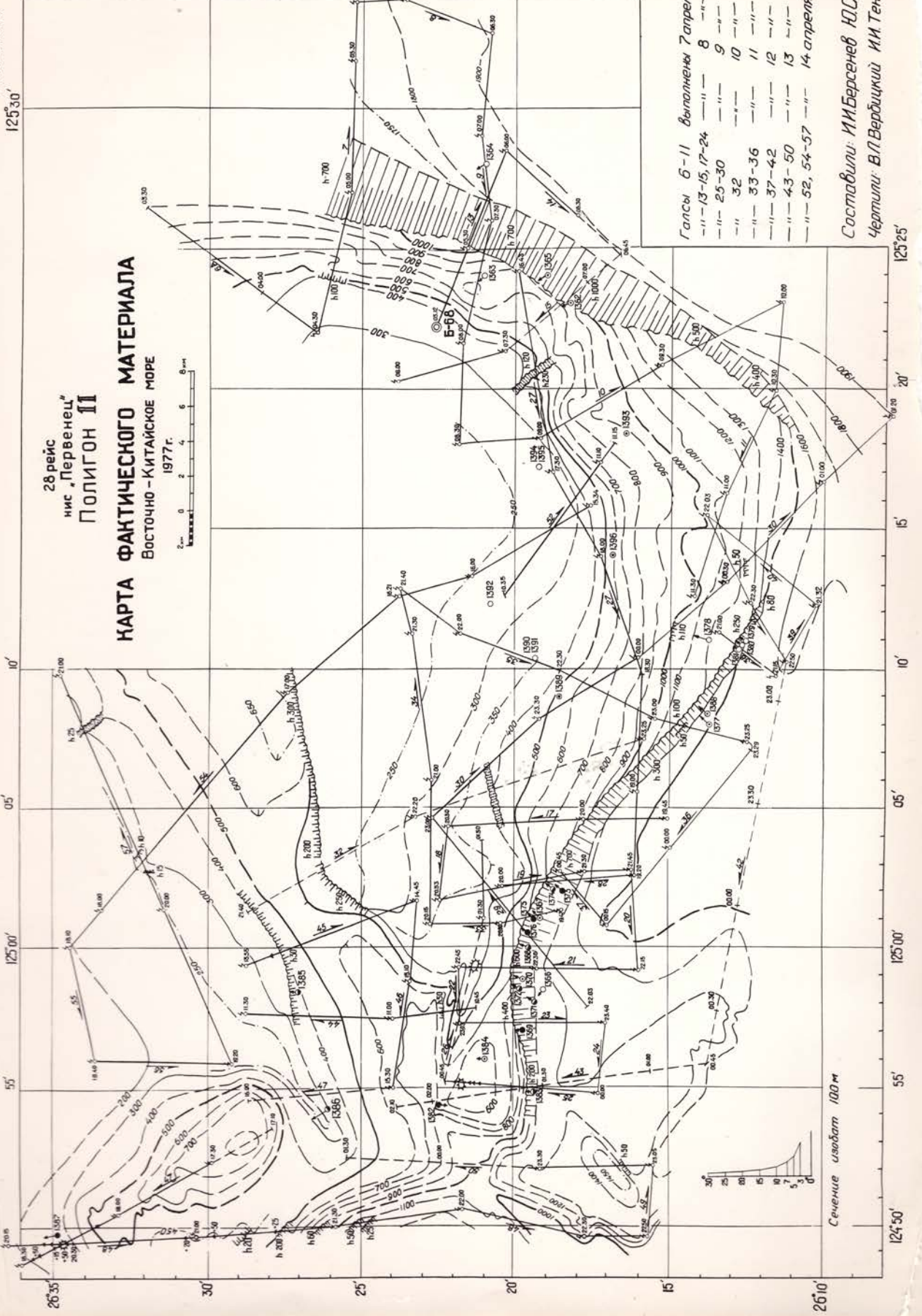
СОСТАВИЛИ И.И.БЕРСЕНЕВ,
Ю.С.Липкин
ЧЕРТИЛ И.И.БЕРСЕНЕВ

-6 (пройдены до
2, 12-А, 15, 26-А-32, 41,
б/16, 26 (неточная привязка)

КАРТА ФАКТИЧЕСКОГО МАТЕРИАЛА

Восточно-Китайское море
1977г.

28 рейс
Мис "Первенец"
Полигон II



Составили И.И. Берсенев Ю.С. Плаки
Чертити В.Л. Вербакский И.И. Теняков

125°25'

НИС «Первениц»

РЕЙС 28

ПОЛЯГОН 11-А

Восточно-Китайское море

СХЕМАТИЧЕСКАЯ БАТИМЕТРИЧЕСКАЯ

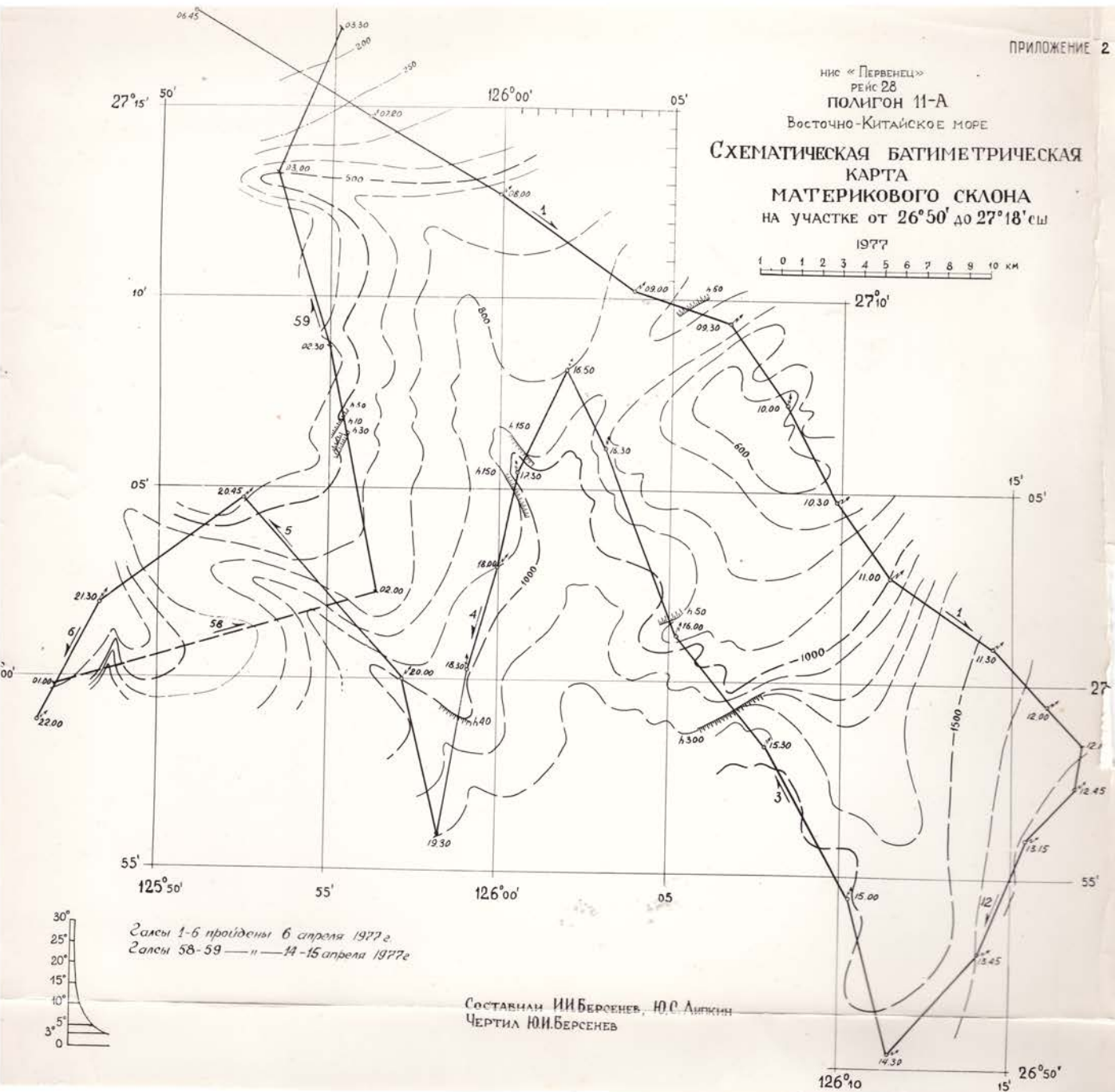
КАРТА

МАТЕРИКОВОГО СКЛОНА

на участке от $26^{\circ}50'$ до $27^{\circ}18'$ сш

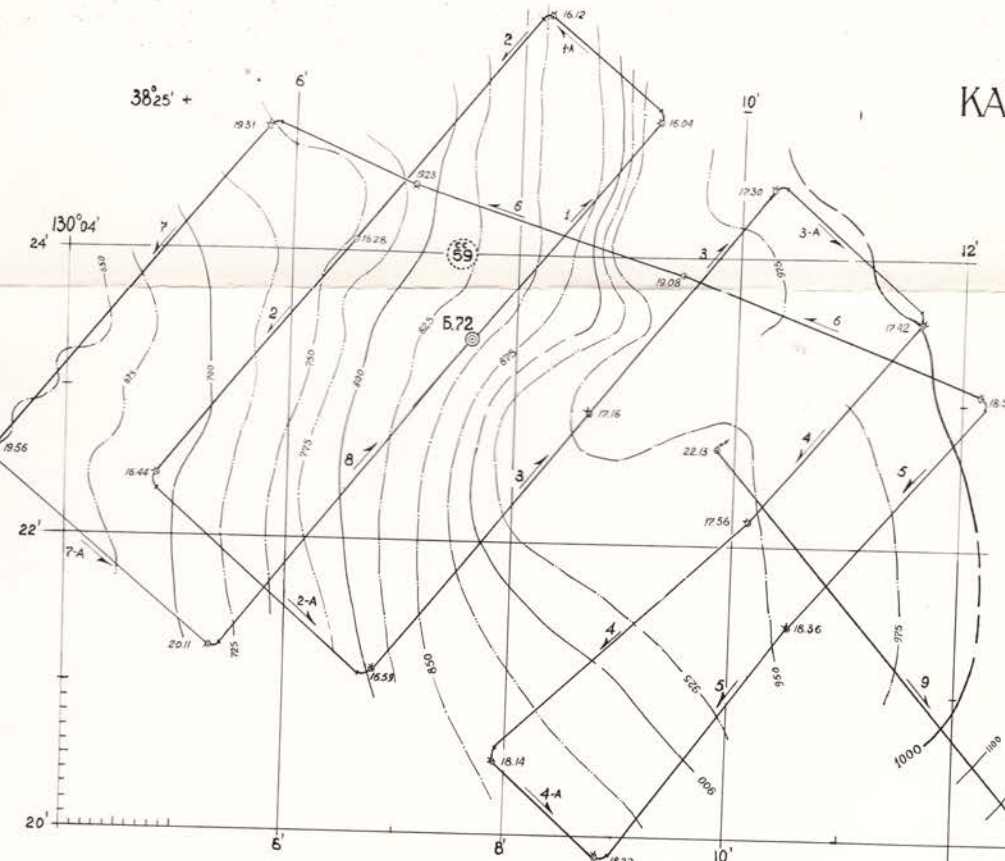
1977

1 0 1 2 3 4 5 6 7 8 9 10 км

 $27^{\circ}10'$ 

МНС «ПЕРВЕНЕЦ»
РЕЙС 28
1977

КАРТА ФАКТИЧЕСКОГО МАТЕРИАЛА ПОЛИГОН 16-Б



Галсы 1-11 выполнены 19.05.77 г.
— 11-13 — 20.05.77 г.

5.72 () Буй и его номер
Галс и его номер

○ определение места по расстояниям
и пеленгам, измеренным судовой РЛС
△ по радионавигационной системе Лоран

▲ по спутнику

(59) отрицательные глубины, указанные
на наблюдационных картах

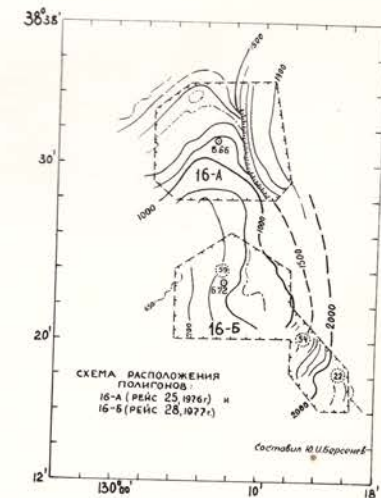
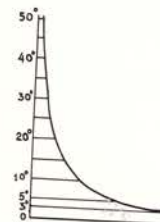
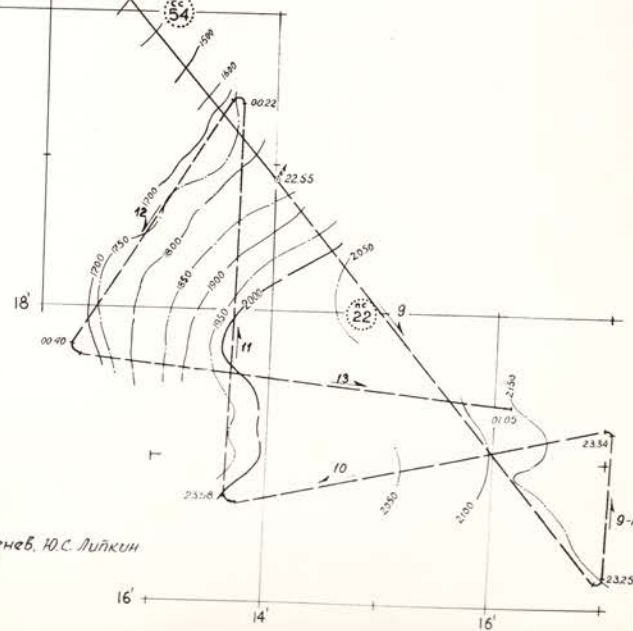


СХЕМА РАСПОЛОЖЕНИЯ ПОЛИГОНОВ

16-А (РЕЙС 25, 1976) и

16-Б (РЕЙС 28, 1977)

Составил Ю.И.Берсенев



Составили И.И.Берсенев, Ю.С.Липкин
Чертит Ю.Н.Берсенев

39°
39°30'
39°
39°30'
38°55'
38°50'

МЧС «ПЕРВЕНЕЦ»

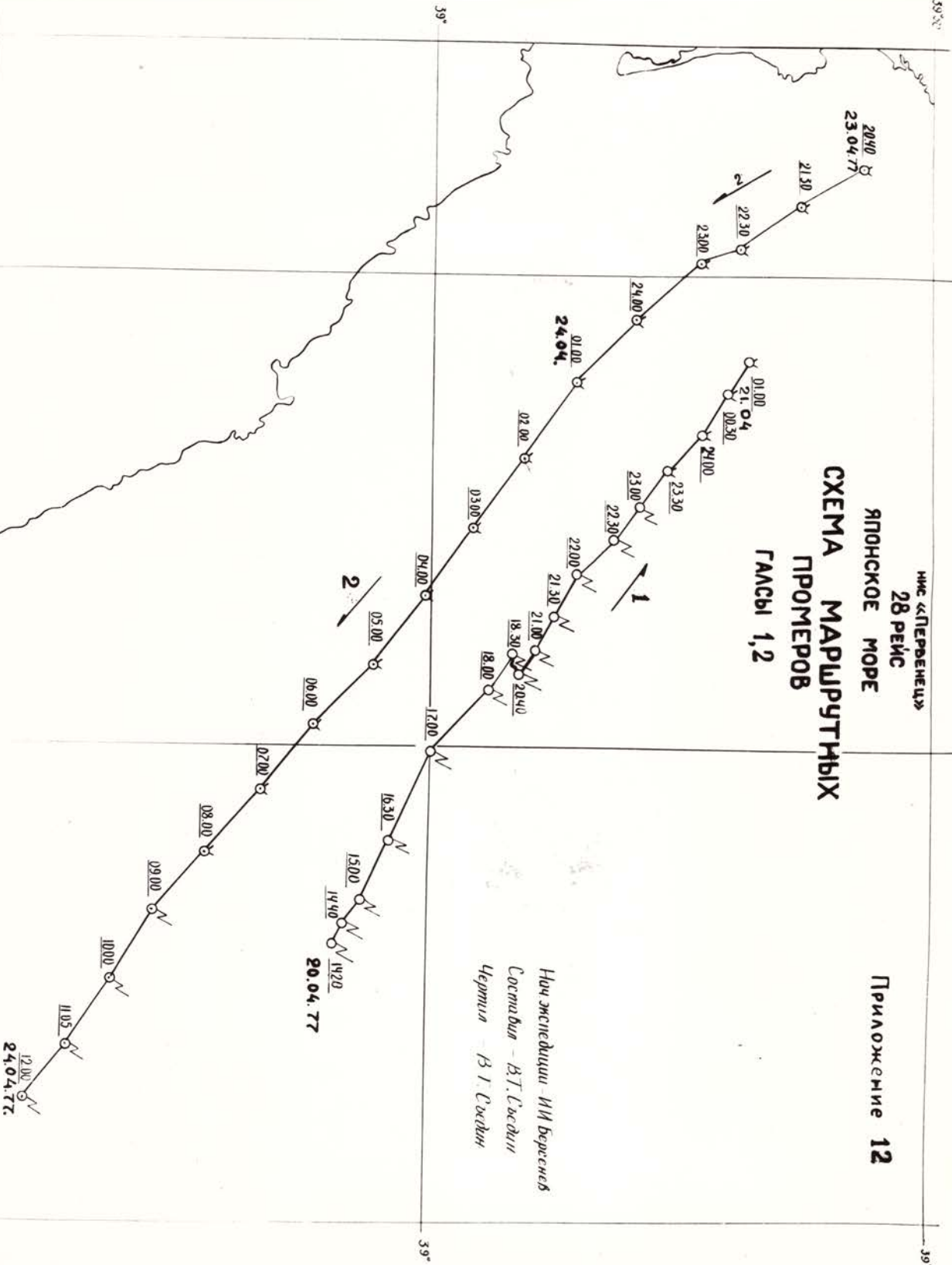
28 РЕЙС

ЯПОНСКОЕ МОРЕ

Приложение 12

СХЕМА МАРШУТНЫХ ПРОМЕРОВ
ГЛАСЫ 1,2

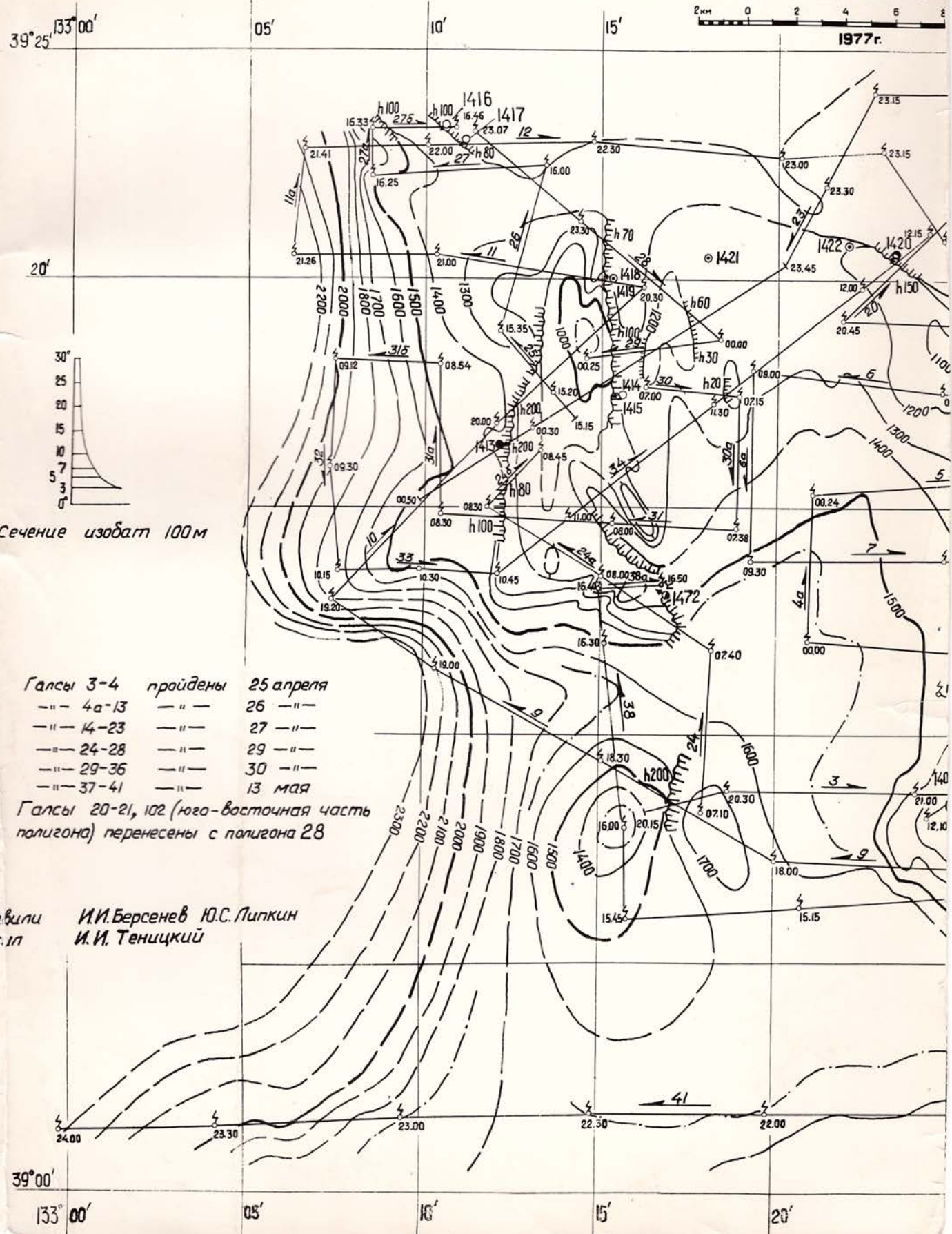
Начало экспедиции - ИИ берегов
Сокна днен - В.Г. Сокнин
Черпуха - В.И. Сокнин



Пр. 7
лист 1

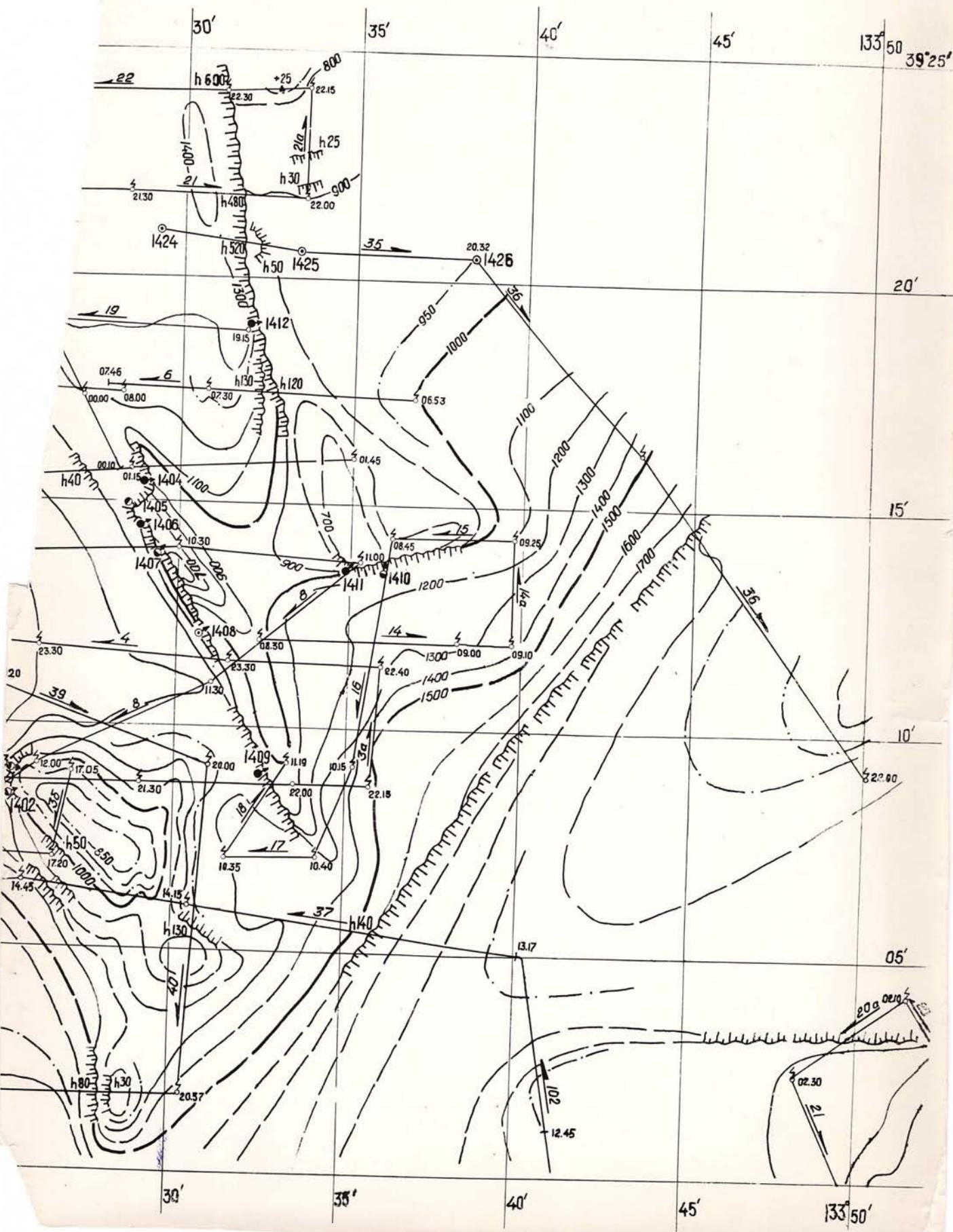
28 рейс
НИС "Первенец"
ПОЛИГОН 14-А
ЯПОНСКОЕ МОРЕ

КАРТА ФАКТИЧЕСКОГО

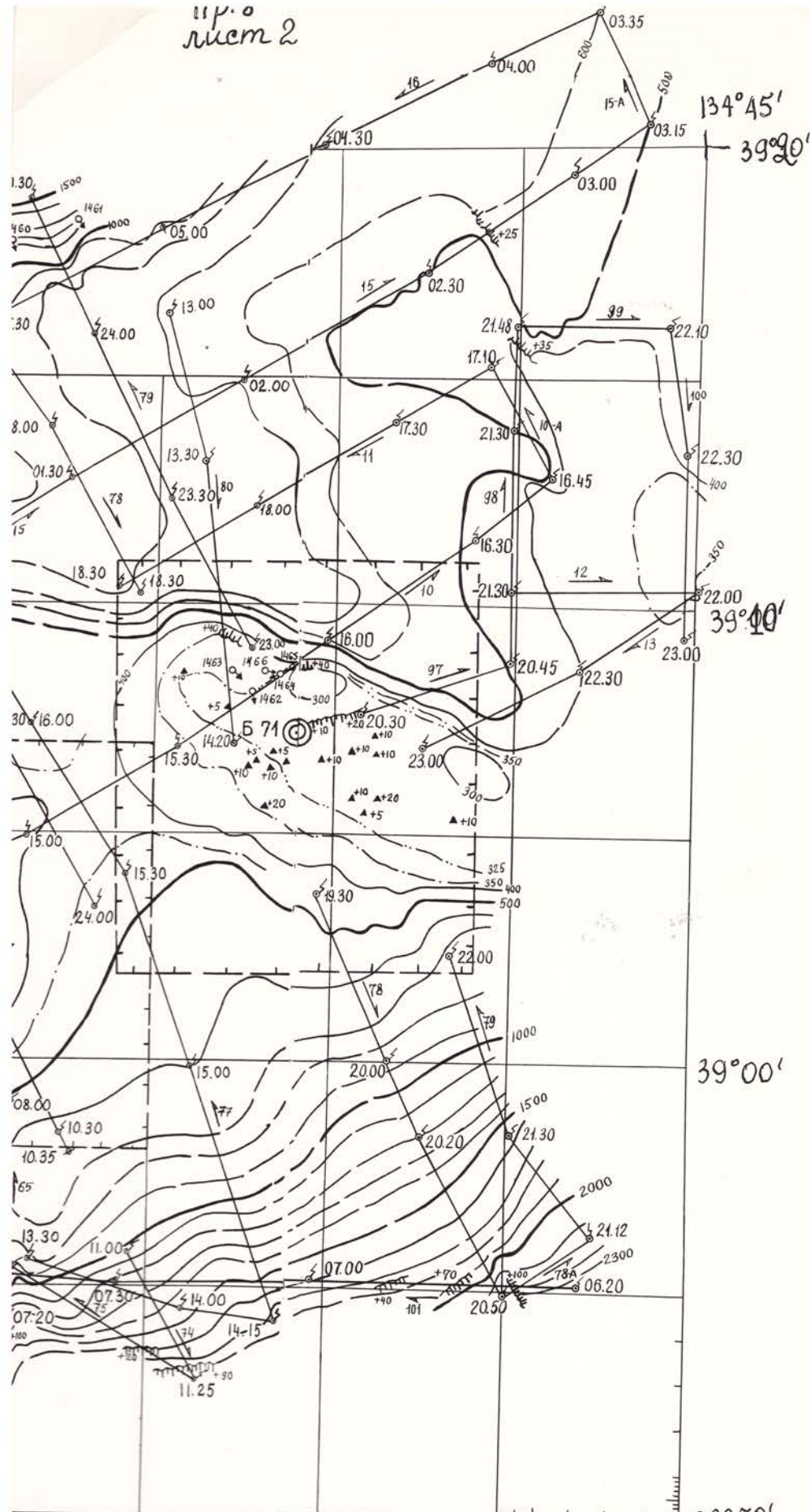


ПРИЛОЖЕНИЕ 7
ЛИСТ 2

РИАЛА



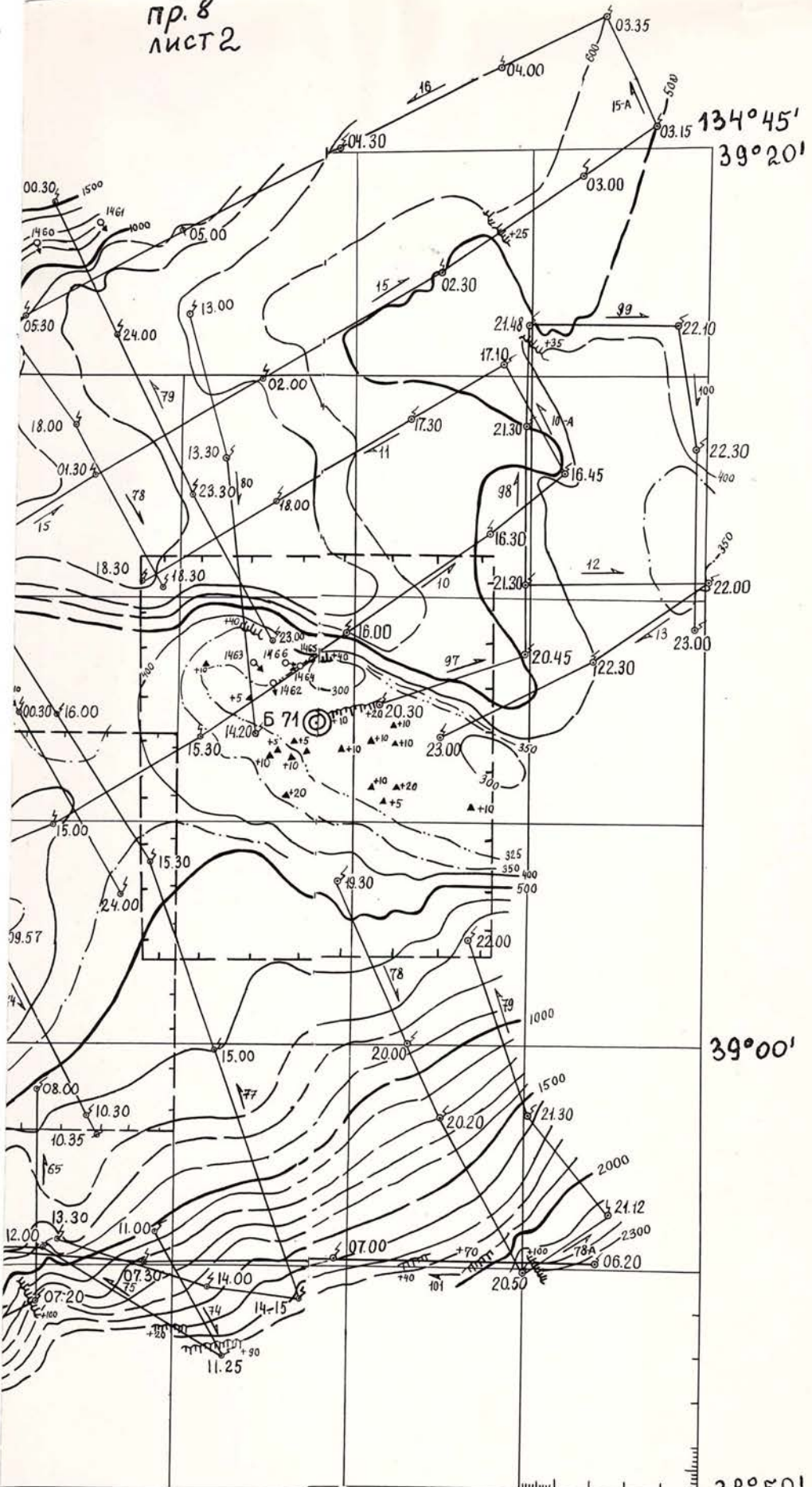
лист 2



Составили И.И. Берсенев, Ю.С. Липкин
Чертити Н.А. Соловьев, Е.П. Гуляй

(из-за плохой привязки).
тиреок 28-Б), 12, 13, 78, 79

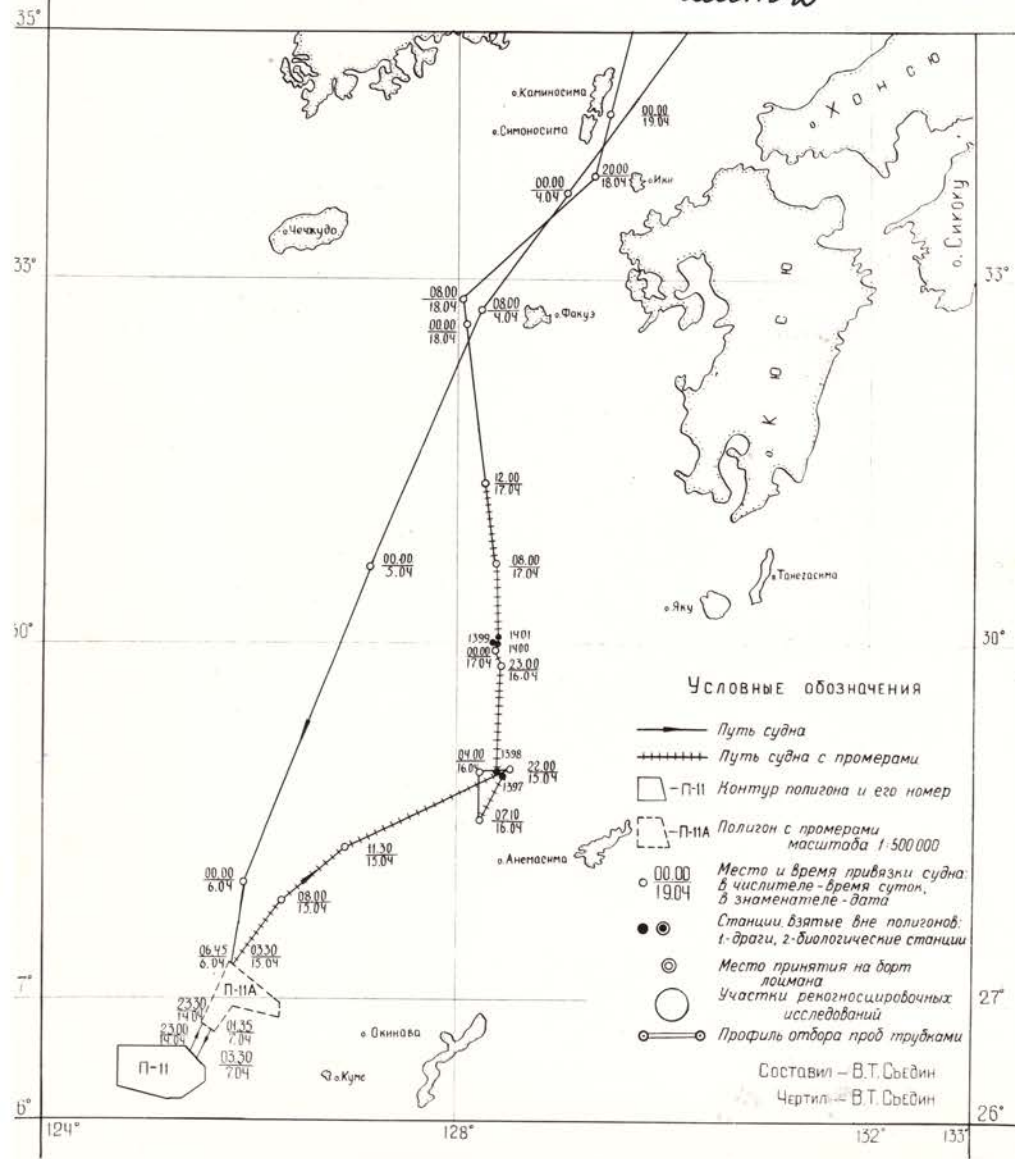
пр. 8
лист 2



Составили И.И. Берсенев, Ю.С. Липкин
Чертежи Н.А. Соловьев, Е.П. Гулай

гно (из-за плохой привязки).
вз полигон 28-Б), 12, 13, 78, 79

лист 2



НИС "Первениц"
28 рейс
ПОДЛГОН 11

Восточно-Китайское море

БАТИМЕТРИЧЕСКИЕ ПРОФИЛИ

ПРИЛОЖЕНИЕ 18

20.5

19.5

18.5

17.5

16.5

15.5

14.5

13.5

12.5

11.5

10.5

9.5

8.5

7.5

6.5

5.5

4.5

3.5

2.5

1.5

0.5

0.0

отметка
шельфа

22.50

22.20

22.00

21.80

21.60

21.40

21.20

21.00

20.80

20.60

20.40

20.20

20.00

19.80

19.60

19.40

19.20

19.00

18.80

18.60

18.40

18.20

18.00

17.80

17.60

17.40

17.20

17.00

16.80

16.60

16.40

16.20

16.00

15.80

15.60

15.40

15.20

15.00

14.80

14.60

14.40

14.20

14.00

13.80

13.60

13.40

13.20

13.00

12.80

12.60

12.40

12.20

12.00

11.80

11.60

11.40

11.20

11.00

10.80

10.60

10.40

10.20

10.00

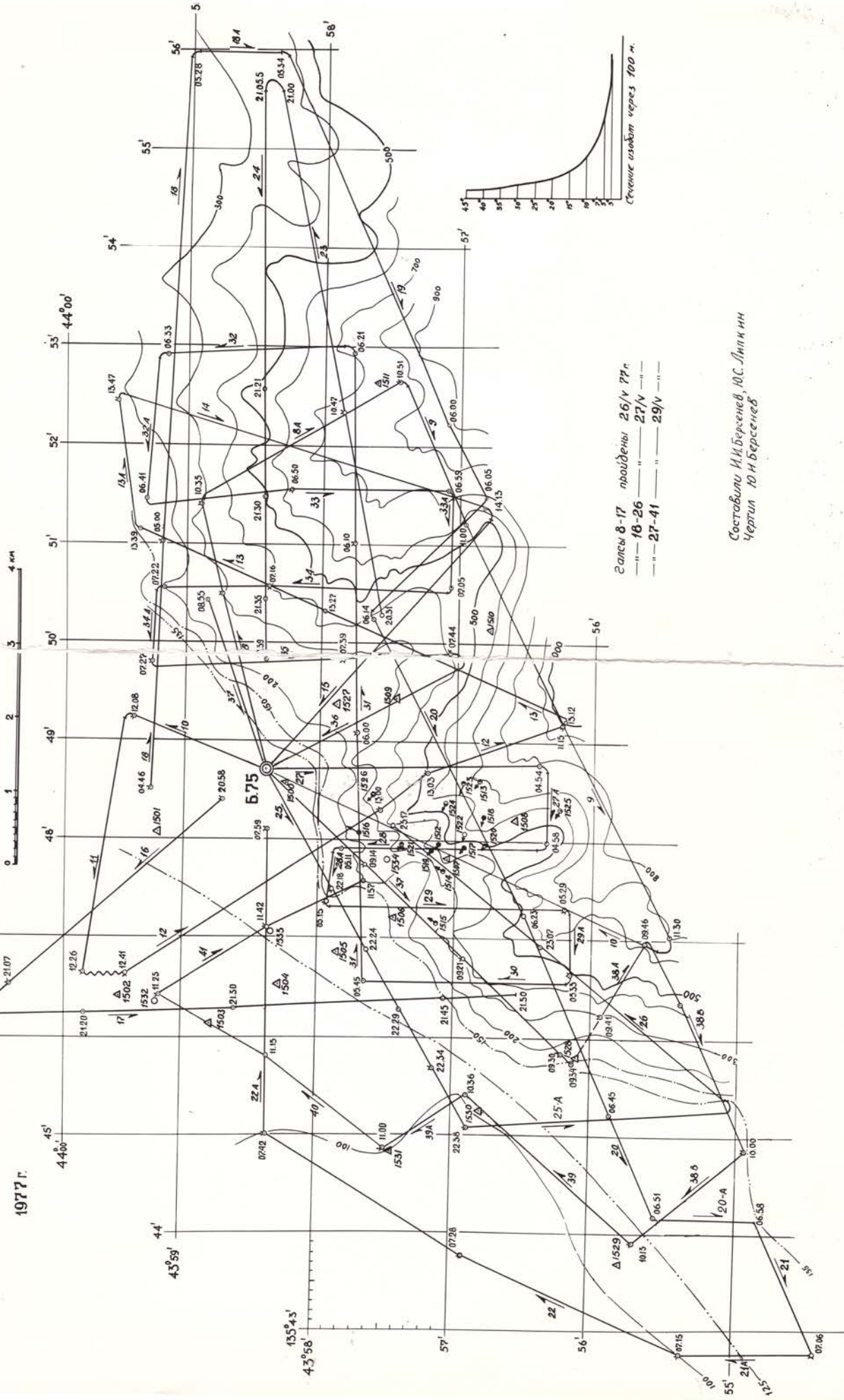
0.10

0.00

Составила К.И.Симова
Чертеж К.И.Симова

НИИ «ПЕРВЕНЕЦ»
РЕЙС 28
ПОЛИГОН - 11-А
1977 г.

КАРТА ФАКТИЧЕСКОГО
МАТЕРИАЛА
ДЛЯ СЛУЖЕБНОГО
ПОЛЬЗОВАНИЯ ЭКЗ. № 4

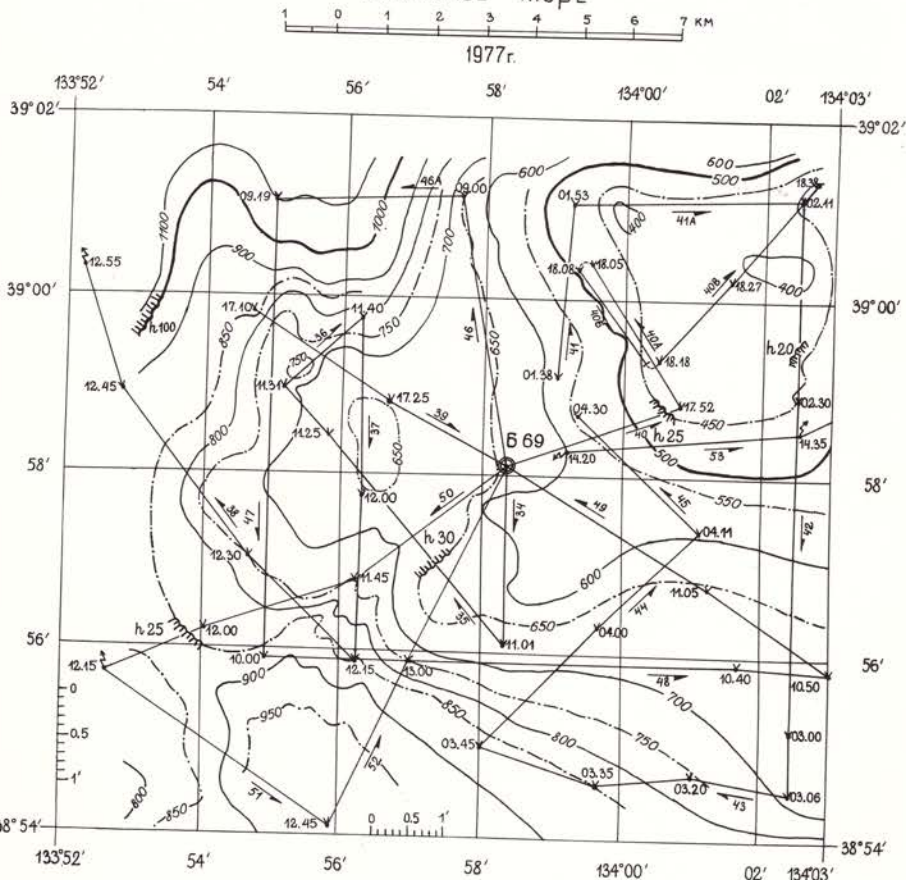


НИС Первенец
28 рейс

ПОЛИГОН 28-А

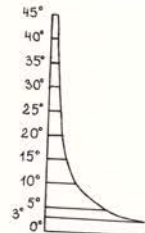
КАРТА ФАКТИЧЕСКОГО МАТЕРИАЛА
ЯПОНСКОЕ МОРЕ

ПРИЛОЖЕНИЕ 9



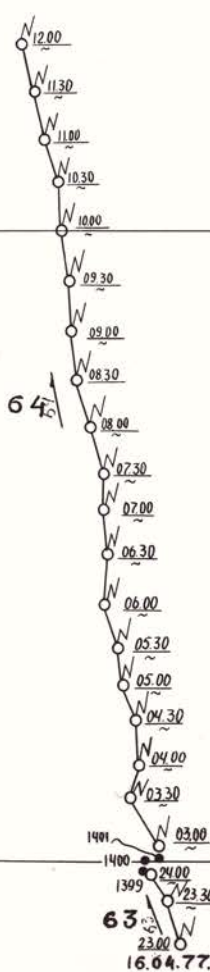
галсы 34-40В проидены 6.05.77.
галсы 41-53 проидены 7.05.77.

Составил Ю.С.Липкин
Чертитса Н.А.Соловьев



НИС. "Первенец"
 ВОСТОЧНО-КИТАЙСКОЕ
 МОРЕ
 СХЕМА МАРШРУТНЫХ
 ПРОМЕРОВ
 РЕЙС 23 - ГАЛС 23
 РЕЙС 28 - ГАЛСЫ 63, 64

Приложение 6



Нач экспедиции - И.И.Берсенев.

Составил - В.Г.Сведенин.

Чертит - В.Г.Сведенин.

128

32°30'

129

32°

130

31°

31°

128

30°

129

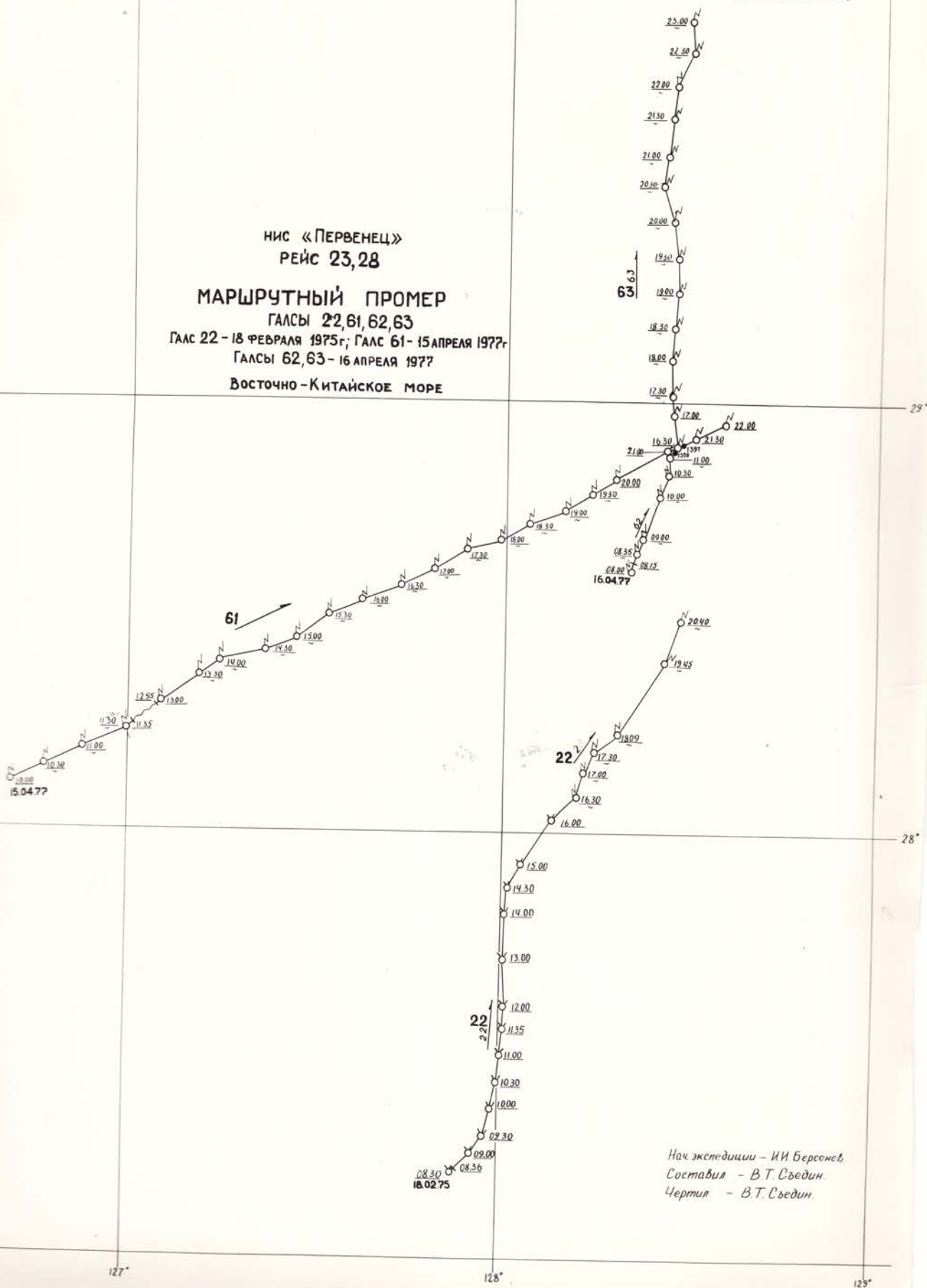
30°

130

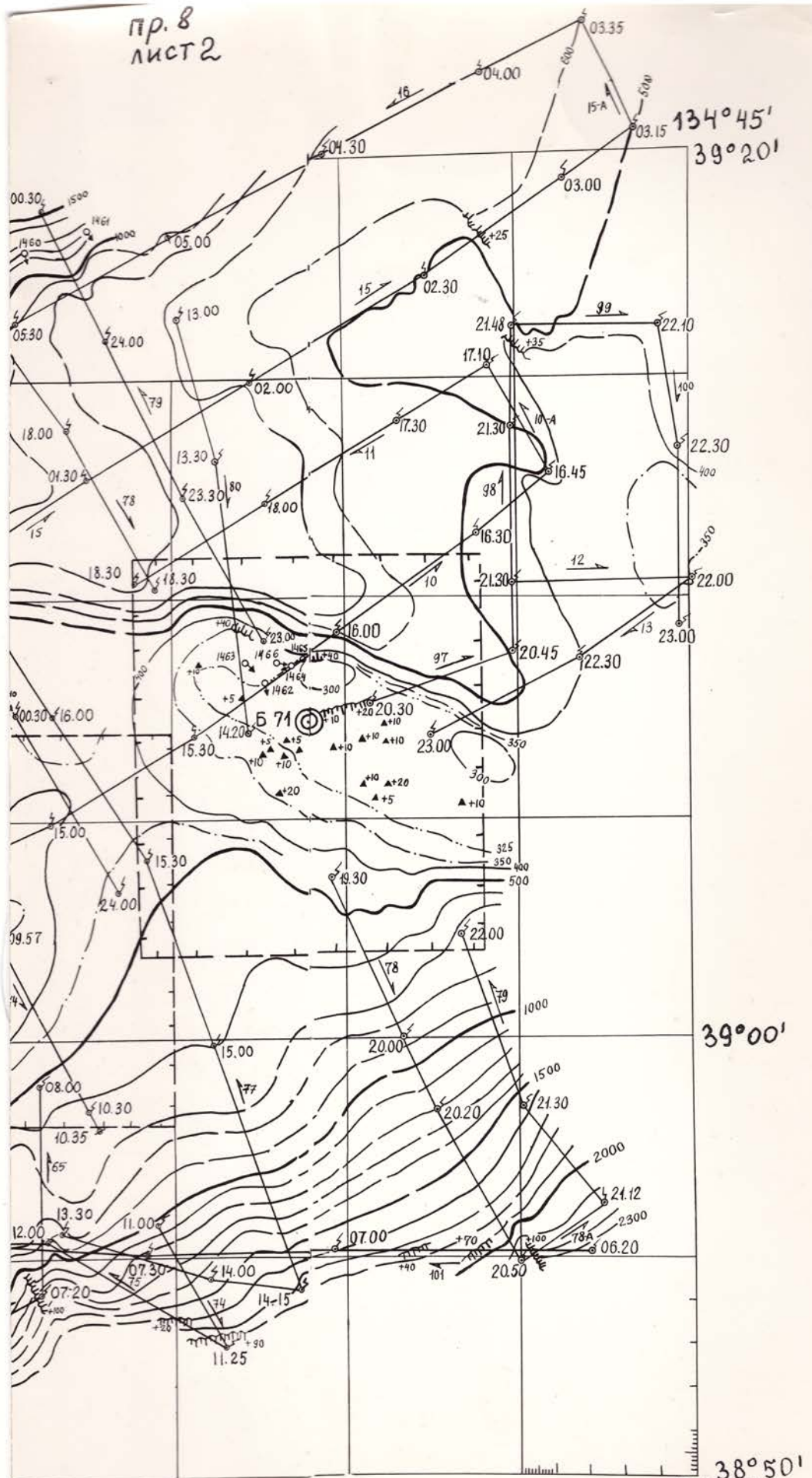
29°45'

130

Приложение № 5



пр. 8
лист 2



Составили И.И. Берсенев, Ю.С. Липкин
Чертити Н.А. Соловьев, Е.П. Гулай

РГН (из-за плохой привязки).
из полигон 28-Б), 12, 13, 78, 79